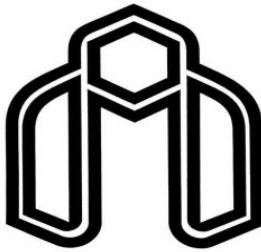


الله اکبر



دانشگاه صنعتی شهرود

دانشکده مهندسی معدن، نفت و ژئوفیزیک

گروه اکتشاف نفت

تخمین تخلخل سنگ مخزن از آنالیز تصاویر مقاطع نازک و مقایسه نتایج بدست آمده با  
سایر روش‌های پتروفیزیکی

نگارنده: جواد قیاسی فریز

اساتید راهنما:

دکتر منصور ضیابی

دکتر علی کدخدایی

استاد مشاور: مهندس جواد هنرمند

پایان نامه برای دریافت درجه کارشناسی ارشد

در رشته اکتشاف نفت

۱۳۸۹ دی

تقدیم به

پدر و مادر عزیزم

که در سایه سار وجودشان بالیدم

... اوست خدایی که شما را از زمین بیافرید

و برای آباد ساختن آن برگماشت...

قرآن کریم، سوره هود، آیه ۶۱

## تشکر و سپاسگزاری

خداآوند متعال را سپاس که مرا در تمامی مراحل زندگی یار و یاور بوده و الطاف بیکران خویش را از من دریغ ننموده است. اینک که به توفیق حق، پایان نامه را به پایان رسانده ام وظیفه خود می دانم که از پدر و مادر مهربان و صبورم تشکر و قدردانی کنم.

از آقای دکتر منصور ضیایی و آقای دکتر علی کدخدایی، که زحمت راهنمایی این پایان نامه را بر عهده داشتند و با رهنمودهایشان مرا تا پایان مسیر کمک کردند، کمال تشکر و سپاسگزاری را دارم.

از آقای مهندس جواد هنرمند، رئیس گروه زمین شناسی پژوهشگاه صنعت نفت که مشاورت این پایان نامه را بر عهده داشتند، جهت مساعدت و همکاری‌های لازم تشکر و قدردانی می‌کنم.

از آقای دکتر ابوالقاسم کامکار روحانی استادیار دانشکده مهندسی معدن، نفت و ژئوفیزیک و آقای دکتر حسین خسروی استادیار دانشکده مهندسی برق و الکترونیک که زحمت داوری این پایان نامه را بر عهده داشتند، کمال تشکر و سپاسگزاری را دارم.

پایان نامه حاضر با کمک و همکاری علمی و مادی شرکت نفت و گاز پارس انجام شده و بر خود لازم می‌دانم از همکاری صمیمانه مهندسین و مشاورین این شرکت، بویژه سرکار خانم مهندس خرم و آقای مهندس برتقالی بخاطر همکاری‌های لازم در تصویب پروژه، مشاوره و جمع آوری داده‌های لازم، تشکر و سپاسگزاری نمایم.

از کلیه عزیزان از جمله دکتر صادقیانی، مهندس مهدی صدیقی و مهندس مهدی ضیایی بخاطر همکاری‌ها و مساعدات لازم تشکر و قدردانی می‌کنم.

## چکیده

ویژگی‌های مخزن نقش بسیار مهمی در ارزیابی موفقیت اقتصادی، مدیریت و توسعه مخزن ایفا می‌کنند. تخلخل و تراوایی از مهمترین خصوصیات سنگ مخزن هستند که برای مدلسازی پتروفیزیکی مخزن مورد استفاده قرار می‌گیرند. در صنعت نفت این پارامترها در آزمایشگاه و با استفاده از روش‌های تزریق هلیم و هوای خشک اندازه گیری می‌شوند. استفاده از روش‌های آزمایشگاهی معمولاً زمانبر و پرهزینه بوده و در همه شرایط ممکن نمی‌باشد و همیشه نمی‌تواند پاسخگوی تمام نیازهای مهندسین و کارشناسان باشند. در سالهای اخیر با پیشرفت سخت افزاری و نرم افزاری کامپیوترها، استفاده از تکنیکهای هوش مصنوعی و آنالیز تصویر در صنعت نفت گسترش یافته است. با هدف کاهش هزینه‌ها و زمان در مطالعات مخزنی، مطالعه حاضر را به دو بخش تقسیم کرده‌ایم: در قسمت اول تلاش شده تا با تکیه بر مطالعه پتروگرافی و هوش مصنوعی رهیافتی کاربردی برای تخمین تخلخل و تراوایی از روی تصاویر مقاطع نازک ارائه شود. برای این منظور، دوازده مشخصه پتروگرافی از هر مقطع استخراج شده و با استفاده از سه تکنیک شبکه عصبی، منطق فازی و روش نروفازی مقدار تخلخل و تراوایی تخمین زده شده است. نتایج نشان می‌دهد تکنیکهای هوشمند در تخمین تخلخل و تراوایی موفق عمل کرده‌اند و تخلخل را به ترتیب با خطای  $0.0214$ ,  $0.0226$ ,  $0.0256$  درصد و تراوایی را به ترتیب با خطای  $0.0139$ ,  $0.0061$ ,  $0.0085$  میلی دارسی پیش‌بینی کرده‌اند. در ادامه، برای افزایش دقت در تخمین تخلخل و تراوایی از دو نوع ماشین کمیته‌ای استفاده شد که ماشین کمیته‌ای مبتنی بر الگوریتم ژنتیک دقیق ترین پیش‌بینی را از این دو ویژگی پتروفیزیکی داشته و به ترتیب تخلخل و تراوایی را با دقت  $0.0165$  درصد و  $0.0056$  میلی دارسی پیش‌بینی کرده است که مقایسه تخلخل ماشین کمیته‌ای با تخلخل مغزه در چاه مورد مطالعه، ضریب همبستگی  $0.942$  درصد را نشان می‌دهد. در قسمت دوم این پایان نامه، با تکیه بر روش‌های آنالیز تصویر و تشخیص الگو تلاش شده است تا الگوریتمی خودکار برای تفکیک انواع مختلف فضاهای خالی در تصاویر مقطع نازک ارائه شود. در الگوریتم ارائه

شده برای طبقه بندی فضاهای خالی از توابع تفکیک کننده خطی، درجه دوم و ماهالانوبیس استفاده شده است.

خطای الگوریتم به دو روش بررسی شده است که در هر دو روش مشخص شد، الگوریتم قادر به تفکیک انواع فضاهای خالی با دقت قابل قبول و مناسبی می باشد.تابع تفکیک کننده خطی بهترین جدایش را برای فضاهای درون دانه‌ای و بیوملیدیک به ترتیب با خطای ۹ و ۱ درصد، تابع تفکیک کننده درجه دوم بهترین جدایش را از فضاهای قالبی کامل و قالبی ناقص به ترتیب با خطای ۶ و ۹ درصد و تابع تفکیک کننده ماهالانوبیس بهترین جدایش را از فضاهای بین دانه‌ای با خطای ۱۰ درصد، داشته است. در روش دوم بررسی دقت الگوریتم مشخص شد، بهترین طبقه بندی به ترتیب برای تخلخل بیوملیدیک، قالبی کامل، درون دانه‌ای، بین دانه‌ای و قالبی ناقص با دقت ۱۰۰، ۸۲، ۹۲ و ۷۵ درصد انجام شده است.

**كلمات کلیدی:** مخزن هیدروکربور، سیستم‌های هوشمند، ماشین کمیته، آنالیز تصویر، تشخیص الگو

## فهرست مطالب

### صفحه

۲.....	فصل اول: کلیات
۲.....	۱-۱ - مقدمه
۳.....	۱-۲-۱ - اهداف مطالعه
۴.....	۱-۳-۱ - روش مطالعه
۵.....	۱-۴-۱ - ناحیه مورد مطالعه
۶.....	۱-۴-۱-۱ - موقعیت جغرافیایی میدان پارس جنوبی
۷.....	۱-۴-۱-۲ - تاریخچه حفاری میدان
۸.....	۱-۴-۱-۳ - ساختار میدان پارس جنوبی
۸.....	۱-۴-۱-۳-۱ - سازند کنگان
۱۱.....	۱-۴-۱-۳-۲ - سازند دلان
۱۳.....	۱-۵ - مطالعات و کارهای قبلی
۱۳.....	۱-۶ - ساختار پایان نامه
۱۸.....	فصل دوم: ارزیابی پارامترهای پetrofیزیکی و مخزنی در سازندهای کنگان و دلان
۱۹.....	۱-۲ - مقدمه
۲۰.....	۲-۲ - تخلخل
۲۰.....	۲-۳-۲ - طبقه‌بندی تخلخل در سنگهای کربناته
۲۲.....	۲-۴-۲ - انواع تخلخل در سازندهای کنگان و دلان
۲۲.....	۲-۴-۲-۱ - تخلخل بین دانه‌ای
۲۲.....	۲-۴-۲-۲ - تخلخل بین بلوری
۲۳.....	۲-۴-۲-۳ - تخلخل درون دانه‌ای
۲۳.....	۲-۴-۲-۴ - تخلخل قالبی
۲۴.....	۲-۴-۲-۵ - تخلخل حفره‌ای

۲۵	..... ریز تخلخلها ..... ۶-۴-۲
۲۵	..... اندازه‌گیری تخلخل ..... ۲-۵-۲
۲۷	..... ۱-۵-۲ - لاغ نوترون
۲۸	..... ۲-۵-۲ - لاغ چگالی (دانسیته)
۲۸	..... ۳-۵-۲ - لاغ صوتی
۲۸	..... ۶-۲ - تراوایی
۳۱	..... ۷-۲ - روند تغییرات تخلخل و تراوایی در سازندهای کنگان و دالان
۳۷	..... فصل سوم: سیستم‌های هوش مصنوعی
۳۸	..... ۱-۳ - مقدمه
۳۸	..... ۲-۳ - شبکه عصبی
۳۹	..... ۱-۲-۳ - ساختار شبکه عصبی مصنوعی
۳۹	..... ۱-۱-۲-۳ - نرون
۴۱	..... ۲-۱-۲-۳ - لایه
۴۲	..... ۲-۲-۳ - آموزش شبکه عصبی
۴۳	..... ۳-۲-۳ - مزایا و معایب شبکه عصبی
۴۴	..... ۴-۲-۳ - نگاهی به جعبه ابزار شبکه عصبی در نرم افزار متلب
۴۴	..... ۳-۳ - سیستم فازی
۴۴	..... ۱-۳-۳ - مجموعه کلاسیک و مجموعه فازی
۴۹	..... ۲-۳-۳ - سیستم استنتاج فازی
۵۱	..... ۳-۳-۳ - نگاهی به جعبه ابزار منطق فازی در نرم افزار متلب
۵۲	..... ۴-۳ - سیستم‌های نروفازی
۵۲	..... ۱-۴-۳ - محدودیتهای سیستم تطبیقی نروفازی
۵۴	..... ۵-۳ - الگوریتم ژنتیک

۳-۵-۱- مراحل کار الگوریتم ژنتیک.....	۵۵
۳-۵-۲- نگاهی به جعبه ابزار الگوریتم ژنتیک در نرم افزار متلب .....	۵۶
۳-۶- ماشین کمیته مبتنی بر سیستم های هوشمند.....	۵۷
۳-۷- پردازش تصویر .....	۵۹
۳-۷-۱- تصویر دیجیتال.....	۵۹
۳-۷-۲- مطالعه سیستم منافذ با استفاده از تحلیل تصاویر .....	۶۰
۳-۷-۳-۱- تهیی مقاطع نازک با اپوکسی آبی رنگ .....	۶۰
۳-۷-۳-۲- تهیی تصاویر از مقاطع نازک .....	۶۱
۳-۷-۳-۳- قطعه بندی تصویر .....	۶۲
۳-۷-۴- استخراج ویژگی های هندسی لازم برای تشخیص الگو .....	۶۲
۳-۷-۵- استفاده از روش های رده بندی برای تفکیک الگوها .....	۶۳
فصل چهارم: پیش بینی تخلخل و تراوایی و ارائه الگوریتم خودکار برای تفکیک فضاهای خالی.....	۶۶
۴-۱- مقدمه .....	۶۷
۴-۲- آماده سازی داده ها.....	۶۸
۴-۲-۱- داده ها لازم برای تخمین تخلخل و تراوایی .....	۶۸
۴-۲-۲- انتخاب داده های آموزشی مناسب .....	۷۱
۴-۲-۳-۵- آماده کردن داده ها .....	۷۸
۴-۳- تخمین تخلخل با استفاده از سیستم های هوشمند.....	۷۹
۴-۳-۱- تخمین تخلخل با استفاده از شبکه عصبی .....	۷۹
۴-۳-۲- تخمین تخلخل با استفاده از منطق فازی .....	۸۱
۴-۳-۳- تخمین تخلخل با استفاده از مدل نروفازی .....	۸۴
۴-۳-۴- ماشین کمیته .....	۸۶
۴-۳-۱-۴-۱- ماشین کمیته مبتنی بر میانگین گیری .....	۸۶
۴-۳-۲-۴-۲- ماشین کمیته مبتنی بر الگوریتم ژنتیک .....	۸۷

۹۰	۴-۴-۴- پیش بینی تراوایی
۹۰	۱-۴-۴- پیش بینی تراوایی با استفاده از شبکه عصبی
۹۱	۲-۴-۴- تخمین تراوایی با استفاده از منطق فازی
۹۲	۳-۴-۴- تخمین تراوایی با استفاده از سیستم نرو فازی
۹۳	۴-۴-۴- ماشین کمیته
۹۳	۱-۴-۴- ماشین کمیته مبتنی بر میانگین گیری
۹۵	۲-۴-۴- ماشین کمیته مبتنی بر الگوریتم ژنتیک
۹۶	۴-۵-۴- الگوریتم تفکیک کننده فضاهای خالی
۹۶	۱-۵-۴- داده ها لازم برای الگوریتم تفکیک کننده فضاهای خالی
۹۹	۲-۵-۴- انتخاب داده های آموزشی
۱۰۳	۳-۵-۴- جدا کردن فضاهای خالی از سایر بخش های تصویر
۱۰۵	۴-۵-۴- استخراج ویژگی های هندسی مربوط به فضاهای خالی
۱۰۶	۵-۵-۴- تفکیک فضاهای خالی با استفاده از آنالیز تفکیک کننده تحت نظرارت
۱۰۸	۶-۵-۴- محاسبه خط الگوریتم بر اساس مساحت محاسبه شده
۱۱۲	۷-۵-۴- محاسبه دقت الگوریتم بر اساس پارامترهای هندسی
۱۱۴	فصل پنجم: نتیجه گیری و پیشنهادات
۱۱۹	منابع
۱۲۱	ضمیمه

## فهرست شکل‌ها

### صفحه

شکل ۱-۱: موقعیت جغرافیایی میدان پارس جنوبی و گنبد شمالی واقع در خلیج فارس ..... ۶	۲۶
شکل ۱-۲: انواع مختلف تخلخل ..... ۳۳	۳۳
شکل ۲-۱: تغییرات تخلخل در واحد $K_1$ ..... ۳۴	۳۴
شکل ۲-۲: تغییرات تراوایی در واحد $K_1$ ..... ۳۵	۳۵
شکل ۲-۳: تغییرات تخلخل در واحد $K_2$ ..... ۳۴	۳۴
شکل ۲-۴: تغییرات تراوایی در واحد $K_2$ ..... ۳۵	۳۵
شکل ۲-۵: تغییرات تخلخل در واحد $K_3$ ..... ۳۵	۳۵
شکل ۲-۶: تغییرات تراوایی در واحد $K_3$ ..... ۳۶	۳۶
شکل ۲-۷: تغییرات تخلخل در واحد $K_4$ ..... ۳۶	۳۶
شکل ۲-۸: تغییرات تراوایی در واحد $K_4$ ..... ۴۰	۴۰
شکل ۳-۱: ساختار یک نرون با چندین ورودی ..... ۴۰	۴۰
شکل ۳-۲: شکل تابع LOG-SIGMOID ..... ۴۱	۴۱
شکل ۳-۳: شکل تابع TAN-SIGMOID ..... ۴۱	۴۱
شکل ۳-۴: شکل تابع PURELIN ..... ۴۲	۴۲
شکل ۳-۵: ساختار لایه‌ها در یک شبکه عصبی ..... ۴۵	۴۵
شکل ۳-۶: پنجره جعبه ابزار شبکه عصبی در نرم افزار متلب ..... ۴۶	۴۶
شکل ۳-۷: محیط مشخص کردن پارامترهای شبکه عصبی ..... ۴۷	۴۷
شکل ۳-۸: تعریف عضویت در مجموعه کلاسیک و فازی ..... ۴۷	۴۷
شکل ۳-۹: قسمتهای اصلی تابع عضویت ..... ۴۹	۴۹
شکل ۳-۱۰: چهار نوع از توابع عضویت: ذوزنقه ای (الف)، مثلثی (ب)، گوسی (ج)، زنگوله ای (د) ..... ۴۹	۴۹

شکل ۱۱-۳: مراحل اصلی در پیش بینی مقدار تخلخل با استفاده از مدل فازی ..... ۵۱
شکل ۱۲-۳: شکل شماتیک از چهار ابزار موجود در جعبه ابزار منطق فازی ..... ۵۳
شکل ۱۳-۳ - عملکرد سیستم تطبیقی نروفازی برای تنظیم پارامترهای توابع عضویت ..... ۵۳
شکل ۱۴-۳: محیط گرافیکی الگوریتم ژنتیک در نرم افزار متلب ..... ۵۷
شکل ۱۵-۳: فلوچارتی از عملکرد ماشین کمیته ..... ۵۸
شکل ۱۶-۳: روند تهیه عکس از هر مقطع ..... ۶۱
شکل ۱۷-۳: شکل سمت راست، قطعه بندی شده تصویر سمت چپ است ..... ۶۲
شکل ۱۸-۳: بافت سلولی سالم بافت (الف) و بافت سلولی سرطانی (ب) ..... ۶۵
شکل ۱۹-۳: مقدار میانگین و انحراف معیار شدت رنگ برای دو نوع بافت سالم و سرطانی ..... ۶۵
شکل ۴-۱: تفاوت شکل هندسی فضاهای خالی ایزوله و فضاهای بهم پیوسته ..... ۷۱
شکل ۴-۲: نمودار رابطه بین تخلخل مغزه و مشخصه های پتروگرافی ..... ۷۴
شکل ۴-۳: نمودار رابطه بین تراوایی مغزه و مشخصه های پتروگرافی ..... ۷۶
شکل ۴-۴: شکل شماتیکی از شبکه عصبی بکار رفته برای تخمین تخلخل ..... ۸۰
شکل ۴-۵: همبستگی تخلخل پیش بینی شده با شبکه عصبی و تخلخل بدست آمده از آنالیز مغزه ..... ۸۱
شکل ۴-۶: توابع عضویت برای تخلخل میکرو و میانگین ضریب شکل هندسی ..... ۸۲
شکل ۴-۷: ضریب همبستگی تخلخل پیش بینی شده با منطق فازی و تخلخل مغزه ..... ۸۴
شکل ۴-۸: توابع عضویت برای تخلخل میکرو و میانگین ضریب شکل هندسی ..... ۸۶
شکل ۴-۹: ضریب همبستگی تخلخل پیش بینی شده با نروفازی و تخلخل مغزه ..... ۸۷
شکل ۴-۱۰: ضریب همبستگی تخلخل پیش بینی شده با میانگین گیری و تخلخل مغزه ..... ۸۸
شکل ۴-۱۱: همبستگی تخلخل ماشین کمیته مبتنی بر الگوریتم ژنتیک و تخلخل مغزه ..... ۸۹
شکل ۴-۱۲: تخلخل ماشین کمیته و تخلخل واقعی بر حسب عمق در چاه مورد مطالعه ..... ۹۰
شکل ۴-۱۳: همبستگی تراوایی پیش بینی شده و تراوایی بدست آمده از آنالیز مغزه ..... ۹۱

شکل ۱۴-۴: همبستگی تراوایی پیش بینی شده با منطق فازی و تراوایی مغزه .....	۹۲
شکل ۱۵-۴: همبستگی تراوایی پیش بینی شده با نروفازی و تراوایی مغزه .....	۹۴
شکل ۱۶-۴: همبستگی تراوایی پیش بینی شده با میانگین گیری و تراوایی مغزه .....	۹۴
شکل ۱۷-۴: همبستگی تراوایی ماشین کمیته مبتنی بر الگوریتم ژنتیک و تراوایی مغزه .....	۹۶
شکل ۱۸-۴: تراوایی ماشین کمیته و تراوایی حاصل از مغزه بر حسب عمق در چاه ۱۲.....	۹۷
شکل ۱۹-۴: مفهوم انحراف از مرکز برای پیکسل های متصل بهم .....	۹۹
شکل ۲۰-۴: تغییرات پارامترهای هندسی در مقابل انواع فضاهای خالی.....	۱۰۱
شکل ۲۱-۴: پراکندگی پارامتر نسبت تصویر، فراخی و گردشیدگی برای پنج نوع فضای خالی. ....	۱۰۳
شکل ۲۲-۴- جدا کردن فضاهای خالی از سایر بخش های سنگ .....	۱۰۵
شکل ۲۳-۴: تصویر قطعه بندی شده و تصویر باینری حاصل.....	۱۰۶
شکل ۲۴-۴: تصاویر انتخاب شده برای تست الگوریتم تفکیک کننده.....	۱۰۶
شکل ۲۵-۴: مقایسه دقیق سه الگوریتم در شناخت فضای خالی منفرد .....	۱۱۴
شکل الف-۱: شکلهای شماتیکی از انواع فضاهای خالی بین دانهای.....	۱۲۲
شکل الف-۲: شکلهای شماتیکی از انواع فضاهای خالی درون دانهای.....	۱۲۳
شکل الف-۳: شکلهای شماتیکی از انواع فضاهای خالی قالبی کامل.....	۱۲۴
شکل الف-۴: شکلهای شماتیکی از انواع فضاهای خالی قالبی ناقص .....	۱۲۵
شکل الف-۵: شکلهای شماتیکی از انواع فضاهای خالی بیومدلیک.....	۱۲۶

## فهرست جداول

### صفحه

جدول ۲-۱: بازه تغییرات تخلخل و تراوایی در دو سازند کنگان و دلان.....	۳۱
جدول ۴-۱: بازه تغییرات مقدار ماتریکس و اندازه دانه ها در مقاطع مطالعه شده.....	۷۱
جدول ۴-۲: دقت شبکه های عصبی برای پیش بینی تخلخل.....	۷۸
جدول ۴-۳: دقت شبکه های عصبی برای پیش بینی تراوایی.....	۷۸
جدول ۴-۴: مقدار خطا برای سیستم های فازی با شعاع خوش بندی متناظر آن.....	۸۲
جدول ۴-۵: مقدار خطا برای سیستم های نروفازی با شعاع خوش بندی متناظر آن.....	۸۴
جدول ۴-۶: دقت شبکه های عصبی برای پیش بینی انواع فضاهای خالی.....	۱۰۲
جدول ۴-۷: مقدار درصد واقعی هریک از انواع تخلخل در تصاویر انتخاب.....	۱۱۰
جدول ۴-۸: مقدار درصد هر نوع فضای خالی بر اساس سیستم های تفکیک کننده.....	۱۱۱
جدول ۴-۹: مقدار خطای الگوریتم بر حسب نوع تابع تفکیک کننده.....	۱۱۲
جدول ۵-۱: مقایسه سیستم های هوشمند بر اساس دقت پیش بینی تخلخل .....	۱۱۸
جدول ۵-۲: مقایسه سیستم های هوشمند بر اساس دقت پیش بینی تراوایی .....	۱۱۸
جدول الف-۱: میانگین گردشده، نسبت تصویر و فراخی در کلاسهای پنجگانه فضاهای خالی.....	۱۲۱

فصل اول:

کلیات

## فصل اول: کلیات

### ۱-۱- مقدمه

محاسبه خصوصیات مخزنی و پیش بینی وضعیت تولید در بخش‌های مختلف مخزن و چاه، وظیفه مهم مهندس نفت می‌باشد. با شناخت هر چه بهتر فاکتورهای موثر در تولید، می‌توان ارزیابی دقیق‌تری برای توسعه میدان انجام داد. تخلخل<sup>۱</sup> و تراوایی<sup>۲</sup> از مهمترین فاکتورهای سنگ مخزن هستند. برای مطالعه سنگ مخازن کربناته به دلیل هتروژنتی بالایی که دارند، از روش‌های مختلفی استفاده می‌شود. در سالهای اخیر با پیشرفت سخت افزاری و نرم افزاری کامپیوترها، استفاده از تکنیکهای هوش مصنوعی در علوم مختلف گسترش یافته است و مطالعات گسترده‌ای در زمینه آنالیز تصاویر تهیه شده از مقاطع نازک و تاثیر پارامترهای بافتی و هندسی منافذ بر خواص فیزیکی سنگ انجام شده است. آنالیز تصاویر مقاطع نازک را می‌توان از دو دیدگاه مورد بررسی قرار دارد. در دیدگاه اول تلاش می‌شود تا با تکیه بر روش‌های پردازش تصویر و تشخیص الگو بخش‌های مختلف تصویر را بررسی و از هم تفکیک کرد. به عنوان مثال در یک تصویر مقطع صیقلی که در برگیرنده ترکیبی از دو نوع فلز طلا و پیریت است، می‌توان الگوریتمی برای تفکیک خودکار این دو فلز ارائه داد. در دیدگاه دوم می‌توان از آنالیز تصویر و ویژگی‌های پتروگرافی به عنوان ابزاری برای پیش بینی پارامترهای پتروفیزیکی مانند خواص ژئومکانیکی، تخلخل، تراوایی و سرعت امواج در سنگ استفاده کرد.

در سال‌های اخیر استفاده از سیستمهای هوش مصنوعی برای ارزیابی و شناخت خواص پتروفیزیکی مخزن، ارائه مدل‌های کارآمد در مطالعات نفتی و مسائل مبهم و پیچیده بسیار گسترش یافته است که انتشار پایان نامه‌ها و مقالات مختلف گواه این مطلب است. با توجه به کارآمدی سیستمهای هوش

<sup>1</sup> Porosity

<sup>2</sup> Permeability

مصنوعی در مطالعات مختلف نفتی، همواره تلاش شده تا با تکیه بر روش‌های بهینه ساز دقت این سیستمها افزایش یابد.

## ۲-۱- اهداف مطالعه

اهداف مطالعه حاضر را می‌توان در دو بخش مجزا بیان کرد. در بخش اول با استفاده از آنالیز تصویر، مطالعه پتروگرافی و سیستم‌های هوش مصنوعی، مدلی برای پیش‌بینی دو پارامتر مهم تخلخل و تراوایی ارائه شده است و در بخش دوم تلاش شده تا بر پایه روش‌های تشخیص الگو، الگوریتمی خودکار و دقیق برای رده بندی و تفکیک پنج نوع مختلف از فضاهای خالی ( شامل بین‌دانه‌ای، درون‌دانه‌ای، قالبی کامل، قالبی ناقص و بیوملیدیک) ارائه شود. اهداف این مطالعه به صورت خلاصه در زیر آمده است:

- ۱- استفاده از آنالیز تصویر و تخمین تخلخل از مقاطع نازک و مقایسه با تخلخل حاصل از آنالیز مغزه
- ۲- استفاده از پارامترهای پتروگرافی و آنالیز تصویر برای تخمین تخلخل با استفاده از شبکه عصبی<sup>۳</sup>، سیستم‌های فازی<sup>۴</sup> و سیستم‌های نرو-فازی<sup>۵</sup>
- ۳- استفاده از پارامترهای پتروگرافی و آنالیز تصویر برای تخمین تراوایی با استفاده از شبکه عصبی، سیستم‌های فازی و سیستم‌های نرو-فازی
- ۴- کاهش خطای پیش‌بینی تخلخل و تراوایی با استفاده از ماشین کمیته مبتنی بر الگوریتم ژنتیک<sup>۶</sup>
- ۵- مقایسه تخلخل و تراوایی پیش‌بینی شده با مقادیر واقعی آنها (حاصل از آنالیز مغزه) در یکی از چاههای میدان گازی پارس جنوبی

<sup>3</sup> Neural network

<sup>4</sup> Fuzzy logic

<sup>5</sup> Neuro-fuzzy

<sup>6</sup> Genetic algorithm

۶- ارائه الگوریتمی کمی برای رده بندی و تفکیک فضاهای خالی سنگ مخزن با استفاده از آنالیز

#### تصاویر مقاطع نازک

۷- مقایسه نتایج الگوریتم ارائه شده و نتایج واقعی

### ۱-۳- روش مطالعه

اساس پژوهه حاضر، استفاده از پردازش تصویر و سیستم های هوش مصنوعی برای تخمین پارامترهای تخلخل و تراوایی و ارائه الگوریتم طبقه بندی فضاهای خالی است. آنالیز تصویر عبارت است از مجموعه ای از فرآیندهایی که با هدف شناخت پارامترهایی مخصوص و بارزسازی اطلاعات مورد نیاز، بر روی یک تصویر صورت می‌گیرد (Martinez, 2007). استفاده از این روش با پیشرفت کامپیوترهای با سرعت پردازش بالا و با توجه به هزینه پایین، در علوم مختلف گسترش یافته است و در همین راستا نرم افزارهای تخصصی متعددی برای کاربردهای مهندسی و پژوهشی ارائه شده است. سیستمهای هوش مصنوعی، سیستمهایی هستند که بر پایه یکسری آموزش های اولیه قابلیت قضاوت و پیش بینی را پیدا می‌کنند. بدین معنی که یک سیستم هوشمند تعدادی داده را به عنوان ورودی و تعدادی را به عنوان خروجی می-گیرد و با ایجاد یک رابطه خطی یا غیر خطی بین ورودی (ها) و خروجی (ها) توانایی پیش بینی را کسب می‌کند. اصطلاحاً به این بخش از کار آموزش سیستم گفته می‌شود. در مرحله بعد می‌توان از سیستم آموزش دیده برای داده های با ورودی معلوم و خروجی نامعلوم استفاده کرد. به طور کلی آنچه از آن تحت عنوان هوش مصنوعی یا محاسبه نرم یاد می‌شود، شامل محاسبه با استفاده از یک یا مجموعه ای از تکنیکهای زیر است. (کدخدایی، ۱۳۸۳)

۱- منطق فازی (FL)

۲- نرو - فازی (NF)

۳- شبکه های عصبی مصنوعی (ANN)

۴- استدلال مبنی بر احتمال (PB)

۵- الگوریتم ژنتیک (GA)

۶- سیستم های بی نظم (CS)

۷- Belief Networks (BN)

۸- تئوری یادگیری (LT)

استفاده از این سیستم ها در حل مسائل مبهم و پیچیده بسیار مفید بوده است و در بسیاری از موارد نتایج بهتری از روش های آماری مانند آنالیز رگرسیون و ... ارائه داده اند. در این مطالعه تلاش کردہایم تا با بهره گیری از سه تکنیک شبکه عصبی، منطق فازی و سیستم نرو فازی مقدار تخلخل و تراوایی را پیش بینی کنیم و سپس با کمک یک ماشین کمیته مبتنی بر الگوریتم ژنتیک نتایج حاصل از سه روش را با هم ترکیب کرده و خطا را به حداقل رسانیم. قابلیت ویژه ماشین کمیته‌ای در ترکیب مزایای هریک از سه روش و ارائه بهترین پیش بینی از تخلخل و تراوایی می‌باشد. همچنین در بخش دوم مطالعه بر اساس تکنیکهای آنالیز تصویر، تشخیص الگو و رده بندی، الگوریتمی برای تشخیص پنج نوع تخلخل غالب در تصاویر مقاطع نازک ارائه شده است. برای رسیدن به این هدف از روش‌های رده بندی تحت نظرارت<sup>۷</sup> استفاده شده است.

#### ۴-۱- ناحیه مورد مطالعه

با توجه به اینکه مطالعه حاضر بر روی میدان پارس جنوبی (واقع در خلیج فارس) انجام شده است، در این قسمت مختصری از موقعیت جغرافیایی و زمین شناسی خلیج فارس بیان می‌شود.

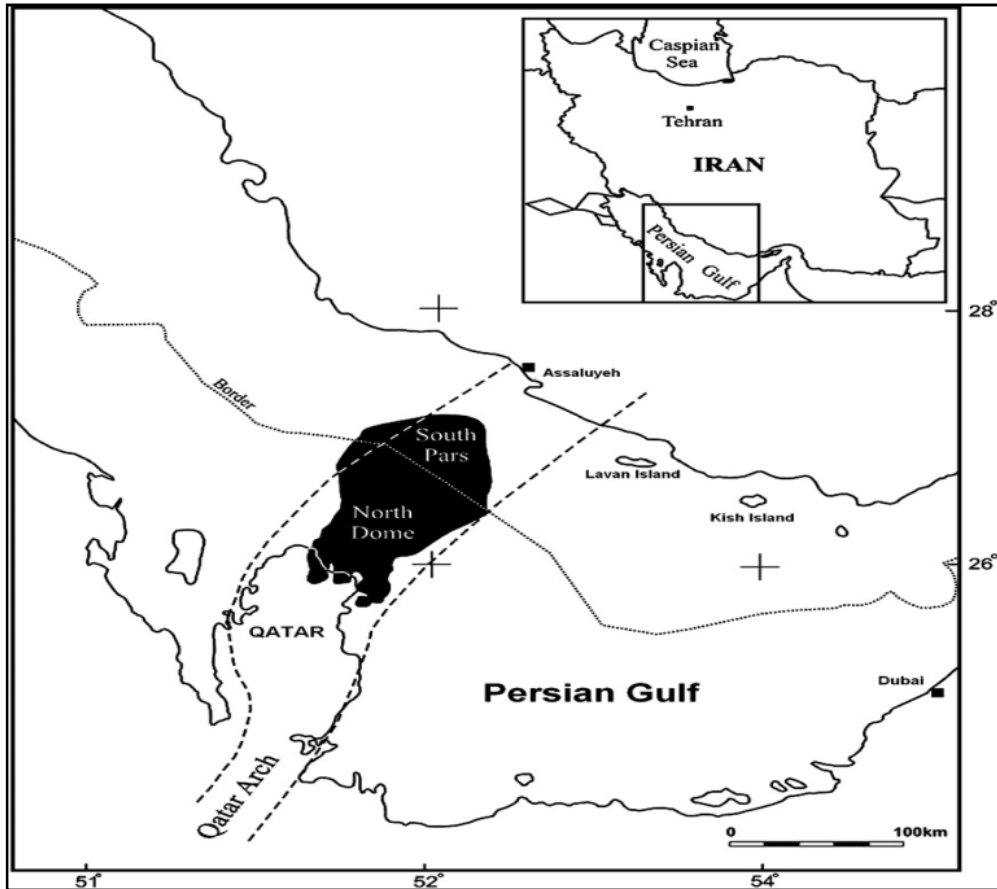
خلیج فارس در حاشیه شرقی منطقه عربی، بین عرضهای جغرافیایی ۲۳ تا ۳۰ درجه شمالی و طولهای جغرافیایی ۳۸ تا ۷۰ درجه شرقی واقع شده است. خلیج فارس ۱۰۰۰ کیلومتر طول و ۲۰۰ الی ۳۰۰ کیلومتر عرض دارد. عمق متوسط آن ۳۵ متر و حداکثر عمق آن ۱۰۰ متر است. این خلیج در حوضه ای

<sup>7</sup> Supervised

تکتونیکی مربوط به اواخر پلیوسن تا پلئیستوسن بوده که مورفولوژی آن بشدت تحت تاثیر فرآیندهای تکتونیکی قرار گرفته است. در ژئوسنکلینال خلیج فارس تا دوران دوم فعالیت تکتونیکی عمدۀ ای رخداده است. از زمان پرمین، حرکت نمکهای پرکامبرین بصورت ساختمانهای دیاپیری و گنبدهای رشدی باعث ایجاد ساختمانهای زمین شناسی شده است. (آذین، ۱۳۸۸)

#### ۱-۴-۱- موقعیت جغرافیایی میدان پارس جنوبی

میدان پارس جنوبی در موقعیت ۵۲ تا ۵۲.۵ درجه شرقی و ۲۶.۵ تا ۲۷ درجه شمالی قرار دارد. این میدان در سال ۱۹۹۰ میلادی کشف شد و در ۱۰۵ کیلومتری جنوب غربی بندر عسلویه در آبهای خلیج فارس واقع است، که ادامه میادین گازی گنبد شمالی امیرنشین قطر می‌باشد (شکل ۱-۱). مساحت کل این میدان ۱۰۰۰۰ کیلومتر مربع است که ۳۷۰۰ کیلومتر مربع از آن متعلق به ایران می‌باشد. سازندۀای دالان و کنگان به سن پرموترياس، مخازن اصلی این میدان را تشکیل می‌دهند که غالباً حاوی گاز و محصولات میانی می‌باشد. این دو سازند به لحاظ لیتولوژی بیشتر از آهک، انیدریت و دولومیت می‌باشدند. میدان پارس جنوبی و گنبد شمالی در کنار هم و با بیش از ۱۲۰۰ تریلیون فوت مکعب گاز درجا بزرگ‌ترین میدان گازی دنیا را تشکیل می‌دهند (Aali et al, 2006).



شکل ۱-۱: موقعیت جغرافیایی میدان پارس جنوبی و گنبد شمالی واقع در خلیج فارس (Aali et al, 2006)

## ۲-۴-۱- تاریخچه حفاری میدان

در سال ۱۳۶۷ عملیات لرزه نگاری دریایی در منطقه‌ای از آبهای خلیج فارس در مقابل آبهای قطر که بنام بلوک پنج نامیده شد، اطلاعات مهمی در مورد گسترش ناحیه شمالی ساختمان گنبد شمالی در کشور قطر بداخل آبهای ایران عرضه نمود. در آبهای ایران این ساختمان زمین شناسی به نام پارس جنوبی نامگذاری گردید. این مرحله برداشت‌های لرزه نگاری منحصر به آبهای میانی و به موازات خط مرزی در خلیج فارس اختصاص یافت. عملیات فوق به منظور تامین اهداف اکتشافی در جهت کشف میدان مشترک جدید و مشخص نمودن حدود و وسعت میدان و یا ساختمانهای زمین شناسی مشترک شناخته شده بود. نتیجه این برداشت‌های اولیه، کشف پدیده‌های مثبت زمین شناسی متعدد در مناطق مختلف

بوده که از آن جمله، ساختمان زمین شناسی پارس جنوبی است که ادامه یال شمالی میدان عظیم گازی شمال امیرنشین قطر می‌باشد. مرحله دوم لرژه نگاری که در سالهای ۱۳۶۸ تا ۱۳۶۹ در مناطق مختلف دیگر از جمله بخش شمال شرقی ساختمان پارس جنوبی انجام پذیرفت، ابعاد گسترده‌تر از وسعت میدان مزبور را در اختیار گذاشت و حد انتهایی سطح آب و گاز کسب شده از گزارشات منتشره در مجلات نفتی را تا اندازه قابل اطمینانی مشخص نمود. بر اساس اطلاعات حامله از برداشتهای لرژه نگاری و حفاری اولین چاه اکتشافی در منطقه قله‌ی ساختمان، نزدیک به خط میانی آبهای خلیج فارس در اسفند ماه ۱۳۶۹ شروع گردید. عملیات حفاری این چاه در عمق ۳۵۲۲ متری در رسوبات فراقان در تاریخ ۱۳۷۰/۱۰/۱۱ به پایان رسید و نتیجه بررسیهای حفاری و آزمایشات بھره دهی وجود مواد هیدروکربوری در طبقات جهرم (نفت آسفالتی- قیر)، داریان، گدوان و فهلیان (نفت)، سورمه بالایی (نفت سنگین) و مقادیر عظیمی از هیدروکربورهای گازی در سازندهای کنگان و دلان را مشخص نمود (نجم آبادی، ۱۳۷۲).

#### ۴-۳-۱- ساختار میدان پارس جنوبی

ساختمان پارس جنوبی و تداوم اصلی جنوبی آن که تحت عنوان گنبد شمالی قطر نامیده می‌شود، بر روی یک برجستگی قاعده‌ای ناحیه‌ای موسوم به قوس قطر<sup>۸</sup> قرار دارد، که از جنوب شبه جزیره قطر تا جنوب ناحیه فارس در ایران، امتداد داشته و خلیج فارس را به دو حوضه رسوبی تبخیری تقسیم می‌نماید. سازندهای کنگان و دلان با سن پرمین بالایی و تریاس زیرین (طفپور و همکاران، ۱۳۷۹) مخزن اصلی ذخایر گازی خلیج فارس را تشکیل می‌دهند. در ادامه به توضیح این دو سازند پرداخته می‌شود.

#### ۴-۳-۱- سازند کنگان

کنگان نام دهکده‌ای در نزدیک میدان عظیم گازی کنگان در حاشیه خلیج فارس است که در ۱۷ کیلومتری جنوب بندر بوشهر قرار دارد. برش نمونه این سازند در چاه شماره یک کوه سیاه واقع در

<sup>۸</sup> Qatar arch

طاقدیسی به همین نام که در جنوب شرقی بوشهر و در شرق تاقدیس و گبد نمکی خورموج قرار دارد، انتخاب شده است که دارای ضخامت ۱۷۸ متر در برش مقطع است و در چاه سطح الارضی کوه سورمه ضخامت این سازند به ۱۷۰ متر میرسد. سازند کنگان متعلق به تریاس زیرین است که مرز پایینی آن با سازند دلان ناپیوستگی دارد. مرز بالایی این سازند با بخش شیلی آغار از سازند دشتک پیوسته و هم شب است. ضخامت این سازند در چاههای حفاری شده، ۱۵۰ تا ۱۵۵ متر می‌باشد. از لحاظ مخزنی این سازند به دو واحد  $K_1$  و  $K_2$  تقسیم می‌شود. ضخامت واحد  $K_1$  تقریباً ۱۱۰ متر و ضخامت واحد مخزنی  $K_2$  تقریباً ۴۰ تا ۴۵ متر است. هر کدام از این واحدها خود بر اساس لیتولوژی به چند زیر واحد دولومیتی در بالا، می‌شوند. واحد مخزنی  $K_1$  بر اساس لیتولوژی به ۳ بخش تقسیم می‌شود که شامل واحد دولومیتی در بالا، واحد آهکی در وسط و واحد دولومیتی-انیدریتی در پایین است.

واحد  $K_1$  که مصادف با بخش بالایی سازند کنگان است، شامل توالی دولومیت و آهک و لایه‌های انیدریتی می‌باشد. بر اساس تفاوت خصوصیات سنگ شناسی و مخزنی این واحد به سه زیر واحد مخزنی مجزا شامل  $K_{1a}$  و  $K_{1b}$  و  $K_{1c}$  تقسیم می‌شود. زیر واحد عمدتاً  $K_{1a}$  دولومیتی، و  $K_{1b}$  که اغلب آهکی و واحد  $K_{1c}$  شامل توالی دولومیت و آهک است. برخی لایه‌های انیدریتی ضخیم در مرز پایینی  $K_1$  و در بخش بالایی این واحد توالی لایه‌های انیدریت و شیل دیده می‌شود (شیل آغار).

زیر واحد  $K_{1a}$  عمدتاً دولومیتی است. لایه‌های آهکی دانه پشتیبان در بخش بالایی این زیر واحد قرار دارد. اما اکثر رخساره‌های این زیر واحد گل پشتیبان هستند. وجود لایه‌ها و پلاگهای انیدریتی در بخش دولومیتی باعث کیفیت پایین تا متوسط مخزنی در این زیر واحد شده است.

زیر واحد  $K_{1b}$  به لحاظ سنگ شناسی اغلب آهکی و دولومیت آهکی است. البته برخی لایه‌های دولومیتی و دولومیت آهکی با رخساره گل پشتیبان وجود دارد. این زیر واحد به عنوان رخساره‌های گل پشتیبان با

کیفیت پایین مخزنی به خصوص در بخش بالایی به علت وجود پلاگهای انیدریتی و سیمانهای کلاستیک شناخته شده است. رخساره های دانه پشتیبان آهکی در بخش‌های میانی این بازه با کیفیت متوسط تا بالای مخزنی وجود دارد. ولی در کل این زیر واحد دارای کیفیت پایین تا متوسط مخزنی است.

زیر واحد  $K_{1c}$  به لحاظ سنگ شناسی اغلب دولومیت با میان لایه‌های انیدریتی است. لایه‌های انیدریتی ضخیم به عنوان مرز پایینی این بخش که در واقع مرز بالایی  $K_2$  است، شناخته می‌شوند. این بازه شامل رخساره های دانه پشتیبان با تعداد کمی رخساره های گل پشتیبان است. این زیر واحد به علت سیمانی شدن و پلاگهای انیدریتی با کیفیت پایین تا متوسط مخزنی شناخته شده است. برخی لایه‌های دولومیتی متخلخل دانه پشتیبان با کیفیت بالای مخزنی در بخش میانی و بالایی دیده می‌شود.

واحد  $K_2$  به لحاظ سنگ شناسی غالباً دولومیت و لایه‌های انیدریتی (بخش‌های بالایی) و آهک (بخش‌های پایینی) است. بر اساس تفاوت خصوصیات سنگ شناسی و مخزنی این واحد، به دو زیر واحد مخزنی مجرزا شامل  $K_{2a}$  و  $K_{2b}$  تقسیم می‌شود. زیر واحد  $K_{2a}$  عمدها دولومیتی با میان لایه‌های انیدریتی و  $K_{2b}$  اغلب آهکی با توالی دولومیت است.

زیر واحد  $K_{2a}$  بر اساس تفاوت خصوصیات مخزنی شامل دو بخش دانه پشتیبان و گل پشتیبان است. بخش بالایی رخساره گل پشتیبان با کیفیت پایین مخزنی و بخش پایینی رخساره دانه پشتیبان با کیفیت بالای مخزنی است. تخلخل غالب در این رخساره تخلخلهای بین بلوری و قالبی و بین دانه‌ای است. مقدار سیمانهای ثانویه انیدریتی ناچیز است که خود باعث حفظ تخلخل در این رخساره شده است.

زیر واحد  $K_{2b}$  به لحاظ سنگ شناسی غالباً آهک متخلخل با رخساره دانه پشتیبان است. البته تعدادی میان لایه‌های آهک دولومیتی، دولومیت آهکی به خصوص در بالای این زیر واحد وجود دارد. این بازه به خاطر وجود تخلخل قابل مشاهده دارای کیفیت مخزنی بالایی است و هیچ اثری از وجود ندولها و پلاگهای

انیدریتی در این زیر واحد دیده نمیشود. البته در برخی قسمتها سیمان کلاستیک دیده میشود که روی کیفیت مخزنی اثر گذاشته است.

#### ۴-۳-۲- سازند دالان

سازند دالان با لیتولوژی آهک و دولومیت، یکی از بزرگترین مخازن گاز در حوضه خلیج فارس میباشد. نام این سازند از طاقدیسی به همین نام واقع در فاصله تقریبی ۱۱۰ کیلومتری جنوب شرقی شیراز، انتخاب شده است و چاه شماره یک اکتشافی دالان در همین طاقدیس حفاری شده است. این سازند قبل از نام خوف خوانده میشد، که از محلی در شبے جزیره عربستان گرفته شده است. برش نمونه این سازند تحت الارضی است و در چاه اکتشافی شماره یک کوه سیاه بین اعماق ۲۸۶۹ تا ۳۶۱۷ متر قرار دارد و ضخامت آن به ۷۴۸ متر می رسد. قابل دسترس ترین برش سطحی این سازند در دامنه شرقی کوه سورمه قرار دارد که ضخامت این سازند در آنجا به ۶۳۸ متر می رسد. کوه سورمه در استان فارس و در ۱۱۰ کیلومتری جنوب شیراز قرار دارد. در چاه مورد مطالعه سازند دالان شامل واحدهای  $K_3$  و  $K_4$  است که از عمق ۲۹۱۳.۶ تا ۳۲۷۴.۷ متر قرار دارد.

واحد  $K_3$  با ضخامت تقریبی ۱۲۵ متری به سن پرمین بالایی است. واحدهای  $K_4$  با ضخامت تقریبی ۱۵۹ متری نیز به سن پرمین بالایی است. هر کدام از این واحدها خود بر اساس لیتولوژی به چند زیر واحد تقسیم میشوند. واحد مخزن  $K_3$  بر اساس لیتولوژی به ۳ بخش دولومیتی تقسیم میشود.

واحد  $K_3$  که مطابق با بخش بالایی سازند دالان است، اغلب شامل رخساره های دولومیتی گل پشتیبان است. البته تعدادی رخساره های آهکی، آهک دولومیتی و دولومیت آهکی به خصوص در بالای این واحد وجود دارد. بر اساس تفاوت خصوصیات سنگ شناسی و مخزنی واحد به سه زیر واحد مخزنی مجزا شامل

$K_{3c}$  و  $K_{3b}$  و  $K_{3a}$  تقسیم میشود. از لحاظ خصوصیات مخزنی در قیاس با سایر واحدها به عنوان یک واحد غیرمخزنی شناخته میشود.

زیر واحد  $K_{3a}$  به لحاظ سنگ شناسی غالباً دولومیت است. البته تعدادی رخسارههای آهکی، آهک دولومیتی، دولومیت آهکی به خصوص در بالای این واحد وجود دارد. این بازه شامل تنوعی از رخساره های گل پشتیبان و رخساره دانه پشتیبان است و تنها تعداد کمی لایههای متخلخل وجود دارد. در کل این بازه خصوصیات مخزنی پایین تا متوسط را دارد.

زیر واحد  $K_{3b}$  به لحاظ سنگ شناسی غالباً دولومیت با میان لایههایی از انیدریت و ندولهای انیدریتی است. این زیر واحد به عنوان لایههای دولومیتی گل پشتیبان با پلاگهای انیدریتی ثانویه شناخته میشود. در نتیجه این زیر واحد به خاطر وجود تخلخلهای پرشده با سیمان انیدریتی جز واحدهای مخزنی طبقه بندی نمیشود.

زیر واحد  $K_{3c}$  از لایههای انیدریتی ضخیم در بالا و پایین تشکیل شده است. سنگ شناسی غالب این زیر واحد دولومیت با رخساره های غیرمتخلخل گل پشتیبان است. البته یک بازه کوچک چهار متری دانه پشتیبان در بخش پایینی این زیر واحد با خصوصیت مخزنی خوب مشاهده میشود.

واحد  $K_4$  به عنوان توده مخزنی عمدۀ در خلیج فارس شناخته شده است که بعد از توده های انیدریتی نار تهنهشست شده است. در این واحد زیر واحدهای مخزنی با کیفیت بالا وجود دارد. سنگ شناسی غالب این واحد دولومیت، رخساره های آهکی در بخش میانی، آهک دولومیتی و دولوهیت اهکی است. بر اساس تفاوت خصوصیات سنگ شناسی و مخزنی این واحد، به سه زیر واحد مخزنی مجرزا شامل  $K_{4a}$  و  $K_{4b}$  و  $K_{4c}$  تقسیم میشود. ضخامت  $K_{4a}$  اغلب دولومیتی با کیفیت مخزنی بالا، و  $K_{4b}$  اغلب آهکی و  $K_{4c}$  اغلب دولومیتی است.

زیر واحد  $K_{4a}$  به لحاظ سنگ شناسی غالباً دولومیت با تناوبی از رخساره های آهکی، آهک دولومیتی، دولومیت آهکی است. براساس خصوصیات مخزنی این زیر واحد کیفیت مخزنی مناسبی را نشان می دهد. به خاطر دولومیتی شدن ثانویه و انحلال دیاژنتیکی مقدار تخلخل در این زیر واحد افزایش یافته است.

زیر واحد  $K_{4b}$  ارائه کننده مهمترین بخش مخزنی میدان است. سنگ شناسی غالب این زیر واحد، آهک با تخلخل قالبی و به مقدار کمی آهک دولومیتی و دولومیت آهکی است. البته لایه های گل پشتیبان نیز در این زیر واحد مشاهده می شود که مقدار آن در مقایسه با بخش دانه پشتیبان ناچیز است. تخلخل قالبی و بین دانه ای تخلخلهای غالب موجود به خصوص در بخش آهکی این بازه هستند.

زیر واحد  $K_{4c}$  به لحاظ سنگ شناسی غالباً دولومیت با لایه هایی از انیدریت است. البته لایه های دانه پشتیبان نیز در این زیر واحد مشاهده می شود و در کل تنوعی از کیفیت بد تا خوب مخزنی را به خاطر پدیده پلاگهای انیدریتی به خصوص در بخش زیرین دارا است.

## ۱-۵- مطالعات و کارهای قبلی

مطالعات گسترده و وسیعی در زمینه آنالیز تصویر و تفکیک بخش های مختلف سنگ از هم انجام شده است. اهرلیچ<sup>۹</sup> از جمله پیشگامان در زمینه آنالیز تصویر و ارائه الگوریتمی برای شناخت فضاهای خالی می باشد که تلاش های گسترده ای برای رده بندی انواع مختلف تخلخل و تاثیر تخلخل حاصل از مقطع نازک بر فشار مویینگی انجام داده است. او و همکارانش در سال ۱۹۹۱ الگوریتمی برای تشخیص فضاهای خالی سنگ ارائه دادند. این الگوریتم بر پایه سیکلهای رشد<sup>۱۰</sup> و سایش<sup>۱۱</sup> فضاهای خالی موجود در تصویر را مورد رشد و سایش قرار می داد. از جمله معایب آن می توان به وقتگیر بودن آن و عدم توانایی در

<sup>9</sup> Ehrlich

<sup>10</sup> Dilate

<sup>11</sup> Erosin

مطالعه فضاهای خالی در یک تصویر اشاره کرد. همچنین این الگوریتم فضاهای خالی را در یک تصویر که حاوی چندین نوع فضای خالی باشد از هم تفکیک نمی‌کند. یکی دیگر از افرادی که مطالعات ارزشمندی در زمینه آنالیز تصاویر مقاطع نازک انجام داده انسلماتی<sup>۱۲</sup> می‌باشد. او و همکارانش در سال ۱۹۹۸ از اولین افرادی بودند که تصاویر مقاطع نازک از یک مخزن ماسه سنگی را به لحاظ آماری مورد بررسی قرار دادند. Van den Berg و همکارانش در سال ۲۰۰۲، با آنالیز تصاویر مقاطع نازک الگوریتمی برای تشخیص دانه‌های تشکیل دهنده از سایر بخش‌های تصویر ارائه کردند.

Marmo و همکارانش در سال ۲۰۰۵ با تکیه بر تکنیک‌های پردازش تصویر و شبکه عصبی الگوریتمی بر تشخیص انواع مختلف بافت در سنگ‌های کربناته ارائه کردند. در این الگوریتم ابتدا تعدادی از ویژگی‌های بافتی از هر تصویر استخراج می‌شود و سپس به عنوان ورودی به شبکه عصبی داده می‌شود. این شبکه عصبی توانایی تفکیک چهار نوع بافت، شامل مادستون، وکستون، پکستون و گرینستون را فراهم می‌آورد.

Smith and Beerman در سال ۲۰۰۷ مطالعه‌ای در زمینه تفکیک کریستالهای پلاژیوکلاست از سایر بخش‌های سنگ در تصویر مقطع نازک انجام دادند.

Baykan and Yilmaz در سال ۲۰۱۰ با ترکیب تکنیک‌های آنالیز تصویر و شبکه عصبی مدلی برای شناخت خودکار پنج نوع کانی در تصاویر مقاطع نازک ارائه دادند. در الگوریتم ارائه شده از ویژگی‌های رنگی پیکسلها به عنوان ورودی شبکه عصبی استفاده شده است و با دقت ۹۰ درصد کانی‌های کوارتز، مسکویت، بیوتیت، کلریت و اپک از هم تفکیک شده‌اند.

---

<sup>12</sup> Anselmetti

اسماعیلزاده و همکاران در سال ۲۰۱۰ با استفاده از آنالیز تصاویر TM مدلی برای تفکیک و شناخت دقیق زونهای نمکی در طاقدیس دهنو ارائه داند و مقایسه نتایج بدست آمده با روش‌های ژئوفیزیکی نشان داد که پاسخهای حاصل از آنالیز تصویر قابل قبول بوده است.

در این مطالعه نیز با تکیه بر روش‌های آنالیز تصویر، تشخیص الگو و روش‌های رده بندی، الگوریتمی خودکار برای تشخیص و رده بندی فضاهای خالی سنگ ارائه شده است.

علاوه بر مطالب گفته شده در تعداد زیادی از مطالعات از آنالیز تصویر به عنوان ابزاری برای پیش‌بینی خواص فیزیکی سنگ استفاده می‌شود. در این دسته مطالعات داده‌های پتروگرافی حاصل از آنالیز تصویر با تکنیکهایی مثل آنالیز رگرسیونی یا هوش مصنوعی (نظیر شبکه‌های عصبی و منطق فازی) ترکیب می‌شود.

شمس نیا (۱۳۸۵) تلاش کرد تا تاثیر هندسه منافذ بر کیفیت مخزنی را در سازندهای کنگان و دلان مورد بررسی قرار دهد. وی با تکیه بر آنالیز تصاویر و آنالیز رگرسیونی رابطه‌ای بین تخلخل مقطع نازک و تخلخل مغزه ایجاد کرد، که ضریب همبستگی بین این دو مقدار پایین‌تر از حد انتظار بوده است.

Anselmettie و همکارانش در سال ۱۹۹۸ با آموزش شبکه عصبی با چهار پارامتر پتروگرافی (تخلخل ماکرو، تخلخل میکرو، میانگین ضریب شکل هندسی و میانگین اندازه فضاهای خالی) تاثیر آنها را بر تراوایی مورد بررسی قرار دادند و به این نتیجه رسیدند که میانگین اندازه فضاهای خالی کمترین تاثیر را بر تراوایی دارد.

Ali and Chawathe در سال ۱۹۹۹ با استخراج نوزده ویژگی پتروگرافی و شبکه عصبی مدلی برای پیش-بینی تراوایی در سنگ مخزن ارائه کردند و توانستند تراوایی را با دقت ۷۰ درصد پیش بینی کنند. این مطالعه قابلیت داده های پتروگرافی در پیش بینی تراوایی را نشان دادند.

ظهره بند (۱۳۸۱)، طالبی (۱۳۸۲) و ویسی (۱۳۸۶) با بکارگیری شبکه های عصبی و داده های چاه پیمایی مدلی برای پیش بینی تخلخل و تراوایی به ترتیب در میادین سیری (خليج فارس)، پارسی و اهواز ارائه داده اند.

کد خدایی (۱۳۸۴) از تکنیک منطق فازی و خوش سازی فازی برای تعیین تخلخل و تراوایی و رخساره های سنگی در بخش زیرین سازند کنگان استفاده کرد و به نتایج خوبی رسید. وی نشان داد که تکنیک منطق فازی در مقایسه با شبکه های عصبی از قابلیت بالاتری برای پیش بینی فاکتورهای مخزنی برخوردار است و با اعتماد بیشتری می توان در مورد نتایج منطق فازی اظهار نظر کرد.

کد خدایی و همکارانش در سال ۲۰۰۸ با تکیه بر مفهوم ماشین کمیته ای مدلی برای پیش بینی مقدار کربن آلی در سنگ مخزن از داده های پتروفیزیکی ارائه دادند. مدل ارائه شده بالاترین دقت در پیش بینی مقدار کربن آلی را در میان سایر تکنیک های هوش مصنوعی دارد. این مطالعه نشان می دهد که استفاده از ماشین کمیته می توان ابزار سودمندی در افزایش دقت در مطالعات هوش مصنوعی باشد.

لبنی و همکارانش در سال ۲۰۱۰ با کمک ماشین کمیته حاصل از روش های هوشمند، مدلی برای پیش بینی پارامترهای لاغ NMR از داده های چاه نگاری معمولی ارائه کردند. از نتایج این مطالعه مشخص است که ماشین کمیته دقیق ترین پاسخ برای پارامترهای لاغ NMR را ارائه می دهد.

در مطالعه حاضر با تکیه بر قابلیتهای هوش مصنوعی و داده های پتروگرافی بدست آمده از مقاطع نازک سه مدل جداگانه مبتنی بر شبکه عصبی، منطق فازی و نرو فازی ایجاد شده و در پایان نتایج حاصل از

سه روش با تکیه بر مفهوم ماشین کمیته و الگوریتم ژنتیک با هم ترکیب شده و مدلی با کمترین خطای بالاترین دقت ایجاد شده است.

### ۶-۱- ساختار پایان نامه

در ادامه مطالعه حاضر مطالب زیر بررسی شده است:

در فصل دوم تحت عنوان ارزیابی پارامترهای پتروفیزیکی سازندهای کنگان و دالان، مروری اجمالی بر نوع تخلخل و تراوایی در بخش‌های مختلف این دو سازند داشته‌ایم و روند تغییرات آنها را در عمق‌های مختلف بررسی کرده‌ایم. خواننده با مطالعه این فصل شناخت دقیقی از این دو ویژگی مخزنی بدست می‌آورد.

فصل سوم با عنوان سیستم‌های هوشمند با هدف معرفی اجمالی از تکنیک‌های هوشمند بکار رفته در این پایان نامه آمده است. در این بخش مبانی شبکه‌های عصبی، منطق فازی، سیستم نروفازی، الگوریتم ژنتیک، آنالیز تصویر و تشخیص الگو بیان شده است.

در فصل چهارم شرح کارها و نتایجی که با استفاده از تکنیک‌های هوشمند و ترکیب آنها با استفاده از میانگین‌گیری و الگوریتم ژنتیک برای تخمین تخلخل و تراوایی در سازند کنگان و دالان صورت گرفته، آمده است. همچنین مراحل مختلف ایجاد الگوریتم تفکیک کننده فضاهای خالی در تصاویر مختلف ذکر شده‌اند.

در فصل پنجم، جمع بندی کلی از نتایج بدست آمده در مطالعه حاضر صورت گرفته است و بالاخره در فصل پایانی که تحت عنوان ضمیمه به پایان نامه افزوده شده، تصاویری از انواع پنجگانه فضاهای خالی که در الگوریتم تفکیک کننده از یکدیگر متمایز می‌شوند، آمده است.

## فصل دوم:

ارزیابی پارامترهای پتروفیزیکی و مخزنی در  
سازندهای کنگان و دالان

## فصل دوم: ارزیابی پارامترهای پتروفیزیکی و مخزنی در سازندهای کنگان و دالان

### ۱-۲ - مقدمه

تخلخل و تراوایی از مهمترین ویژگی‌های سنگ مخزن به شمار می‌آیند. مقدار تخلخل مشخص کننده درصد فضاهای خالی موجود در سنگ است و تراوایی، توانایی عبور یک سیال از محیط متخلخل را نشان می‌دهد. برای اینکه یک سازند تراوا باشد، لازم است تا سازند متخلخل بوده و این فضاهای متخلخل به هم پیوسته باشند. معمولاً در مخازن ماسه سنگی به دلیل هموژن بودن، با افزایش تخلخل، مقدار تراوایی نیز افزایش می‌یابد ولی در مخازن کربناته که در اینجا نیز مورد بحث است، به دلیل هتروژن بودن، این امر همیشه صحت ندارد. تخلخل معمولاً با تزریق هلیم بر روی نمونه‌های تهیه شده از مغزه و یا از لاغهای چاه پیمایی و تراوایی با استفاده از تزریق هوا و یا روش تست چاه بدست می‌آید. روش‌های آنالیز مغزه معمولاً گران و زمانبر هستند و به آزمایشگاه و دستگاه‌های ویژه‌ای نیاز دارند. برای تعیین تراوایی از لاغ NMR نیز می‌توان استفاده کرد که این روش نیز پرهزینه است. با استفاده از یک سری فرمولهای تجربی نیز می‌توان تراوایی را از روی داده‌های چاه پیمایی بدست آورد ولی مطالعات متعددی نشان می‌دهد که این روش برای همه سازندها به خوبی جواب نمیدهد. در سالهای اخیر استفاده از سیستمهای هوش مصنوعی برای به حداقل رساندن زمان و هزینه، در مطالعات صنعت نفت گسترش یافته است و مهندسین به دنبال تکنیکهایی ارزان و در عین حال دقیق برای تعیین خواص مخزن بوده‌اند. در این فصل به معرفی مختصراً از انواع تخلخل و تراوایی خواهیم پرداخت و روند تغییرات و مقدار این دو پارامتر را در سازندهای کنگان و دالان در چاه شماره ۱۲ میدان گازی پارس جنوبی بررسی خواهیم کرد. در فصلهای بعد به تخمین و رده بندی پارامترهای فوق الذکر با استفاده از سیستمهای هوشمند پرداخته شده است.

## ۲-۲ - تخلخل

بنا به تعریف، تخلخل برابر است با نسبت حجم فضای خالی به حجم کل سنگ و حجم فضای خالی خود برابر است با تفاضل حجم کانی ها از حجم کل سنگ. معمولاً تخلخل به صورت درصدی بدون بعد نشان داده میشود. در یک مخزن هیدروکربور این فضاهای خالی محل تجمع یکی از سیالات آب، نفت یا گاز است. تخلخل را با حرف  $\Phi$  نشان می‌دهند و برای محاسبه آن از یکی از فرمولهای زیر می‌توان استفاده کرد.

$$\Phi = \left( \frac{V_p}{V_b} \right) \times 100 \quad (2.1)$$

$$\Phi = \left[ \frac{V_b - V_g}{V_b} \right] \times 100 \quad (2.2)$$

$$\Phi = \left[ \frac{V_p}{V_g + V_b} \right] \times 100 \quad (2.3)$$

که در آن  $V_p$  حجم منافذ،  $V_g$  حجم دانه ها و  $V_b$  حجم کل سنگ است. تخلخل در مخازن کربناته ایران اعم از آسماری، بنگستان، خامی و دهرم در محدوده ۵ تا ۳۰ درصد می‌باشد و به ندرت تخلخل کمتر از ۵ و بیشتر از ۳۵ دیده میشود. (مطیعی، ۱۳۸۷)

## ۳-۲ - طبقه‌بندی تخلخل در سنگهای کربناته

به منظور کسب اطلاعات جامع زمین شناسی و مهندسی نفت لازم است که فضای متخلخل براساس فابریک سنگ و خواص پتروفیزیکی آن تعریف و طبقه‌بندی شود. در این راستا اولین تلاش بوسیله آرچی<sup>۱۳</sup> (۱۹۵۲) صورت گرفت. تلاش نامبرده در توضیح ارتباط ساختار سنگ و خواص پتروفیزیکی سنگهای کربناته بوده است. طبقه‌بندی آرچی شامل دو بخش است: تخلخل قابل مشاهده و تخلخل درون ماتریکس. نوع دیگری از طبقه

<sup>13</sup> Archi

بندی توسط لوسیا<sup>۱۴</sup> (۱۹۸۳) ارائه شد که در آن بطور کلی تخلخل در سنگهای آهکی به دو دسته بزرگ تقسیم می‌شود: دسته اول تخلخل بین ذره ای شامل تخلخل بین دانه‌ای و تخلخل بین بلوری و دسته دیگر تخلخل حفره‌ای است که شامل انواع تخلخل به جز دسته اول است. تخلخل حفره‌ای خود به دو دسته کوچکتر متصل و غیر متصل تقسیم می‌شود. تخلخل حفره‌ای غیر متصل بوسیله شبکه‌ای از تخلخل بین ذره ای بهم متصل می‌شود ولی تخلخل حفره‌ای متصل بدون واسطه بهم متصل می‌شود و سیستم تخلخل را بوجود می‌آورد. یکی دیگر از طبقه‌بندی‌هایی که برای سنگهای کربناته ارائه شده و بسیار مورد توجه قرار می‌گیرد، طبقه‌بندی چوکت و پرای<sup>۱۵</sup> (۱۹۷۰) می‌باشد. بر اساس این طبقه‌بندی تخلخل در ابتدا به لحاظ زمانی به دو نوع اولیه و ثانویه و از سویی دیگر به صورت انتخابی فابریک و غیر انتخابی فابریک طبقه‌بندی می‌شود. تخلخل اولیه به تخلخلی گفته می‌شود که در مراحل پایانی رسوبگذاری شکل گرفته و در میان ذرات و قطعات در زمان رسوبگذاری وجود داشته است. تخلخل ثانویه به تخلخلی گفته می‌شود که پیدایش آن به بعد از رسوبگذاری مربوط می‌شود. تخلخل انتخابی فابریک به فضای تخلخلی گفته می‌شود که موقعیت و مرزهای آن در رسوبات و یا سنگها منعکس کننده بافت رسوبی و یا عناصر دیاژنزی موثر است و شامل تخلخلهای بین دانه‌ای، درون دانه‌ای، بین بلوری، قالبی، فنسترانل، چتری و رشدی می‌باشد. تخلخل غیر انتخابی فابریک به فضای تخلخلی گفته می‌شود که فاقد هرگونه ارتباط تخلخل با بافت رسوبی و یا عناصر دیاژنسی یک رسوب یا سنگ است و شامل تخلخلهای شکستگی، حفره‌ای و کanalی می‌باشد. آخرین نوع طبقه‌بندی ارائه شده برای تخلخل در سنگهای کربناته توسط لوئی<sup>۱۶</sup> (۲۰۰۶) ارائه شده است. این طبقه‌بندی جدید بر اساس نوع تخلخل و بر پایه سامانه طبقه‌بندی چوکت و پرای شکل گرفته است، اما از سامانه طبقه‌بندی لوسیا نیز مواردی به آن ملحق گردیده است. طبقه‌بندی بر پایه سه اصل بنا شده است: نوع تخلخل، اندازه تخلخل و توزیع تخلخل. در این سامانه شش نوع تخلخل اصلی تعریف شده است: بین دانه‌ای، بین بلوری، حفره‌ای، درون دانه‌ای، قالبی و ریز تخلخل.

<sup>14</sup> Lucia<sup>15</sup> Choquette and Pray<sup>16</sup> Lonoy

## ۴-۲- ا نوع تخلخل در سازندهای کنگان و دلان

### ۴-۱- تخلخل بین دانه‌ای<sup>۱۷</sup>

تخلخل بین دانه‌ای در سازند کنگان و دلان به صورت اولیه در گرینستونهای اوولیتی و دولوگرینستون ها مشاهده میشود. بیشترین فراوانی را در بخش انتهایی  $K_{1c}$ ,  $K_{2c}$  دارد و با فراوانی کمتر در واحد  $K_4$  دیده میشود (شمس نیا، ۱۳۸۵). این نوع تخلخل در صورتی که حفرات به هم مربوط باشند، نقش موثری در تولید هیدروکربن خواهد داشت. تعداد زیادی از آنها طی فرایندهای دیاژنزی توسط سیمان های انیدریتی، دولومیتی و کلسیتی درشت بلور پر شده اند و کیفیت مخزن را پایین آورده اند (کدخدایی، ۱۳۸۳). البته گاهی اوقات با پوشیده شدن سطح دانه توسط رسهای اولیه و یا مهاجرت اولیه هیدروکربور و در نتیجه جلوگیری از سیمانی شدن بدون تغییر باقی مانده و حفظ میشود. شکل فضاهای خالی در این نوع تخلخل متغیر است و بستگی به اندازه قطعات، جورشدگی و آرایش آنها دارد. در حالتی که اندازه و شکل دانه ها یکسان باشد، تقریبا هموژن است. با افزایش این نوع تخلخل، تراوایی نیز افزایش می‌باید که نشان از رابطه فضاهای خالی با یکدیگر توسط گلوبگاههای تخلخل و ریزتخخل های ارتباط دهنده است. در شکل ۱-۲ (الف) نمونه ای از تخلخل بین دانه‌ای نشان داده شده است.

### ۴-۲- تخلخل بین بلوری<sup>۱۸</sup>

تخلخل بین بلوری عمدها در لایه‌های دولوستون بلورین مشاهده میشود. این نوع تخلخل طی پدیده دولومیتی شدن در مراحل میانی دیاژنز تشکیل میشود. اندازه بلورهای تشکیل دهنده دولومیت بین ۲۰ تا ۱۹۰ میکرون متغیر است و گاهی تا ۲۰۰ میکرون هم می‌رسد. محدوده تراوایی در دولومیتها توسط اندازه بلورهای دولومیت، همچنین اندازه دانه ها و جورشدگی ذرات اولیه مشخص و تعریف میشود. تخلخل زمانی که دولومیتی شدن

<sup>17</sup> Interparticle porosity

<sup>18</sup> Intercrystalline porosity

بیشتر از ۵۰ درصد است و بلورهای رومبئوئدی دولومیت طی فرایند فشردگی به صورت چهارچوب عملکردہ باشند، باقی خواهد ماند. اما اگر دولومیتی شدن کمتر از ۵۰ درصد باشد، اقتصادی نیست (تقوی، ۱۳۷۸). این تخلخل کمترین مقدار تخلخل غالب در چاه شماره ۱۲ را شامل میشود و در هر بخش از مخزن که دولومیتی شدن اتفاق افتاده است میتوان آن را مشاهده کرد. در زیر واحد بالایی بخش زیرین سازنده کنگان که منطبق بر  $K_{2a}$  میباشد. بیشتر تخلخل های بین بلوری دیده میشود. (کددایی، ۱۳۸۳) این نوع تخلخل نیز همچون تخلخل بین دانه‌ای دارای رابطه مستقیم با تخلخل موثر و تراوایی است. بنابراین اندازه بلورهای دولومیت، اندازه دانه‌ها و جورشدگی، تعیین کننده محدوده تراوایی و تخلخل بین ذره ای تعیین کننده مقدار تراوایی است (Lucia, 1995). در شکل ۱-۲ (ب) نمونه ای از تخلخل بین بلوری نشان داده شده است.

### <sup>۱۹</sup> ۴-۳-۲- تخلخل درون دانه‌ای

این نوع تخلخل برخلاف تخلخل بین دانه‌ای که در فضای بین دانه‌ها تشکیل میشود در فضای درون دانه‌های اسکلتی تشکیل میشود. میزان آن به فراوانی قطعات فسیلی، اندازه و نوع موجود بستگی دارد. میزان این نوع تخلخل در نمونه‌ها مربوط به فاصله  $K_{2a}$  دارای بیشترین فراوانی است و معمولاً ایزوله است، لذا رابطه خوبی با تخلخل موثر و تراوایی ندارد. در شکل ۱-۲ (ج) نمونه ای از تخلخل بین دانه‌ای نشان داده شده است.

### <sup>۲۰</sup> ۴-۴-۲- تخلخل قالبی

در نمونه‌های مورد مطالعه بیشتر تخلخل های قالبی در گرینستون های اوولیتی و دولومیتی دیده میشود. این نوع تخلخل ناشی از انحلال انتخابی دانه‌های اسکلتی و غیراسکلتی کربناته مانند صدفها و اوئیدها میباشد، که خود دانه حل میشود و قالب آن بر جای می‌ماند. اندازه این حفرات به اندازه دانه حل شده و شدت انحلال بستگی دارد. در دانه‌های غیر اسکلتی مانند ائیدها هسته معمولاً از آراغونیتها و کلسیت منیزیم بوده و در نتیجه

<sup>۱۹</sup> Interparticle porosity

<sup>۲۰</sup> Moldic porosity

تدفین و افزایش فشار و حرارت پایداری آنها نسبت به دیواره کمتر شده و در این صورت حل میشوند. (تقوی، ۱۳۷۸). در سازند کنگان این تخلخل به وفور یافت میشود. طی مراحل دیاژنز این نوع تخلخل ممکن است توسط سیمان پر شود و گاهی نیز به صورت پر نشده باقی می ماند و نیز ممکن است با توجه به ماهیت دوگانه دیاژنز گسترش یابد و تخلخلهای از نوع حفره‌ای را ایجاد کند و منجر به افزایش کیفیت مخزن شود. این نوع تخلخل فراوان ترین نوع تخلخل در چاه شماره ۱۲ است و تقریباً در تمام بخش‌های مخزن دیده میشود ولی بیشترین فراوانی را در  $K_{4a}$  و  $K_{4b}$  دارد. این نوع تخلخل به علت ایزوله بودن معمولاً رابطه‌ای با تخلخل موثر و تراوایی ندارد، مگر اینکه فضاهای آن به هم مرتبط شود که در برخی از نمونه‌ها در اثر تراکم مکانیکی در مرز بین تخلخل‌های قالبی شکست ایجاد شده است. تخلخل قالبی بر حسب شکل دانه‌های انحلال یافته به صورت‌های متفاوت دیده میشود. معمولاً به صورت دایره‌هایی که درون آن کاملاً تحت تاثیر انحلال قرار گرفته (قالبی کامل، شکل ۱-۲(د)) یا انحلال ناقص داشته (قالبی ناقص<sup>۲۱</sup>) یا به صورت بیضی کشیده (بیوملدیک<sup>۲۲</sup>، شکل ۱-۲(۵)) دیده میشوند.

#### ۴-۵-۲- تخلخل حفره‌ای<sup>۲۳</sup>

این نوع تخلخل در نتیجه عملکرد فرآیندهای دیاژنسی انحلال و بزرگ شدن تخلخل‌های قالبی و بین دانه‌ای بدون توجه به فابریک به صورت حفرات بی نظم گسترش می‌یابد. بیشترین فراوانی آن در دولوستونهای بلورین و سنگهای آهکی دولومیتی شده، می‌باشد. ولی در گرینستونها، دولوگرینستون‌ها، دولومادستون‌ها و دولووکستون‌ها نیز مشاهده میشود (کدخدایی، ۱۳۸۳). این تخلخل در صورت عدم ارتباط گلوگاههای تخلخل رابطه چندانی با تخلخل موثر و تراوایی ندارند.

<sup>21</sup> Incomplete moldic porosity

<sup>22</sup> Bio moldic porosity

<sup>23</sup> Vuggy porosity

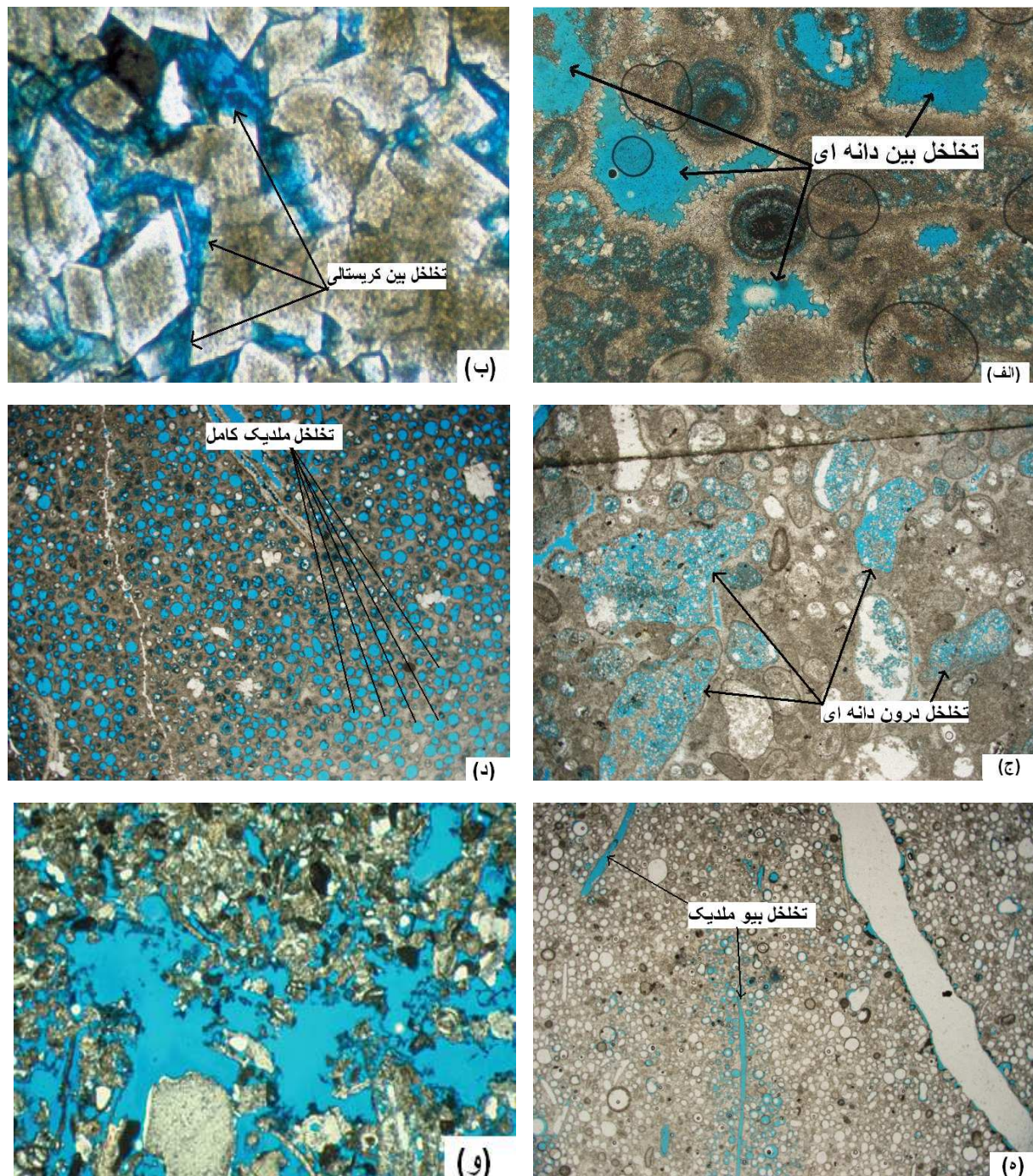
**۲-۴-۶- ریز تخلخلها<sup>۲۴</sup>**

در سازند کنگان و دالان ریز تخلخلها در اکثر اعمق وجود دارد. در این پروژه فضاهایی که مساحت کمتر از ۵۰۰ میکرومتر مربع داشتند، را جز این گروه در نظر گرفتیم. البته مطالعه دقیق ریز تخلخلها با بزرگنمایی‌های استفاده شده ممکن نمی‌باشد و برای بررسی دقیق‌تر در میکروسکوپ نوری معمولاً از بزرگنمایی‌های بالا و یا از میکروسکوپ الکترونی استفاده می‌شود. نقش موثر ریز تخلخلها در ارتباط انواع مختلف تخلخل با هم و در نتیجه افزایش تخلخل موثر و تراوایی می‌باشد.

**۲-۵-۱- اندازه‌گیری تخلخل**

محاسبه تخلخل در برآورد ذخیره آبخوان یا مخزن نفتی اهمیت بسزایی دارد. برای اندازه‌گیری تخلخل از روش‌های چشمی و آزمایشگاهی و یا نمودارهای چاه نگاری استفاده می‌شود. در روش‌های آزمایشگاهی، آگاهی از حجم کل، حجم فضای خالی و حجم قسمت جامد ضروری است. حجم کل سنگ به روش مستقیم و یا با جابجایی حجمی یک سیال غیر ترکننده نظیر جیوه اندازه‌گیری می‌شود. حجم فضای خالی نیز با روش‌های همچون حجم مجموع سیالات، انبساط گازهای یا قانون بویل اندازه‌گیری می‌شود. دقت روش‌های آزمایشگاهی خود بستگی به روش بکار رفته، دارد. یکی از کم دقت ترین این روش‌ها به دست آوردن حاصل جمع سیال استخراج شده از سنگ است و دقیق ترین روشها، روشی است که بر اساس انبساط گازها و بکارگیری قانون بویل می‌باشد. از دیگر روش‌های دقیق، تزریق جیوه در فشار زیاد به نمونه است که می‌توان حجم تخلخل و نیز انتشار تخلخل را در آن اندازه‌گیری نمود. خطایی که در نتایج روش‌های آزمایشگاهی ناشی می‌شود، میتواند در نتیجه آماده سازی نامناسب نمونه یا انتخاب نمونه نامناسب برای تهیه مغزه باشد. اندازه‌گیری تخلخل باید در فشار مخزن انجام شود، زیرا سنگهای کربناته تراکم پذیر هستند و با افزایش تنفس موثر، تخلخل در آنها کاهش می‌یابد. روش‌های چشمی با مطالعه مقاطع نازک در زیر میکروسکوپ با بزرگنمایی کم مقدار تخلخل را

<sup>24</sup> Microporosity



شکل ۲: انواع مختلف تخلخل، تخلخل بین دانه‌ای (الف)، تخلخل کریستالی (ب)، تخلخل درون دانه‌ای (ج)، تخلخل قالبی کامل (د)، تخلخل بیوملیدیک (ه)، تخلخل حفره‌ای (و)

اندازه می‌گیرند. تخلخل قابل رویت را می‌توان با روش شمارش نقاط از مقاطع نازک سنگ تخمین زد و یا برش های نازک سنگ در زیر میکروسکوپ را با نرم افزار ویژه تجزیه و تحلیل تصاویر بررسی و حجم فضای تخلخل را محاسبه نمود. معمولاً مقدار تخلخل اندازه‌گیری شده از روش های آزمایشگاهی بیشتر از مقدار تخلخل اندازه گیری شده در زیر میکروسکوپ و با آنالیز تصویر می‌باشد چرا که معمولاً خلل و فرج بسیار ریزی در سنگ وجود دارد که با روش‌های چشمی قابل رویت نمی‌باشند. معمولاً در روش‌های چشمی برای مطالعه ریز تخلخل ها از میکروسکوپ های الکترونی استفاده می‌شود (مطیعی، ۱۳۸۷). یکی از روش‌های رایج دیگری که برای اندازه‌گیری تخلخل استفاده می‌شود، نمودارهای چاه نگاری می‌باشد. نمودارهای تخلخل شامل لاغهای نوترون، دانسیته و صوتی هستند. با استفاده از نمودارهای نوترون و دانسیته تخلخل کل و با نمودار صوتی تخلخل اولیه اندازه‌گیری می‌شود. مختصراً از این لاغ ها در ادامه آمده است.

### ۱-۵-۲ - لاغ نوترون

نوترون ها در هسته‌ی تمام عناصر به غیر از هیدروژن وجود دارند. ترکیب آنها شبیه هیدروژن است، اما الکترون ندارند. وقتی نوترونها از مواد رادیواکتیو منتشر می‌شوند دارای سرعت بالایی هستند، که در اثر برخورد با اتم های دیگر از سرعتشان کاسته می‌شود. اتم های دارای جرم مشابه نوترون، باعث کاهش سرعت سریع، در نوترون می‌شوند. بنابراین محتوی هیدروژن سازند را می‌توان با استفاده از لاغ نوترون مشخص کرد. محتوی هیدروژن سنگها با ماهیت سیال موجود در منافذ و فضاهای خالی و میزان رس رابطه دارد. آب، نفت و گاز موجود در سنگ مخزن حاوی هیدروژن بوده و در نتیجه بر روی منحنی نوترون تاثیر می‌گذارند. مادامی که منافذ با یکی از این سیالات پر شده باشد، وجود هیدروژن بیشتر نشانه‌ای برای تخلخل بیشتر است و بر عکس سیال کمتر، هیدروژن کمتر و نشانه تخلخل کمتر می‌باشد. (رضایی، ۱۳۸۱)

**۲-۵-۲- لاغ چگالی (دانسیته)**

نوع ویژه ای از لاگهای رادیوакتیویته هستند که چگالی سازند را ثبت می‌کنند. تخلخل با چگالی ارتباط عکس دارد، یعنی هرچه تخلخل بیشتر باشد چگالی کمتر خواهد بود. انحرافات نمودار چگالی در یک توده ماسه سنگی یا سنگ آهک میزان تغییرات تخلخل را نشان می‌دهد.

**۳-۵-۲- لاغ صوتی**

این نمودار عمق را در مقابل زمان اندازه‌گیری می‌کند و آن، مدت زمانی است که یک ضربه صوتی طول معینی از سنگ (یک فوت) را طی می‌کند، که به آن زمان عبور گفته می‌شود و واحد آن میکرو ثانیه در فوت است. بطور کلی سرعت عبور امواج فشارشی در سنگ به ترکیب سازند، مایعات موجود در آن و مقدار تخلخل بستگی دارد. از آنجا که نوع سازند توسط نمودارهای دیگر تعیین می‌شود و با توجه به اینکه زمان عبور موج با نوع سازند و ترکیب سیال موجود در آن تغییر می‌کند، می‌توان تخلخل را با استفاده از این نمودار به خوبی تعیین کرد. نمودار صوتی، تخلخل زمینه را اندازه‌گیری می‌کند و نمی‌تواند اکثر تخلخل‌های ثانویه را آشکار کند و این در حالی است که در نمودار نوترون و چگالی تخلخل کل سنگ (مجموع تخلخل اولیه و ثانویه) اندازه‌گیری می‌شود. تفاضل مقدار قرائت شده از لاغ صوتی و لاغ نوترون یا لاغ چگالی مقدار تخلخل ثانویه را نشان می‌دهد.

(رضایی، ۱۳۸۱)

**۶-۲- تراوایی**

تراوایی یکی از مهمترین خواص سنگ مخزن بوده و اهمیت آن در این است، که تولید نفت از مخازن، تابع مستقیم تراوایی است. واحد سنجش تراوایی دارسی است و حدود آن نیز از ۰.۰۱ میلی دارسی تا چند دارسی تغییر می‌کند. به طور معمول حداقل تراوایی لازم برای تولید نفت ۰.۰۱ میلی دارسی در نظر گرفته می‌شود ولی

در مخازن با توان تولید بالا تراوایی در حد دارسی می‌باشد. در مخازن کربناته ایران به استثنای چاه هایی که به شکستگی های بزرگ برخورد نموده اند، تراوایی پایین است. تراوایی را از معادله قانون دارسی تعریف می‌کنند:

$$Q = \frac{K \cdot A \cdot (P_1 - P_2)}{\mu \cdot L} \quad (2.4)$$

که در این رابطه  $K$  تراوایی،  $Q$  دبی جریان،  $\mu$  غلظت سیال و  $(P_1 - P_2)/L$  میزان افت فشار جریان بر حسب طول و  $A$  سطح مقطع نمونه است. طبق تعریف، یک دارسی تراوایی سنگی است که اجازه جریان یک سانتی مترمکعب از سیال با ویسکوزیته یک سانتی پواز را در یک ثانیه از سطح مقطع یک سانتی مترمربع تحت فشار یک اتمسفر به سانتیمترمربع می‌دهد. با توجه به اینکه دارسی واحد بزرگی است، لذا از میلی دارسی استفاده میشود. کمینه تراوایی برای اینکه از لحاظ اقتصادی مفید باشد تابع عواملی همچون نوع هیدروکربن، ویسکوزیته هیدروکربن، فشار سازنده، اشباع آب، قیمت هیدروکربن، ضخامت زونهای تولیدی خالص به کل ضخامت و عمق چاه می‌باشد (Schlubmerger, 1989).

برای اندازه‌گیری یا تخمین تراوایی از فرمولهای تجربی، روش‌های آزمایشگاهی، لاغ NMR یا سیستمهای هوش مصنوعی استفاده میشود. تراوایی به عنوان یک پارامتر مهم در اکثر مدلسازی های پتروفیزیکی سنگ مورد استفاده قرار می‌گیرد. رابطه کوزنی-کارمن از جمله فرمولهای تجربی مشهوری است که برای تخمین تراوایی استفاده میشود، البته فرمولهای تجربی دقیق نداشته و در همه سازندها قابل استفاده نمی باشند. برای اندازه‌گیری تراوایی در آزمایشگاه استوانه‌های کوچک سنگ را ابتدا در یک آستری کاملاً غیرتراوا طوری جفت و جذب می نمایند که راه نفوذ سیال تزریقی به بدنه نمونه وجود نداشته باشد. سپس سیالی با غلظت مشخص از یک سر نمونه که طول و قطر آن مشخص است در درون نمونه جریان می‌دهیم. حال با در دست داشتن مقدار دبی خروجی و افت فشار بین سر و ته نمونه مقدار تراوایی قابل اندازه‌گیری است. معمولاً دقیقترین مقدار تراوایی با استفاده از همین روش بدست می‌آید. البته روش‌های آزمایشگاهی هزینه بیشتر هستند و به دستگاه های ویژه ای نیاز دارند (مطیعی، ۱۳۸۷). لاغ NMR جز محدود لاغهایی است که در سالهای اخیر به صنعت نفت

معرفی شده است و توانایی اندازه‌گیری تراوایی را دارد. اساس آن بر تشديد مغناطیس هسته و اندازه‌گیری هندسه فضاهای خالی و ماهیت سیال پرکننده آن است. این نمودار جز لاغهای گران بوده و در چاه‌های گازی نیز دارای نویز بالا می‌باشد. استفاده از تکنیکهای هوش مصنوعی برای تخمین تراوایی در سالهای اخیر بسیار مورد توجه بوده است. انتشار مقالات و پایان نامه‌های متعددی در زمینه استفاده از لاغهای چاه پیمایی و بهره بردن از قابلیت سیستمهای هوشمند، گواه این موضوع است. دقت نتایج بدست آمده از سیستم‌های هوش مصنوعی در اغلب موارد بالا بوده و امکان پیش‌بینی و تعیین روند تغییرات در پارامترهای مخزنی را فراهم می‌آورد. علاوه بر روش‌های ذکر شده برای اندازه‌گیری تراوایی، روش‌های دیگری نیز برای تخمین تراوایی وجود دارند که در اینجا فقط به ذکر نام آنها بسنده می‌کنیم.

- اندازه‌گیری تراوایی با استفاده از فراوانی کانی‌های بدست آمده از روش‌های ژئوشیمیایی
- اندازه‌گیری تراوایی با استفاده از ابزارهای تستگر<sup>۲۵</sup> سازند
- اندازه‌گیری تراوایی با استفاده از آنالیز فشار  $P_d$  (Draw Down Pressure)
- اندازه‌گیری تراوایی با استفاده از آنالیز فشار  $P_b$  (Build Up Pressure)

از نظر زمین شناسی تراوایی یک مخزن را همانند تخلخل می‌توان به دو دسته اولیه و ثانویه تقسیم کرد: تراوایی اولیه که در زمان ته نشینی رسوبات در سنگ ایجاد می‌شود و تابع اندازه، شکل و سایر خصوصیات ذرات سازنده رسوب می‌باشد و تراوایی ثانویه که در اثر عوامل دیاژنزی بعد از رسوب‌گذاری مانند شکستگی، احلال، سیمانی شدن و فشردگی ایجاد می‌شود. از نظر اقتصادی تراوایی سنگها به دسته‌های زیر تقسیم می‌شود:

- $K < 1$ : تراوایی کم
- $1 < K < 10$ : تراوایی ضعیف تا متوسط
- $10 < K < 50$ : تراوایی متوسط
- $50 < K < 250$ : تراوایی خوب

<sup>25</sup> Tester

### - $K > 250$ : تراوایی بسیار خوب

تقسیم بندی فوق نسبی بوده و می‌توان با توجه به عوامل اقتصادی تغییر کند. به عنوان مثال تا ۲۰ سال پیش به سنگی با تراوایی کمتر از ۵۰ میلی دارسی به چشم سنگ با بهره کم اقتصادی و تراوایی پایین نگاه می‌شد ولی امروزه این نظر در مورد سنگ با تراوایی کمتر از یک میلی دارسی وجود دارد (طبعی، ۱۳۸۷)

### ۷-۲- روند تغییرات تخلخل و تراوایی در سازندهای کنگان و دلان

در جدول ۱-۲ اطلاعات کلی درباره بازه تغییرات تخلخل و تراوایی در هریک از زیر واحدهای دو سازند کنگان و دلان آمده است. تنها با تکیه بر اطلاعات این جدول نمی‌توان اظهارنظر دقیقی در مورد ارزش مخزنی هریک از زیرواحدها داشت. برای این منظور مطالعه دقیق در لیتولوژی، نوع تخلخل و تغییرات دیاژنزی لازم است. بیشترین مقدار تراوایی در سازند کنگان در زیرواحد  $K_{1c}$  دیده می‌شود که مطالعات سنگ شناسی نشان می‌دهد این تراوایی بالا در اثر لایه‌های دولومیتی متخلخل می‌باشد.

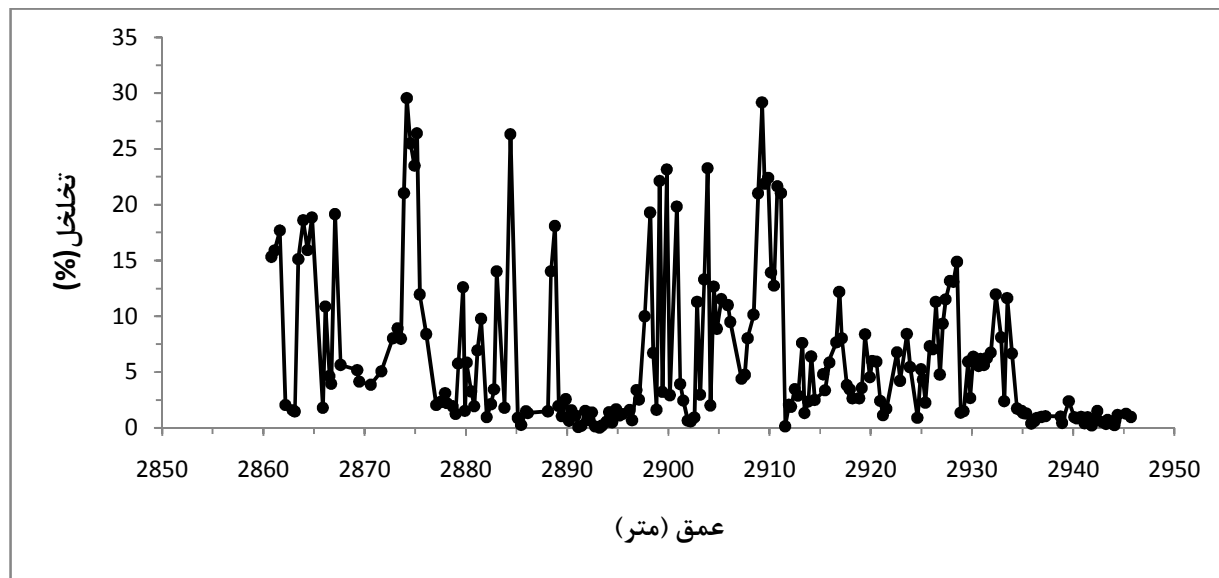
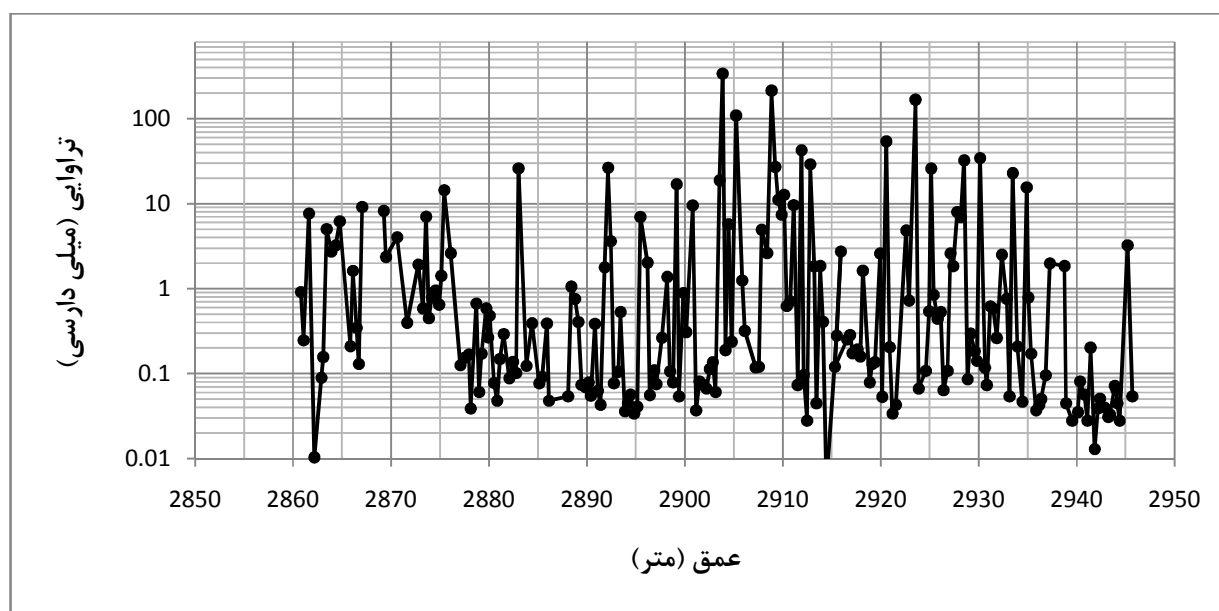
جدول ۱-۲: بازه تغییرات تخلخل و تراوایی در دو سازند کنگان و دلان

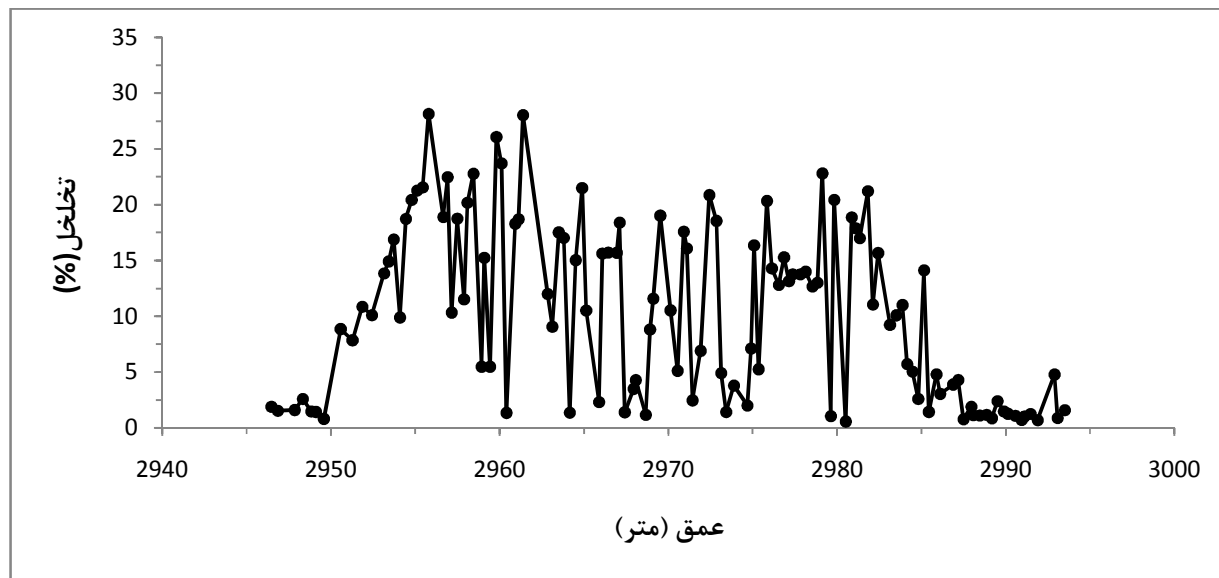
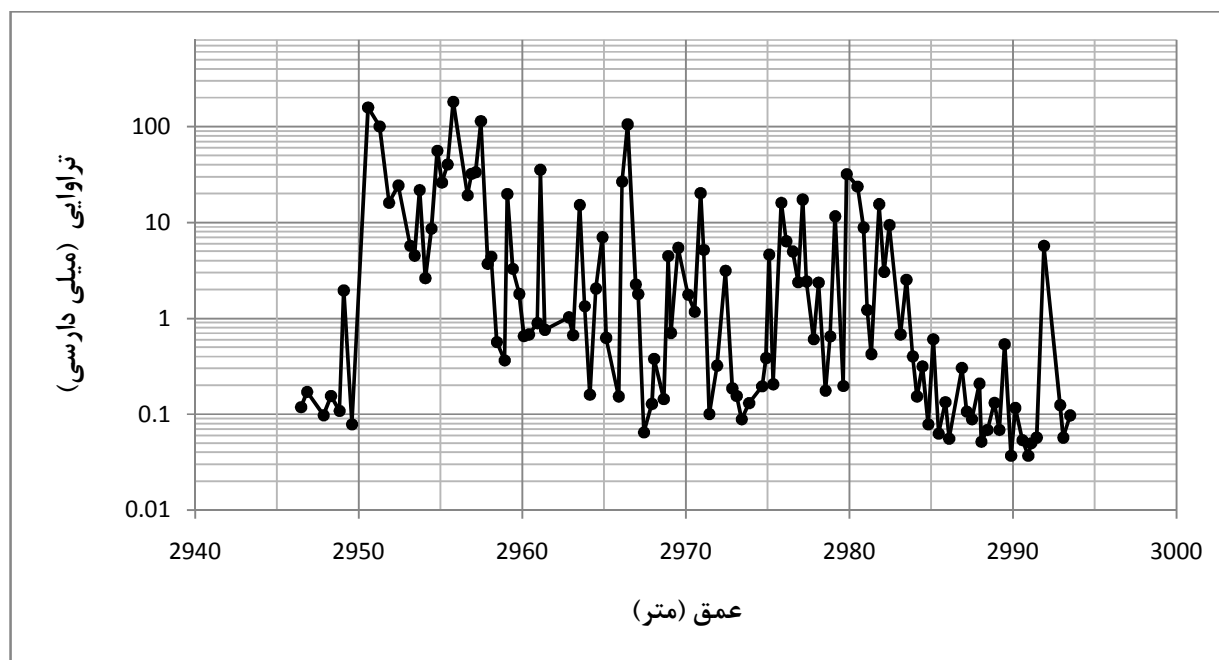
سازند	واحد	زیرواحد	عمق (متر)	$K_{\varphi}$	Max $\varphi$	Min $\varphi$	Min K	Mean $\varphi$	Mean K
کنگان	$K_1$	$K_{1a}$	۲۸۶۰-۲۸۷۳.۵						
		$K_{1b}$	۲۸۷۳.۵-۲۹۰۲.۶						
		$K_{1c}$	۲۹۰۲.۶-۲۹۴۵.۵						
دalan	$K_2$	$K_{2a}$	۲۹۴۵.۵-۲۹۵۷.۶						
		$K_{2b}$	۲۹۵۷.۶-۲۹۹۳.۶						
		$K_{3a}$	۲۹۹۳.۶-۳۰۱۹.۵						
	$K_3$	$K_{3b}$	۳۰۱۹.۵-۳۰۹۰						
		$K_{3c}$	۳۰۹۰-۳۱۱۶						
		$K_{4a}$	۳۱۱۶-۳۱۳۵						
	$K_4$	$K_{4b}$	۳۱۳۵-۳۲۰۵.۵						
		$K_{4c}$	۳۲۰۵.۵-۳۲۷۴.۷						

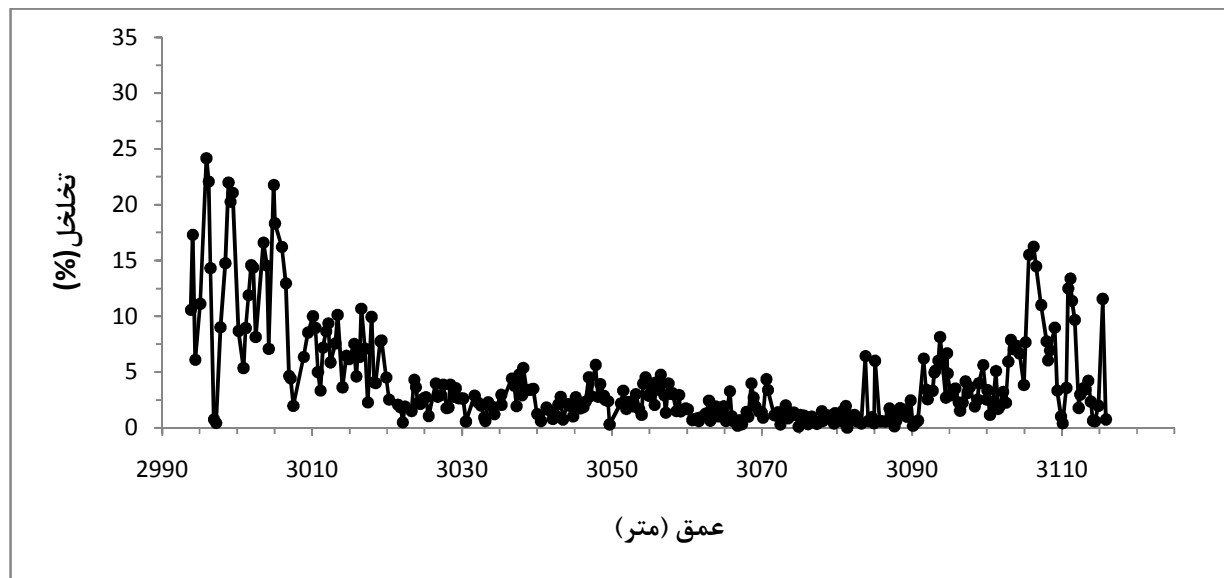
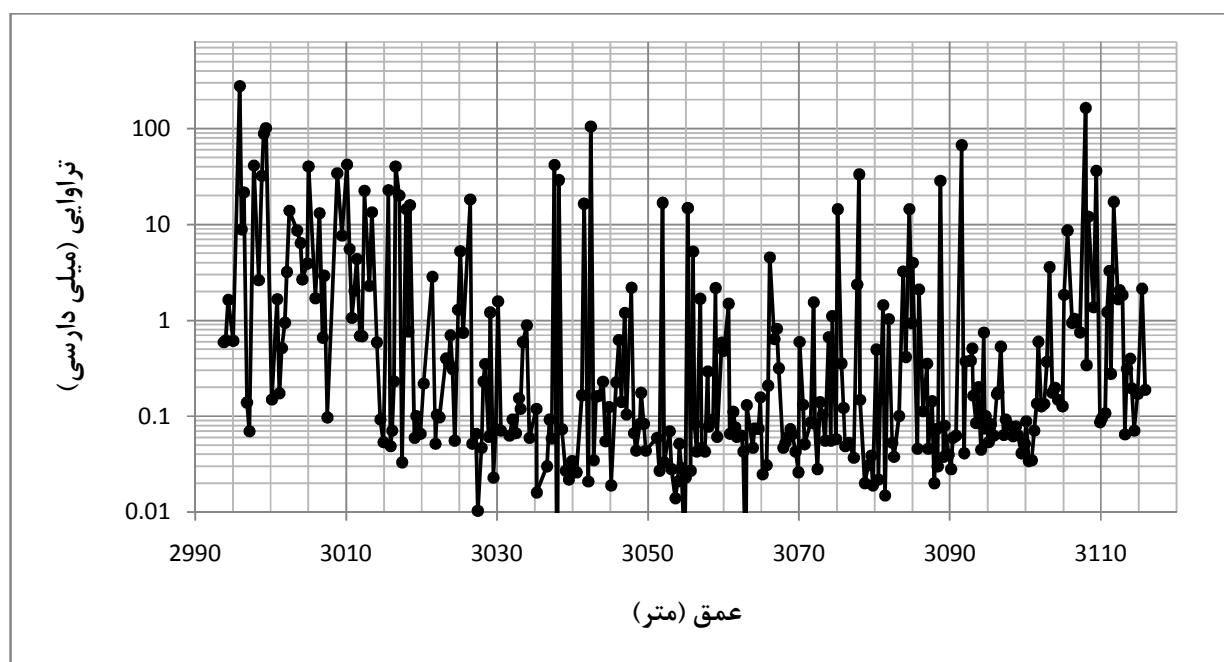
بیشترین مقدار تراوایی در سازند دلان نیز مربوط به زیرواحد  $K_{4b}$  با مقدار برابر ۷۲۳.۲ میلی دارسی می‌باشد.

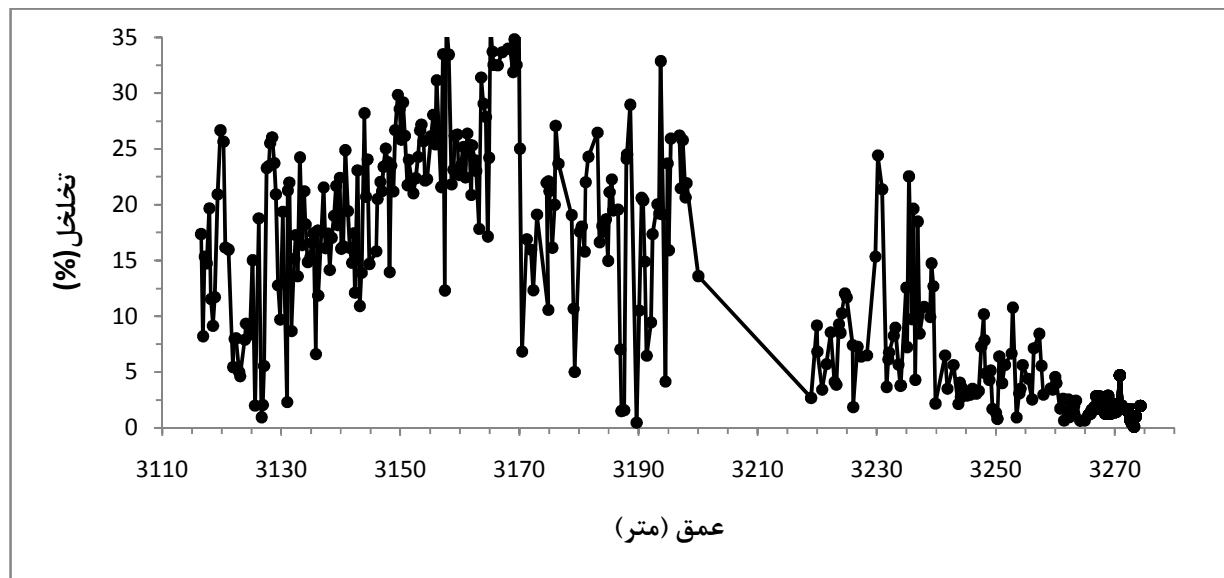
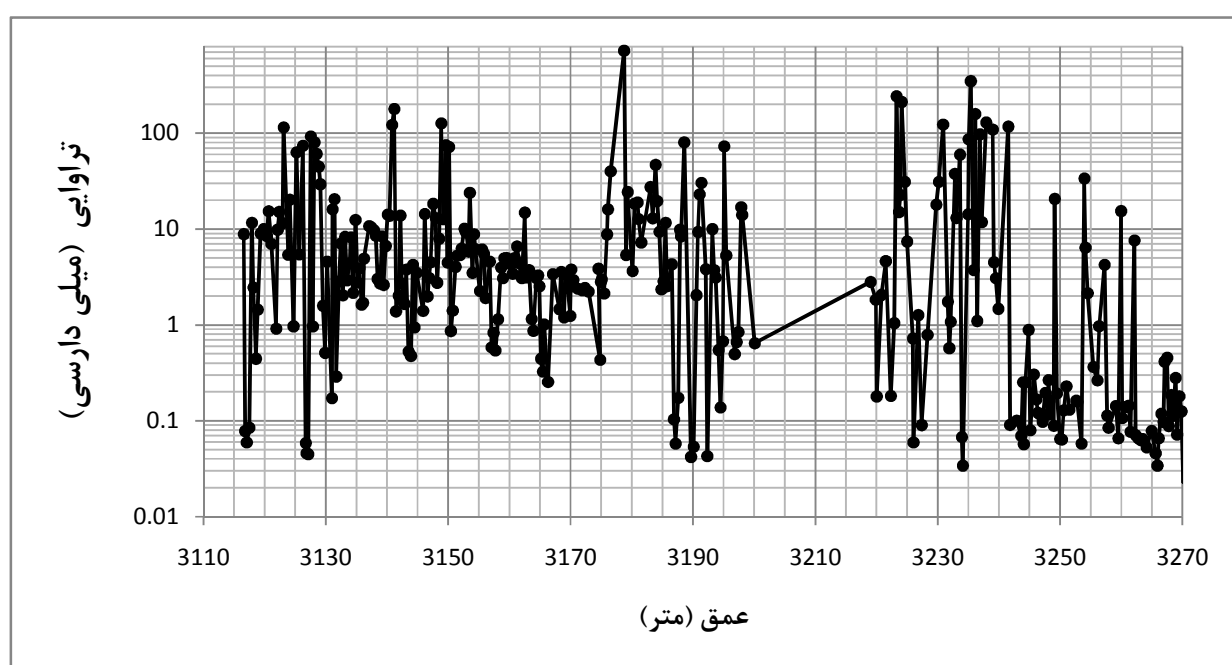
این تراوایی بالا در نتیجه لیتولوژی آهکی و آهک دولومیتی با تخلخل بین دانه‌ای می‌باشد. لازم به ذکر است که

این زیرواحد مهمترین بخش مخزنی میدان می‌باشد. برای شناخت بهتر هریک از زیر واحدها نمودار تغییرات تخلخل و تراوایی برای عمق‌های مختلف، در ادامه آمده است. با توجه به مقدار تغییرات تخلخل و تراوایی میتوان اظهارنظر بهتری در مورد ارزش مخزنی بخش‌های مختلف در دو سازند ارائه داد. عمقهای با مقدار بالای تخلخل و تراوایی دارای بهترین ارزش مخزنی هستند.

شکل ۲-۲: تغییرات تخلخل در واحد  $K_1$ شکل ۲-۳: تغییرات تراوایی در واحد  $K_1$

شکل ۲-۴: تغییرات تخلخل در واحد K<sub>2</sub>شکل ۲-۵: تغییرات تراوایی در واحد K<sub>2</sub>

شکل ۶-۲: تغییرات تخلخل در واحد  $K_3$ شکل ۶-۳: تغییرات تراویی در واحد  $K_3$

شکل ۲-۸: تغییرات تخلخل در واحد  $K_4$ شکل ۲-۹: تغییرات تراویی در واحد  $K_4$

فصل سوم:

سیستم های هوش مصنوعی

## فصل سوم: سیستم های هوش مصنوعی

### ۱-۳ - مقدمه

با دشوار شدن مسائل و مشکلات در صنعت نفت، تلاش شد تا با بکارگیری تکنیکها و روش های مختلف مسائل جدید را از دیدگاهی نو بررسی کنند. برای رسیدن به جواب در مسائل جدید از ترکیب روش های قدیمی و تکنیکهای مختلف هوش مصنوعی و جمع آوری داده، استفاده میشود. با ارائه جواب های قابل اعتماد توسط تکنیکهای هوش مصنوعی زمینه برای جایگزینی این تکنیکها بجای روش های قدیمی فراهم می آید. روش های قدیمی در مطالعات نفتی معمولاً زمانبر و پرهزینه هستند که در دنیای امروز صنعت نفت که با حجم وسیعی از مسائل دشوار سروکار داریم، نمیتوانند پاسخگوی تمام نیازهای مهندسین و کارشناسان باشند. لذا با تکیه بر تکنیکهای هوش مصنوعی و روش های جدید مدیریت داده، میتوان الگوهای مناسبی برای حل مسائل جدید ارائه داد. در این میان تکنیکهایی مانند شبکه های عصبی، منطق فازی، سیستم های نروفازی و الگوریتم ژنتیک در حل مسائل متعددی استفاده شده‌اند و توانسته‌اند کارآمدی خود را به مهندسین و کارشناسان ثابت کنند. در این مطالعه نیز تلاش شده است تا با بکارگیری تکنیکهای هوش مصنوعی و آنالیز تصویر، مدلی برای پیش‌بینی مقدار تخلخل و تراوایی در یک مخزن کربناته ارائه شود.

آنالیز تصویر و ماشین بینایی میتواند ابزاری مفید در جهت بالا بردن دقت و کوتاه کردن زمان مطالعات در علوم زمین باشد. در این مطالعه با تکیه بر روش های آنالیز تصویر و تشخیص الگو، الگوریتمی خودکار برای تفکیک فضاهای خالی سنگ ارائه شده است. در ادامه توضیح مختصری در مورد اساس تکنیکهای بکار رفته آمده است.

### ۲-۳ - شبکه عصبی

شبکه های عصبی مصنوعی ابزار هوشمندی هستند که از سیستم عصبی انسان الهام گرفته شده‌اند. امروزه دامنه کاربرد شبکه های عصبی در زمینه های مختلف و از جمله صنعت نفت و گاز گسترش یافته است. مطالعات

مخزنی در زمینه های پیش بینی و بازسازی لاغهای چاه پیمایی، ویژگی های مخزنی و خواص سنگ و پیش بینی برداشت هیدروکربور انجام شده است. عملکرد شبکه عصبی را بنا به دلایل زیر می توان مشابه با عملکرد مغز انسان دانست (منهاج، ۱۳۸۱):

- ۱- شبکه های عصبی در طی فرآیندی به نام آموزش از محیط اطراف برای شناخت و تعیین ماهیت استفاده می کنند.
- ۲- از اتصال بین نرون ها برای ذخیره سازی و شناخت استفاده می شود. شبکه های عصبی مصنوعی با وزن دهی به نرون ها این شناخت را ذخیره می کنند.

### ۳-۲-۱- ساختار شبکه عصبی مصنوعی

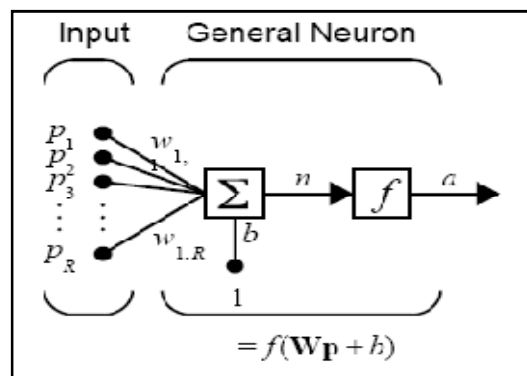
به منظور درک نحوه کار شبکه عصبی باید اجزا آنرا بشناسیم. در ادامه به طور خلاصه بخش های مختلف شبکه توضیح داده می شود.

### ۳-۲-۱-۱- نرون<sup>۲۶</sup>

نرون ها عنصر اساسی و در واقع پردازشگر اصلی شبکه هستند. یک نرون با یک ورودی بردار در شکل ۳-۱ نشان داده شده است. اگر مولفه های بردار ورودی را با  $P_1, P_2, \dots, P_R$  نشان دهیم، هر یک از این مولفه ها در وزن متناظر  $W_1, W_2, \dots, W_R$  ضرب می شوند و سپس وارد تابع  $f$  می شوند. این تابع به نام تابع تصمیم گیری در شبکه عصبی معروف است. خروجی این تابع یک عدد اسکالر به نام  $a$  می باشد. هر نرون می تواند پارامتر دیگری به نام بایاس هم داشته باشد. مقدار بایاس با مجموع حاصلضرب ورودی ها جمع می شود و خروجی نهایی را ایجاد می کند (Matlab, 2007).

$$n = w_{11}P_1 + w_{12}P_2 + \dots + w_{1R}P_R + b \quad (3.1)$$

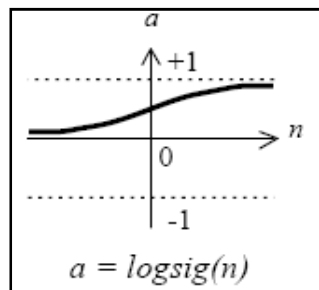
<sup>26</sup> Neuron



شکل ۳-۱: ساختار یک نرون با چندین ورودی (Matlab, 2007)

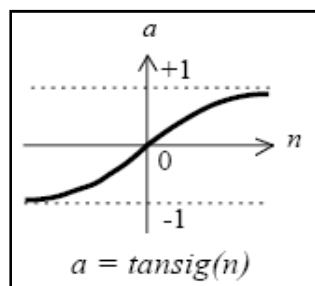
مهمترین انواع توابع تصمیم‌گیری توضیح داده شده‌اند.

الف) تابع Log-Sigmoid: شبکه های چند لایه معمولاً از این تابع، به عنوان تابع تصمیم‌گیری استفاده می‌کنند. خر.جی این تابع مقادیر بین  $-1$  و  $1$  و ورودی آن بین منفی بینهایت تا مثبت بینهایت تغییر می‌کند. شکل ۳ یک تابع Log-Sigmoid را نشان می‌دهد.



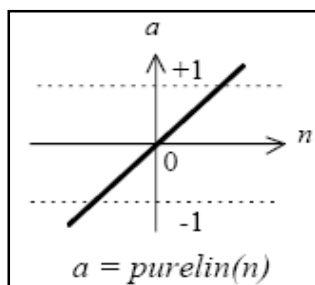
شكل ٢-٣: شكل تابع Log-Sigmoid (Matlab, 2007)

ب) تابع Tan-Sigmoid: خروجی در این تابع مقادیر بین ۱- تا ۱ تغییر می‌کند. برای ورودی با مقدار منفی بینهاست، مقدار خروجی ۱- خواهد بود. شکل ۳-۳ یک تابع Tan-Sigmoid را نشان می‌دهد.



شکل ۳-۳: شکل تابع (Matlab, 2007) Tan-Sigmoid

ج) تابع Purelin: یکی دیگر از توابع مهم که به عنوان تابع تصمیم‌گیری استفاده می‌شود، تابع خطی است، که در شکل زیر نشان داده شده است.



شکل ۴-۳: شکل تابع (Matlab, 2007) Purelin

همانطور که از شکل های توابع بالا مشخص است در صورتی که آخرین لایه یک شبکه دارای نرون های سیگموئیدی باشد خروجی آن در بازه صفر تا یک (برای Log-Sigmoid) و یا ۱ - تا ۱ (برای Tan-Sigmoid) و در صورتیکه دارای نرون خطی باشد، خروجی آن در هر بازه ای می‌تواند تغییر کند

۲۷-۳-۲-۱- لایه

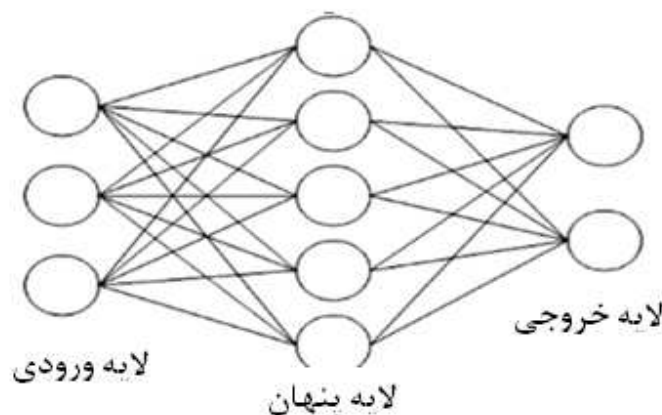
یک شبکه عصبی از سه نوع لایه تشکیل می‌شود. هر لایه متشکل از تعدادی نرون می‌باشد ( Mohaghegh, 2000).

<sup>27</sup> Layer

الف) لایه ورودی<sup>۲۸</sup>: لایه دریافت کننده اطلاعات می‌باشد. تعداد نرون‌ها در لایه ورودی برابر با تعداد ورودی‌های شبکه می‌باشد. هر نرون در لایه ورودی با همه نرون‌های لایه میانی ارتباط دارد، به طوریکه پردازش اطلاعات همزمان و به صورت موازی انجام می‌شود.

ب) لایه میانی (لایه پنهان<sup>۲۹</sup>): این لایه اطلاعات تهیه شده از محیط را تجزیه و تحلیل می‌کند. تعداد نرون‌ها در این لایه بر حسب پیچیدگی رابطه بین ورودی‌ها متفاوت می‌باشد. لایه پنهان می‌تواند متشکل از چندین لایه مجزا باشد که هریک می‌تواند چندین نرون داشته باشد.

ج) لایه خروجی<sup>۳۰</sup>: این لایه نتایج تجزیه و تحلیل را از لایه پنهان دریافت می‌کند و به تفسیر معنی داری تبدیل می‌کند. در شکل زیر سه لایه شبکه عصبی نشان داده شده است.



شکل ۳-۵: ساختار لایه‌ها در یک شبکه عصبی

### ۳-۲-۳- آموزش شبکه عصبی

یک شبکه را می‌توان برای تخمین توابع رگرسیون غیرخطی، شناسایی الگو و یا طبقه‌بندی استفاده کرد. در حین آموزش وزنها و بایاس‌های شبکه بر اساس ورودی‌ها و خروجی‌ها آموزش داده می‌شوند تا تابع خطا در

<sup>28</sup> Input layer

<sup>29</sup> Hidden layer

<sup>30</sup> Output layer

شبکه کمینه شود. معمولاً تابع خطا میانگین مربعات اختلاف بین خروجی شبکه و خروجی مطلوب است. در محیط نرم افزار متلب الگوریتم های متعددی برای آموزش وجود دارد، که هریک مشخصه خاص خود را دارند و برای کاربردهای متعددی قابل استفاده می باشند. فهم اینکه سرعت کدام الگوریتم آموزشی برای یک مسئله خاص بیشتر است، کار آسانی نیست. این موضوع به پارامترهای بسیاری مانند پیچیدگی مسئله، تعداد داده های ورودی، تعداد وزنها و بایاس ها در شبکه و حداکثر خطای قابل قبول بستگی دارد. در حالت کلی شبکه هایی که حاوی چند صد وزن هستند، روش Levenberg-Marquadt سریعتر از بقیه همگرا میشود. روش Quasi-Newton بعد از این روش سریعترین الگوریتم می باشد (Matlab, 2007). در محیط نرم افزار متلب برای ایجاد شبکه عصبی پس انتشار از دستور newff استفاده میشود. این شبکه ورودی و خروجی مطلوب را دریافت می کند و مدلی با حداقل خطا ایجاد می نماید. خطا بر حسب تعداد لایه های پنهان، تعداد نرون ها در لایه پنهان و تابع تصمیم گیری و ... می تواند متفاوت باشد. انتخاب صحیح مجموعه آموزش، ارائه داده ها به گونه ای که قدرت تشخیص شبکه را ماکزیمم کند، تفسیر نتایج شبکه و درک جزئیات درونی شبکه مانند هندسه آن و پارامترهای کنترل کننده یادگیری از نکات حائز اهمیت برای استفاده مطلوب از شبکه هستند. در مورد هندسه شبکه انتخاب صحیح اندازه لایه پنهان بسیار مهم است. هرچه تعداد نرون های لایه پنهان بیشتر شود، قابلیت شبکه برای تشخیص الگو بیشتر میشود. البته زیاد شدن تعداد نرون ها در لایه پنهان ممکن است، موجب بیش برازش<sup>۳۱</sup> شبکه نیز شود. به عبارت دیگر شبکه مثالهای آموزشی را خوب یاد می گیرد ولی قدرت تعمیم آن کاهش می یابد.

### ۳-۲-۳- مزایا و معایب شبکه عصبی

از مزایای شبکه های عصبی می توان به موارد زیر اشاره کرد:

۱- پردازش موازی بر روی داده ها

۲- کاربرد در حل طیف وسیعی از مسائل

<sup>31</sup> Over fitting

۳- ارائه جوابهای مناسب در مسائل پیچیده

۴- در دسترس بودن بسته های نرم افزاری متعدد در این زمینه

معایب شبکه عصبی عبارتند از:

۱- عدم ارائه توضیح در مورد پاسخها و نحوه محاسبه آنها

۲- امکان ارائه یک جواب زودرس و نامناسب

### ۴-۲-۳- نگاهی به جعبه ابزار شبکه عصبی در نرم افزار متلب

جعبه ابزار شبکه عصبی در نرم افزار متلب محیط گرافیکی را برای ایجاد شبکه عصبی فراهم آورده است. برای باز کردن محیط گرافیکی بایستی، دستور nntool را در خط فرمان اجرا کرد. پنجره جعبه ابزار شبکه عصبی در شکل ۳-۶ نشان داده شده است. برای ایجاد شبکه بر روی دکمه new کلیک می کنیم که پنجره جدید مطابق شکل ۳-۷ باز می شود. در قسمت network type می توان نوع شبکه، در قسمت training function نوع آموزش، در قسمت performance function نوع تابع محاسبه خطا، در قسمت number of layers تعداد لایه های شبکه و بالاخره در قسمت properties for شماره لایه، تعداد نرون های آن لایه و تابع تصمیم گیری را می توان تعیین کرد.

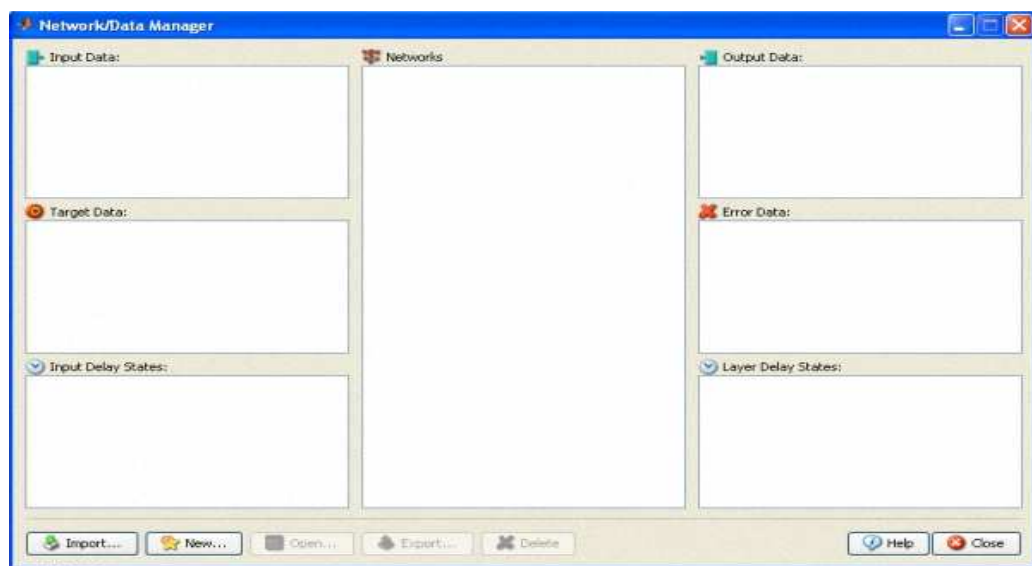
### ۳-۳- سیستم فازی

#### ۱-۳-۳- مجموعه کلاسیک و مجموعه فازی

اصول منطق فازی در سال ۱۹۶۵ توسط دکتر لطفی زاده برای از بین بردن محدودیتهای مجموعه های کلاسیک ارائه شد. مجموعه های کلاسیک از منطق غیر منعطف<sup>۳۲</sup> تبعیت می کنند. در این مجموعه ها یک مقدار یا به مجموعه تعلق دارد یا ندارد و حالت سومی فرض نمی شود. این نوع مجموعه ها در کار با مسائل علمی و

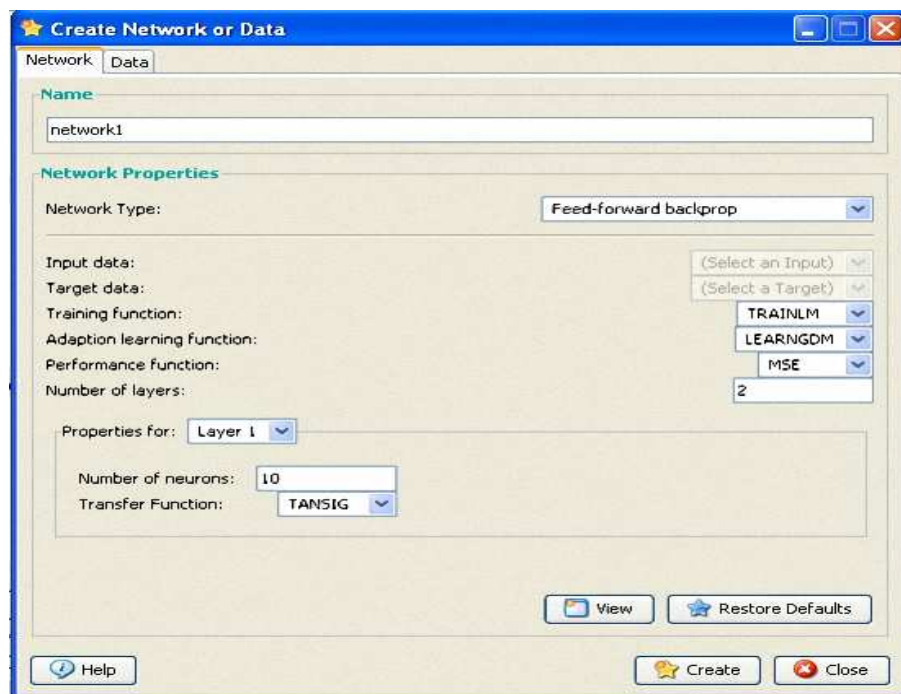
<sup>32</sup> Crisp

کاربردهای صنعتی ناتوان هستند و قابلیت پایینی دارند. در منطق اصول فازی مفهوم عضویت دارای تعریفی متفاوت است. به عبارتی می‌توان گفت عضویت تعریفی بخشی<sup>۳۳</sup> دارد. برای بهتر مشخص شدن تعریف دو نوع مجموعه های کلاسیک و فازی به دو تعریف ریاضی صفحه بعد دقت کنید.



شکل ۳-۶: پنجره جعبه ابزار شبکه عصبی در نرم افزار متلب

<sup>۳۳</sup> Partial



شکل ۳-۷: محیط مشخص کردن پارامتر های شبکه عصبی

یک مجموعه کلاسیک در دیدگاه ریاضی به این شکل تعریف میشود.

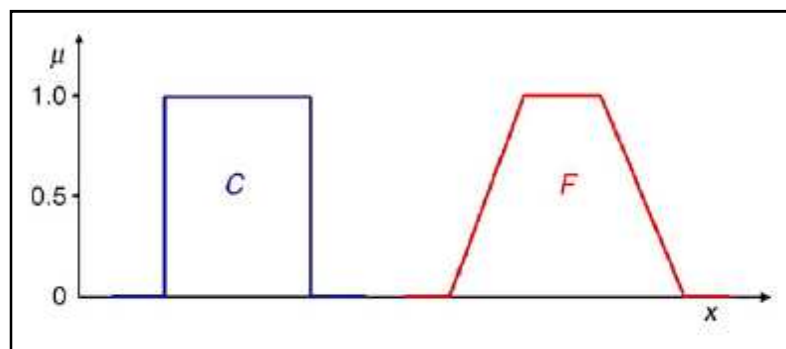
$$\mu_c(x) = \begin{cases} 1 & \text{if } x \in C \\ 0 & \text{otherwise} \end{cases} \quad (3.2)$$

دکتر لطفی زاده در تعریف تئوری فازی این مجموعه را به صورت زیر گسترش داده است

$$\mu_F(x) : X \rightarrow [0, 1] \quad (3.3)$$

با به تعریف فازی،  $X$  عضوی از بازه  $[0, 1]$  است و میتواند هر مقدار بین این دو عدد را داشته باشد (Yagar and Zadeh, 1992).

شکل ۳-۸ تعریف عضویت در مجموعه کلاسیک و فازی را نشان میدهد.



شکل ۳-۱: تعریف عضویت در مجموعه کلاسیک و فازی (Rezaee et al., 2007)

در یک مجموعه فازی تابع عضویت، مشخص کننده میزان عضویت یک عضو در مجموعه می‌باشد. هر تابع عضویت از سه بخش اصلی بوجود می‌آید (Siavanandam et al., 2007)

<sup>۳۴</sup> - هسته

<sup>۳۵</sup> - تکیه گاه

<sup>۳۶</sup> - مرز

در شکل زیر این سه بخش نشان داده می‌شود. هسته مجموعه فازی A در فضای مرجع X یک مجموعه صریح یا قطعی است که شامل همه اجزایی است، که درجه عضویت برابر یک دارد.



شکل ۳-۲: قسمتهای اصلی تابع عضویت

<sup>۳۴</sup> core

<sup>۳۵</sup> support

<sup>۳۶</sup> Boundary

تکیه گاه مجموعه فازی A از مجموعه مرجع X یک مجموعه صریح است که شامل همه اجزای X با درجه

عضویت غیر صفر در A می‌باشد. متمم یک مجموعه فازی در X بوسیله تابع زیر تعریف می‌شود:

$$\text{Supp}: \bar{p}(x) = p(x) \quad (3.4)$$

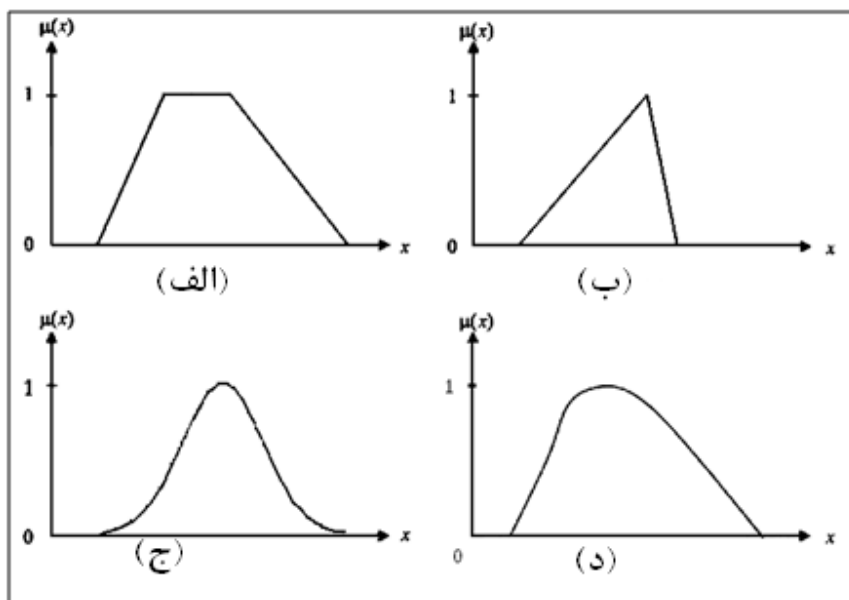
که در آن

$$\text{Supp } A = \{x \in X | \mu_A(x) > 0\} \quad (3.5)$$

و بالاخره مرز یک مجموعه فازی A از مجموعه مرجع X یک مجموعه صریح است که شامل همه اجزای X با

درجه عضویت بین صفر و یک است. ( $0 < \mu_A(x) < 1$ )

جعبه ابزار منطق فازی در نرم افزار متلب شامل یازده نوع تابع عضویت است. توابع عضویت به لحاظ شکل با هم متفاوت هستند. انتخاب تابع عضویت بنا به نوع مسئله‌ای که بایستی حل شود، تغییر می‌کند. ساده‌ترین توابع عضویت از خط‌های راست تشکیل می‌شوند. تابع عضویت مثلثی ساده‌ترین نوع تابع عضویت خطی است، که معمولاً از توزیع گوسی پیروی می‌کند. برای داده‌هایی که در علوم زمین با آن سروکار داریم، توزیع گوسی بهترین همپوشانی را با داده‌ها دارد. در شکل ۱۰-۳ چهار نوع از معمولی‌ترین توابع عضویت نشان داده شده است.



شکل ۳-۱۰: چهار نوع از معمولی ترین توابع عضویت: ذوزنقه ای (الف)، مثلثی (ب)، گوسی (ج)، زنگوله ای (د) (Ying, 2000)

در پردازش داده ها با استفاده از سیستم فازی با دو مبحث موافق هستیم:

### ۱- مدلسازی فازی

### ۲- خوشسازی فازی

از مدلسازی فازی جهت محاسبه پارامترهای عددی مانند تخلخل، تراوایی، اشباع آب سازندی و ... استفاده میشود. در حالیکه خوشسازی فازی ابزاری برای کلاسه بندی و رده بندی داده ها در گروه های مختلف میباشد. خوشسازی به دو روش تفریقی و C-mean برای رده بندی لیتوژی، گروه سنگی و ... کاربرد دارد.

### ۳-۳-۳- سیستم استنتاج فازی

سیستم استنتاج فازی، فرآیند فرموله کردن رابطه بین ورودیها و خروجی را انجام می دهد. طی این پروسه از توابع عضویت، اپراتورهای فازی و قواعد اگر-آنگاه استفاده میشود. در جعبه ابزار منطق فازی نرم افزار متلب دو

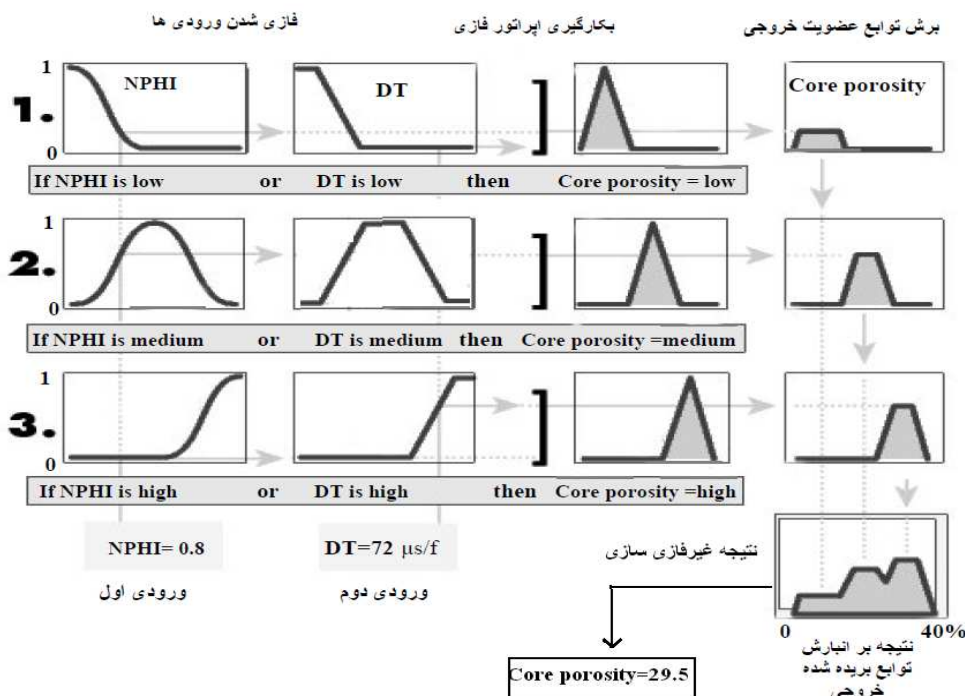
انتخاب برای سیستم استنتاج فازی لحاظ شده است که عبارتند از روش استنتاج ممدانی<sup>۳۷</sup> و روش استنتاج تاکاگی-سوگنو<sup>۳۸</sup>. مکانیزم پردازش در یک سیستم فازی اعم از ممدانی یا سوگنو شامل پنج مرحله می‌باشد: فازی سازی داده‌های ورودی، استفاده از اپراتور فازی، برش توابع عضویت خروجی، و برهم انبارش خروجی‌ها و غیرفازی سازی. در مرحله اول هر ورودی به یک عدد فازی تبدیل می‌شود و مقدار درجه عضویت هر ورودی با توجه به توابع عضویت تعیین می‌شود. در مرحله بعد اگر مقدمه شرط شامل چند بخش باشد از یک اپراتور فازی برای بدست آوردن یک عدد که نشان دهنده نتیجه مقدمه شرط است، استفاده می‌شود. در مرحله سوم با استفاده از عدد فازی مرحله قبل، تابع خروجی بریده می‌شود. در مرحله چهارم خروجی هر کدام از شرط‌ها که یک مجموعه فازی است با هم جمع می‌شوند تا یک مجموعه فازی واحد بدست آید. در نهایت خروجی غیر فازی می‌شود (ورودی مرحله آخر یک مجموعه فازی و خروجی آن عدد می‌باشد). در شکل ۱۱-۳ مثالی از مراحل مختلف یک سیستم فازی نشان داده شده است. ورودی‌های این سیستم لاغهای چاه پیمایی بوده و خروجی مقدار تخلخل می‌باشد.

در مطالعه حاضر از سیستم تاکاگی-سوگنو برای پیش‌بینی پارامترهای مخزنی استفاده شده است. از جمله مهمترین مزایای این سیستم می‌توان به موارد زیر، اشاره کرد:

- ۱- از نظر محاسباتی کارآمد است.
- ۲- با تکنیکهای خطی به خوبی کار می‌کند.
- ۳- با آنالیز ریاضی به خوبی سازگار است.

<sup>37</sup> Mamdani and Assilian

<sup>38</sup> Takagi and Sugeno



شکل ۳-۱۱: مراحل اصلی در پیش‌بینی مقدار تخلخل با استفاده از مدل فازی (Kadkhodaie et al., 2006)

**۳-۳-۳-۳**- نگاهی، یه جمعه اینزار منطق فازی در نرم افزار متلب

ابزار اولیه برای ساخت و ویرایش سیستم استنتاج فازی می‌باشد، که عبارتند از: ابزار قابلیت انتقال سیستم فازی طراحی شده، به محیط سیمولینک وجود دارد. محیط گرافیکی GUI شامل پنج جعبه ابزار منطق فازی در نرم افزار متلب محیط گرافیکی برای ایجاد سیستم فازی فراهم می‌آورد. در این جعبه

- ویرايشگر FIS<sup>۳۹</sup>
  - ویرايشگر تابع عض
  - ویرايشگر قواعد
  - مشاهده گر قواعد
  - مشاهده گر رويه

<sup>39</sup> Fuzzy Inference System

برای باز کرد محیط گرافیکی دستور fuzzy را در خط فرمان بایستی اجرا کرد. در ویرایشگر FIS تنظیماتی از قبیل تعداد ورودی‌ها و خروجی‌ها و نام آنها مشخص می‌شود. بر روی تعداد متغیرها محدودیتی وجود ندارد و تنها عامل محدود کننده، حافظه کامپیوتر مورد استفاده است که عملیات پردازش را کند و حجم محاسبات را زیاد می‌نماید. بخش‌های مختلف یک سیستم فازی در شکل ۳-۱۲ نشان داده شده است. قابل ذکر است که ویرایشگر گرافیکی<sup>۴۰</sup> ANFIS نیز در این جعبه ابزار وجود دارد که برای ساخت و آنالیز سیستم نروفازی تطبیقی سوگنو استفاده می‌شود. برای مشاهده محیط گرافیکی نروفازی دستور anfisedit را در خط فرمان اجرا می‌کنیم.

### ۴-۳- سیستم های نروفازی

یکی از بزرگترین معایب سیستم‌های استنتاج فازی، دشواری و عدم دقیقت در انتخاب توابع عضویت و ایجاد قوانین فازی است، به ویژه در مواردی که دانش خبره و مهارت لازم در آن وجود ندارد. سیستم‌های نروفازی یکی از توانمندترین ابزارها برای تعیین قوانین فازی و تنظیم خودکار پارامترهای توابع می‌باشد (Matlab, 2007). بر خلاف سیستم‌های فازی که می‌توانند چندین خروجی داشته باشند، سیستم‌های نروفازی تنها با یک خروجی اجرا می‌شوند. در شکل ۳-۱۳ یک سیستم تطبیقی نروفازی نشان داده شده است که برای آموزش سیستم فازی از الگوریتم پس انتشار خطا استفاده می‌کند. در واقع شبکه‌های عصبی راه حل مناسبی برای تنظیم پارامترهای سیستم فازی بر اساس داده‌های مسئله فراهم می‌آورد.

### ۴-۱- محدودیتهای سیستم تطبیقی نروفازی

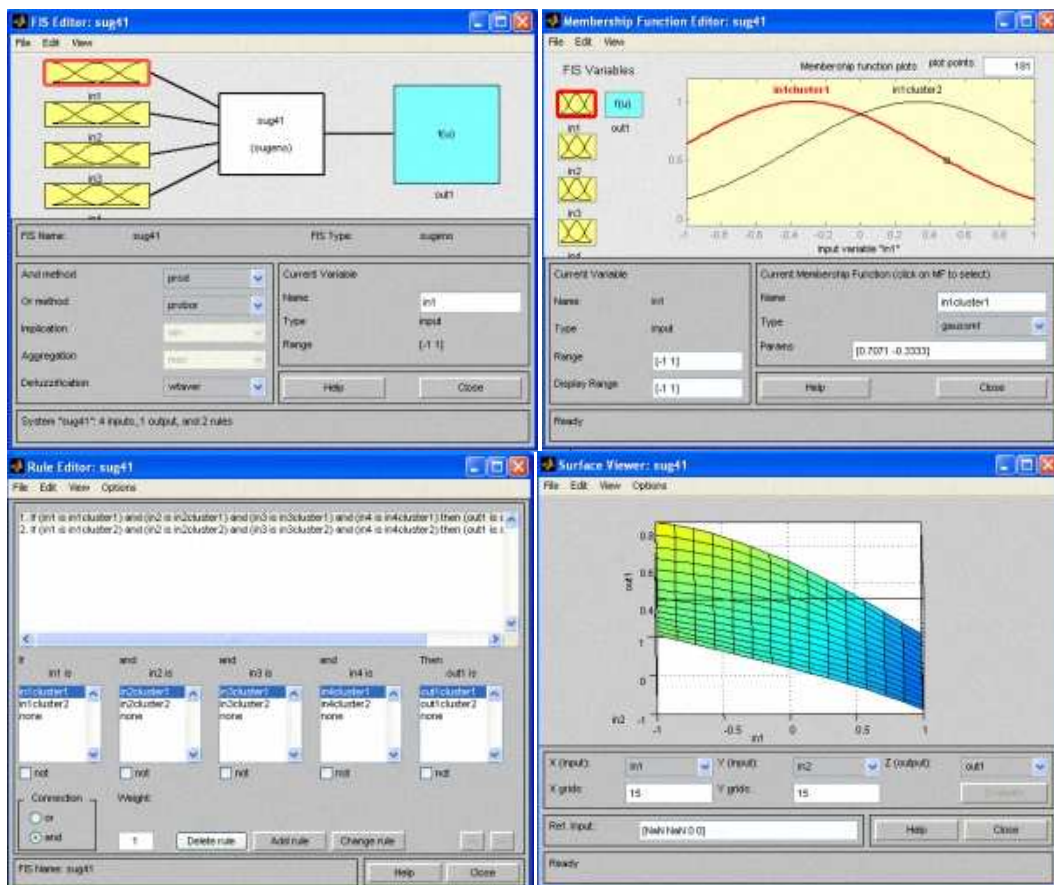
این سیستم‌ها دارای پیچیدگی بیشتری در مقایسه با سیستم‌های فازی هستند، که باعث محدودیتهای زیر می‌شود:

- ۱- فقط سیستم‌های فازی سوگنو را تحت پوشش قرار می‌دهد.

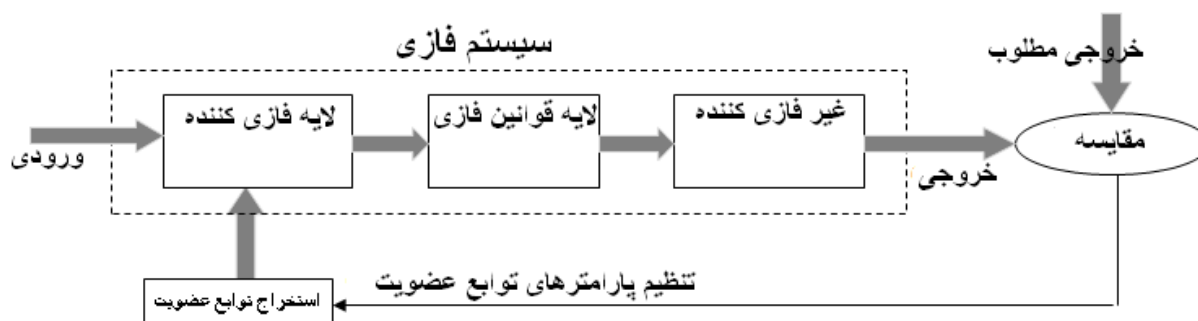
<sup>40</sup> Adaptive Neuro Fuzzy Inference System

۲- تنها یک خروجی دارند و همه توابع عضویت خروجی باید از نوع خطی یا ثابت باشند.

۳- قوانین فازی مختلف نمی‌توانند دارای توابع عضویت یکسانی برای خروجی باشند.



شکل ۱۲-۳: شکل شماتیک از چهار ابزار موجود در جعبه ابزار منطق فازی



شکل ۱۳-۳- عملکرد سیستم تطبیقی نروفازی برای تنظیم پارامترهای توابع عضویت

### ۳-۵- الگوریتم ژنتیک

الگوریتم ژنتیک روشی است، برای بهینه سازی مسائل محدود و نامحدود که با الهام از علوم زیستی و بر اساس فلسفه انتخاب بهترین ها در طبیعت بنا شده است (Holland, 1975). امروزه برای انتخاب بهترین تصمیم ها و راه حل ها در علوم مهندسی از الگوریتم ژنتیک و یا الگوریتم های مشابه با آن (کلونی مورچه، الگوریتم استعمار) استفاده میشود. در علوم مهندسی برای حل کردن مسئله، لازم است تا مسئله را به صورت تابع وابسته به پارامترهای مناسبی تعریف کنیم و سپس با بهره بردن از اصول الگوریتم ژنتیک مقدار بهینه تابع را مشخص می کنیم. در ادامه بعضی از اصطلاحات الگوریتم ژنتیک توضیح داده میشود (Matlab, 2007).

الف) تابع برازنده<sup>۴۱</sup>: تابع برازنده<sup>۴۱</sup> بیانگر رابطه‌ای است، که با استی مقادار بهینه آن محاسبه شود. این تابع با عنوان تابع هدف نیز شناخته میشود. عموماً مقدار کمینه این تابع به عنوان مقدار بهینه در نظر گرفته میشود.

ب) افراد<sup>۴۲</sup>: هر فرد نقطه‌ای است که می‌توان تابع هدف را بر آن اعمال کرد. مقدار تابع هدف برای هر فرد، نمره آن فرد محسوب میشود. به عنوان مثال اگر تابع هدف به صورت زیر تعریف شده باشد:

$$F(x_1, x_2) = (2x_1 + 1)^2 + (x_2 + 4)^2 \quad (3.6)$$

بردار (۱،۱) که طول آن برابر با تعداد متغیرهای مسئله است، یک فرد محسوب میشود و نمره این فرد هم ۳۴ می‌باشد. یک فرد گاهی با نام ژنوم و ورودی‌های بردار هر فرد، با نام ژن شناخته می‌شوند.

ج) جمعیت ها و نسلها<sup>۴۳</sup>: به گروهی از افراد جمعیت گفته میشود. در مسائل مهندسی که هدف حل کردن یک تابع است، برای معرفی کردن جمعیت از ماتریس استفاده میشود. به عنوان مثال اگر تعداد جمعیت برابر ۱۰۰ باشد و تعداد متغیرهای تابع هدف ۲ باشد، جمعیت با یک ماتریس ۱۰۰ ردیف و ۲ ستون نشان داده میشود.

<sup>41</sup> Fitness function

<sup>42</sup> Individuals

<sup>43</sup> Populations and generations

ممکن است در یک جمعیت، یک فرد ثابت بیشتر از یکبار وجود داشته باشد. در هر مرحله، الگوریتم ژنتیک تعدادی محاسبات بر روی جمعیت کنونی انجام می‌دهد تا جمعیت جدیدی را بوجود آورد. هر جمعیت متوالی را یک نسل گویند.

۴) والدین و فرزندان<sup>۴۴</sup>: برای تولید نسل بعدی، الگوریتم ژنتیک افراد مشخصی از نسل کنونی را انتخاب می‌کند که به این افراد والدین گفته می‌شود. از والدین برای تولید نسل بعدی استفاده می‌شود. نسل تولید شده را فرزندان می‌گویند. معمولاً الگوریتم ژنتیک والدینی را برای تولید نسل بعدی انتخاب می‌کند که مقدار تابع هدف در آنها کمتر باشد.

۵) تنوع<sup>۴۵</sup>: به میانگین فاصله بین افراد هر جمعیت پخشی گفته می‌شود. اگر میانگین فاصله بزرگ باشد جمعیت دارای پخشی زیادی خواهد بود. در الگوریتم ژنتیک مقدار این فاصله حائز اهمیت است زیرا به الگوریتم اجازه می‌دهد که محدوده بزرگتری از فضا را جستجو کند.

### ۳-۵-۱- مراحل کار الگوریتم ژنتیک

مراحل کار الگوریتم ژنتیک به ۴ بخش اصلی تقسیم می‌شود (Tamhane et al., 2000):

الف) الگوریتم با تولید یک جمعیت اولیه تصادفی شروع به کار می‌کند.  
ب) با محاسبه مقدار تابع هدف، به هر عضو جمعیت کنونی نمره می‌دهد و مقدار بدست آمده را نرمالیزه می‌کند تا در مقایسه مقادیر از مقیاس مشخصی استفاده کند.

ج) والدین را بر اساس مقدار تابع هدف انتخاب می‌کند. در این مرحله تعدادی از افراد جمعیت فعلی به عنوان نخبه انتخاب می‌شوند و مستقیماً به مرحله بعد می‌روند.

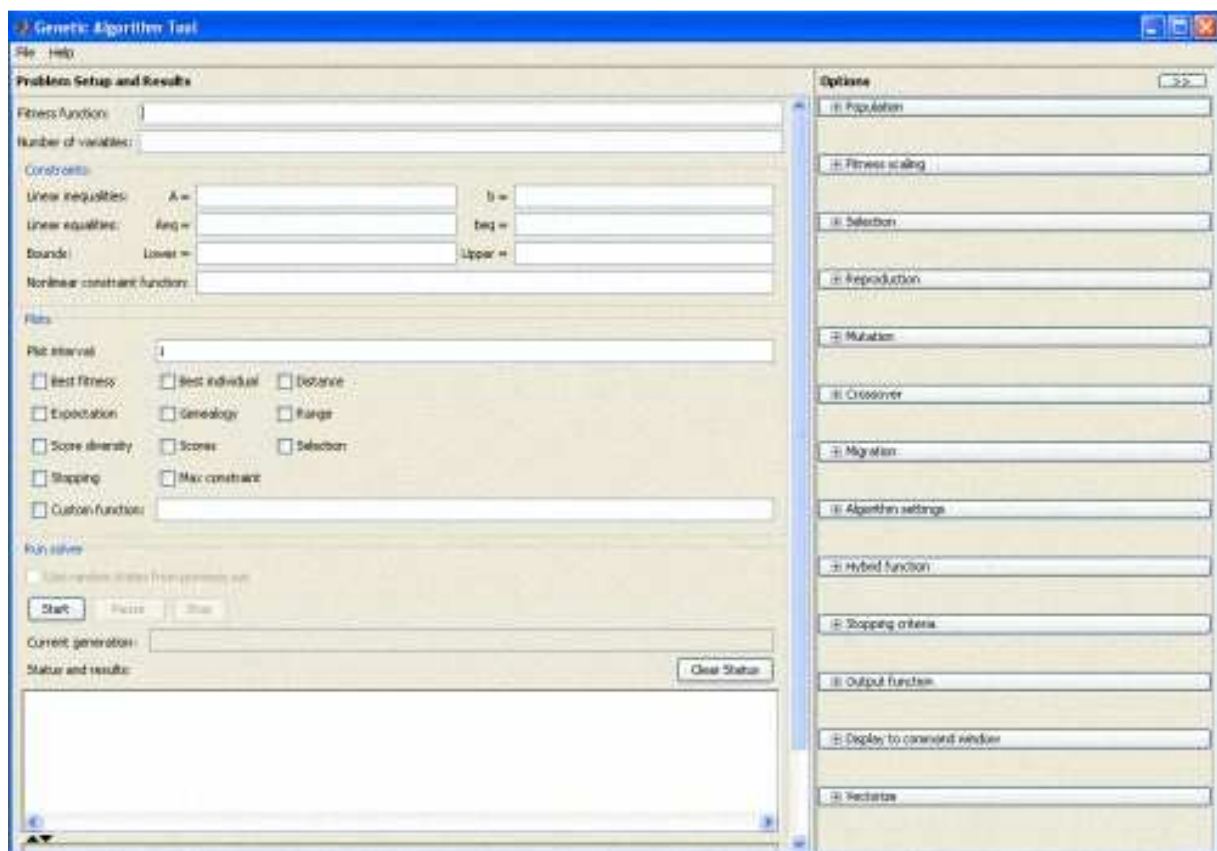
<sup>44</sup> Parents and children

<sup>45</sup> Diversity

د) از والدین انتخاب شده، فرزندان را تولید می‌کند. فرزندان یا به صورت جهش ( انجام تغییرات تصادفی روی یک والد) یا به صورت تقاطع ( ترکیب دو بردار ورودی از یک جفت والد) تولید می‌شوند. به این صورت نسل بعدی تولید می‌شود و مقدار تابع هدف برای این نسل نیز محاسبه می‌شود. هنگامیکه یکی از معیارهای توقف ( که در پیش فرض الگوریتم ژنتیک مشخص می‌شود) به وقوع بپیوندد، الگوریتم متوقف می‌شود و مقدار نهایی تابع هدف را مشخص می‌کند.

### ۳-۵-۲- نگاهی به جعبه ابزار الگوریتم ژنتیک در نرم افزار متلب

در نرم افزار متلب امکان استفاده از محیط گرافیکی برای الگوریتم ژنتیک نیز فراهم شده است. برای باز کردن این محیط گرافیکی بایستی عبارت gatool را در خط فرمان اجرا کرد. با اجرای این دستور پنجره الگوریتم ژنتیک مانند شکل ۱۴-۳ باز خواهد شد. در بخش تابع هدف بایستی این تابع را به برنامه معرفی کنیم. این تابع به صورت @fitnessfun معرفی می‌شود. این تابع در یک m.file تعریف می‌شود. علامت @ ارتباط با تابع تعریف شده در m.flie را ایجاد می‌کند. در قسمت دیگر تعداد متغیر ها یا همان طول بردار ورودی برای تابع هدف مشخص می‌شود. می‌توان برای اجرا الگوریتم ژنتیک از پیش فرض های جعبه ابزار استفاده کرد. برای تغییر این پیش فرضها می‌توان از قسمت option استفاده کرد.



شکل ۱۴-۳: محیط گرافیکی الگوریتم ژنتیک در نرم افزار متلب

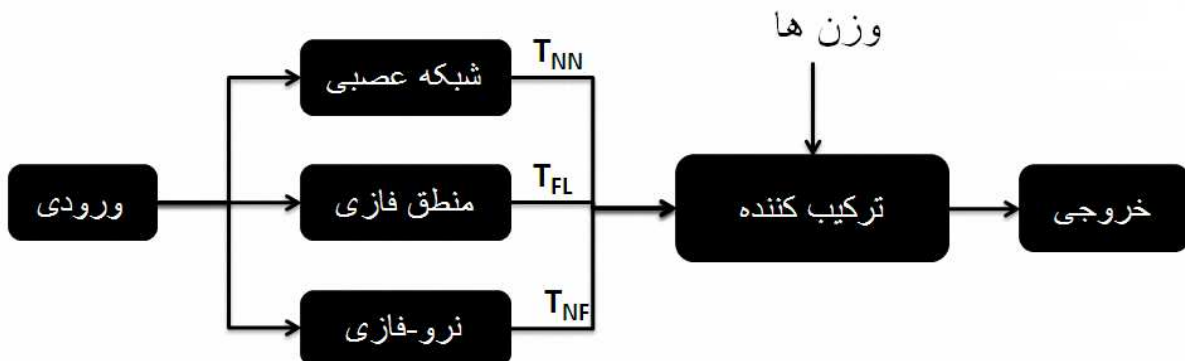
### ۳-۶-۳- ماشین کمیته مبتنی بر سیستم های هوشمند<sup>۴۶</sup>

در علوم مهندسی برای حل مسائل و توابع پیچیده، از اصلی به نام تقسیم و تسهیل<sup>۴۷</sup> استفاده می‌شود. بر پایه این اصل، یک مسئله پیچیده به چندین مسئله ساده‌تر تقسیم می‌شود و بدای حل کردن یک مسئله دشوار چندین مسئله آسانتر حل می‌شود و در نهایت با ترکیب پاسخهای بدست آمده به پاسخ مسئله اصلی و اولیه می‌رسیم. در مورد تکنیکهای هوش مصنوعی نیز می‌توان از همین تکنیک برای رسیدن به پاسخ دقیق تر و نزدیک‌تر به واقعیت استفاده کرد. برای این منظور جواب بدست آمده از هریک از تکنیکهای هوش مصنوعی (شامل شبکه عصبی، منطق فازی و سیستم تطبیقی نروفازی) را با هم ترکیب می‌کنند، که به این

<sup>46</sup> Committee machine with intelligent system

<sup>47</sup> Principle of divide and conquer

فرآیند اصطلاحاً تشکیل ماشین کمیته گفته میشود. این فرآیند باعث میشود تا مزایای هریک از روش‌ها در کنار هم قرار گرفته و دقیقترین جواب بدست آید (Kadkhodaie et al., 2008). در شکل زیر فلوچارتی از عملکرد یک ماشین کمیته نشان داده شده است.



شکل ۳: فلوچارتی از عملکرد ماشین کمیته

برای ترکیب پاسخهای بدست آمده از تکنیکهای مستقل هوش مصنوعی دو نوع ماشین کمیته پیشنهاد میشود: نوع اول میانگین گرفتن از پاسخ تکنیکها میباشد که به آن میانگین گیری ساده گفته میشود. در این روش سهم هریک از تکنیکها (شبکه عصبی، منطق فازی و نرو-فازی) در تولید خروجی نهایی با هم برابر است (Chen and Lin, 2006). در روش دوم از الگوریتم ژنتیک برای تولید بهترین ترکیب و ایجاد جواب دقیق استفاده میشود. مسلماً این روش نسبت به میانگین گیری ساده جواب دقیق تری ارائه میکند. در این روش، لزوماً سهم هریک از تکنیکها در تولید خروجی نهایی یکسان نمیباشد. برای ایجاد این نوع ماشین کمیته لازم است تابعی تعريف شود. این تابع در حقیقت، تابع هدف برای الگوریتم ژنتیک است. در مطالعه حاضر تابع ماشین کمیته به صورت زیر تعريف شده است، که در واقع تابع خطای میباشد که بایستی مینیمم شود.

$$MSE = \frac{1}{n} \sum_{i=1}^n (W_1 \times NN_i + W_2 \times FL_i + W_3 \times NF_i - T_i)^2 \quad (3.7)$$

که در آن  $W_1$ ,  $W_2$ ,  $W_3$  مشخص کننده مقدار سهم هریک از سیستم های هوشمند در تولید خروجی نهایی و  $T_n$  نیز مقدار خروجی واقعی و  $n$  تعداد داده های استفاده شده برای آموزش سیستم های هوشمند را نشان می دهد. مقدار بهینه این تابع را با استفاده از الگوریتم ژنتیک مشخص می کنیم که این مقدار، خطای ماشین کمیته را نشان می دهد. با استفاده از الگوریتم ژنتیک می توان سهم هریک از تکنیکها در تولید خروجی نهایی را نیز مشخص کرد.

#### <sup>۴۸</sup>- ۷-۳- پردازش تصویر

پردازش تصویر در واقع مقدمه ای برای رسیدن به بینایی ماشین<sup>۴۹</sup> می باشد. ماشین بینایی همانطور که از نام آن پیداست، ابزاری برای تشخیص الگوهای<sup>۵۰</sup> مختلف است. در پروسه ماشین بینایی انسان دخالت مستقیم ندارد و ماشین یا ربات بر اساس پارامترها، مشخصه ها و ویژگی هایی که از قبل برای آن تعریف شده است، یک شیء خاص را از بقیه جدا می کند. امروزه از ماشین بینایی در علوم مختلف استفاده می شود. به عنوان مثال سیستمها و رباتهای هوشمندی برای تشخیص اثر انگشت، رنگ چشم، تشخیص دست خط، اعداد و ... طراحی شده اند. پایه و اساس ماشین بینایی را پردازش تصویر تشکیل می دهد.

#### ۱-۷-۳- تصویر دیجیتال

یک تصویر دیجیتال، ماتریس دو بعدی (در مورد تصاویر رنگی، سه بعدی) از اعداد حقیقی، صحیح و یا باینری است. هر عنصر از این ماتریس پیکسل نام دارد. پیکسل ها واحد اطلاعاتی یک تصویر هستند. در حقیقت میتوان گفت، یک تصویر دیجیتال، یک سیگنال دیجیتال دو بعدی است. اطلاعات پیکسلهای مختلف تصویر عموماً در ساختارهای استانداردی در داخل یک فایل دیجیتال به دنبال هم چیده می شوند. در استانداردهای مختلف ذخیره سازی تصویر، مانند tif, bmp و png مقادیر پیکسل ها و یا ضرایب تبدیل متناظر با آنها به اشکال

<sup>48</sup> Image processing

<sup>49</sup> Machine vision

<sup>50</sup> Pattern recognition

و گونه های مختلفی در داخل یک فایل قرار می گیرند. هر پیکسل از یک تصویر دیجیتال، معرف میزان روشنایی آن نقطه از تصویر است. با توجه به حساسیت چشم انسان در تشخیص سطوح روشنایی، کل محدوده روشنایی قابل نمایش به ۲۵۶ سطح تقسیم بندی میشود. سطح روشنایی هر پیکسل می تواند مقداری بین ۰ تا ۲۵۵ داشته باشد.

### ۲-۷-۳- مطالعه سیستم منافذ با استفاده از تحلیل تصاویر

مراحل مختلف مطالعه منافذ به روش تحلیل تصاویر به شرح ذیل می باشد:

۱- تهیه مقاطع نازک با اپوکسی آبی رنگ

۲- تهیه تصاویر از مقاطع نازک

۳- قطعه بندی<sup>۵۱</sup> تصویر

۴- استخراج ویژگی های هندسی لازم برای تشخیص الگو

۵- استفاده از روش های رد بندی برای تفکیک الگوها

### ۲-۷-۳-۱- تهیه مقاطع نازک با اپوکسی آبی رنگ

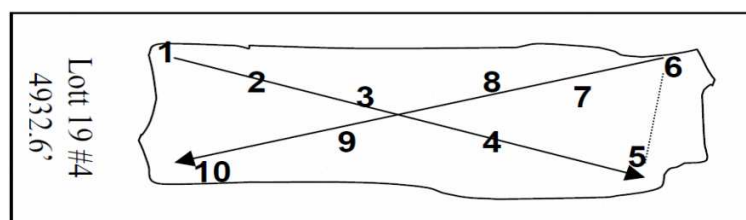
جهت تهیه مقاطع اشباع شده از اپوکسی آبی رنگ، یک سری مراحل باید طی شود. ابتدا باید محلول اپوکسی آبی تهیه شود که ترکیبی از ۳۰۰ میلی گرم پودر اپوکسی و ۹۰ میلی گرم استن می باشد. نمونه های مورد نظر را در داخل پوششی از کاغذ آلومینیوم قرار داده و سپس محلولی مورد نظر را به آن اضافه می کنند سطح محلول باید به گونه ای باشد که نمونه در آن غرق نشود. آنگاه در طی چند ساعت نمونه ها را در محفظه ای در حالت خلا قرار داده تا اپوکسی در آنها نفوذ کند، به این ترتیب نمونه آغشته به اپوکسی آبی رنگ تهیه میشود. برای تهیه مقاطع نازک نیز شبیه مقاطع معمولی عمل میشود با این تفاوت که از سمباده نرمتری برای سایش نمونه استفاده میشود (شمس نیا، ۱۳۸۵). مزیتی که استفاده از اپوکسی آبی رنگ دارد

<sup>۵۱</sup> Segmentation

این است که احتمال کمی می‌رود که اجزای سنگ به طور طبیعی آبی رنگ باشد و به راحتی می‌توان عناصر تخلخل را از سایر اجزای سنگ در مقاطع تشخیص داد (Ehrlich et al., 1991).

### ۲-۲-۷-۳ - تهیه تصاویر از مقاطع نازک

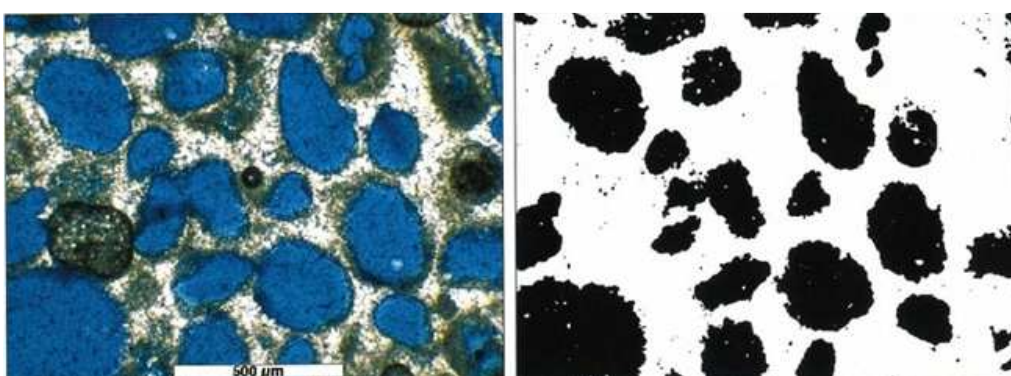
تصاویر با استفاده از میکروسکوپ مجهر به دوربین دیجیتال تهیه می‌گردد، که دوربین به وسیله کابلی به کامپیوتر متصل شده و توسط نرم افزار در کامپیوتر قابل نمایش می‌شود و به عنوان یک فایل قابل ذخیره است. برای تعیین بزرگنمایی تصاویری که از مقاطع نازک بدست می‌آید باید دقت زیادی داشته باشیم، چون در بزرگنمایی‌های بالا بیشتر به بررسی ریزتخلخل‌ها پرداخته می‌شود و بنابراین درشت تخلخل‌ها بزرگتر از حد معمول تخمین زده می‌شوند و کاهش در بزرگنمایی هم میزان جزئیات فضای بین دانه و تخلخل را کاهش می‌دهد (Ehrlich et al., 1991). در مطالعه حاضر بعد از بررسی بزرگنمایی‌های مختلف به این نتیجه رسیدیم که بزرگنمایی  $12.5X$  بهترین تصویر را از سنگ فراهم می‌آورد. این بزرگنمایی با عدسی شئی  $1.25X$  و عدسی چشمی  $10X$  بدست می‌آید. در این مطالعه از مقاطع نازک به طور متوسط ۱۰ عدد تصویر گرفته شده است. جهت اطمینان از پوشش سطح مقاطع، تصاویر با یک نظم خاص در یک شبکه بندی تهیه گردید. شکل زیر روند عکس گرفتن از هر مقطع را نشان می‌دهد.



شکل ۱۴-۳: روند تهیه عکس از هر مقطع

## ۳-۲-۳- قطعه بندی تصویر

این مرحله شامل توصیف مقدماتی و شناخت اولیه از فضاهای خالی و جداسازی آنها از سایر بخش‌های تصویر است. با این هدف تصویر به دو بخش تقسیم می‌شود، که به این کار قطعه بندی گفته می‌شود. قطعه بندی تصویر عبارت است از، جدا کردن پیکسل هایی از تصویر که به گروه یا شاخه خاصی از اشیاء اختصاص دارند (Martinez et al., 2007). در این مطالعه هدف جدا کردن فضاهای خالی از سایر بخش‌های سنگ است و در نتیجه خروجی این مرحله یک تصویر سیاه و سفید خواهد بود که فضاهای خالی به رنگ یکدست سیاه و سایر بخش‌های سنگ، سفید نشان داده می‌شود. برای بهتر مشخص شدن مفهوم دوتایی سازی به شکل ۱۷-۳ دقت شود.



شکل ۱۷-۳: شکل سمت راست، قطعه بندی شده تصویر سمت چپ است

در این شکل در سمت چپ تصویر تهیه شده از میکروسکوپ نوری و در سمت راست همان تصویر بعد از اعمال فرایند دوتایی سازی آمده است. در تصویر سمت راست بخش‌های آبی رنگ نشان دهنده خلل و فرج و در تصویر سمت راست همان بخشها به رنگ تیره در آمده‌اند.

## ۴-۲-۷-۳- استخراج ویژگی‌های هندسی لازم برای تشخیص الگو

در مرحله چهارم تصویر سیاه و سفید را برای استخراج مشخصه‌های ویژه ای آنالیز می‌کنند (یا در صورتیکه هدف مطالعه رنگی پیکسل‌ها باشد با اندیس گذاری پیکسل‌های مورد نظر آنها را به سیستم معرفی می‌کنند) این مشخصه‌ها باید به نحوی انتخاب و محاسبه شوند که کامپیوتر بتواند یک الگو را تشخیص دهد. الگو، ترتیب یا

نمایشی از اشیا، اشکال یا اطلاعات است، به نحوی که در آن می‌توان ساختار و نظمی مشخص را پیدا کرد . میتوان گفت که جهان مجموعه ای است از الگوهای مختلف. الگو بیان توصیفی یا کمی یک شی یا هر چیز دیگر است. مجموعه ای از الگوها که یک خاصیت مشترک دارند، یک کلاس الگو را مشخص می نمایند (Theodoridis, 2003). تشخیص الگو نیز در واقع عملکرد خودکار تکنیک هایی است که هر الگو را به کلاس آن تشخیص می دهند.

### ۳-۷-۵- استفاده از روش‌های بندی برای تفکیک الگوها

مرحله آخر در پردازش تصویر، دسته بندی کردن اشیاء مورد نظر می باشد. در این مرحله مشخص می شود که هر الگو به چه دسته ای تعلق دارد. معلم نیز بیانگر یک سیستم ناظری است که آموزش اولیه الگوریتم را بر عهده دارد. در واقع یک الگوریتم تشخیص الگو از ابتدا قادر به تفکیک کلاس های مختلف نیست و لازم است آموزش داده شود. آموزش زمانی پایان می پذیرد که الگوریتم در یک آزمون به درستی کار دسته بندی الگوها به کلاس های مختلف را انجام دهد. آنگاه از این الگوریتم به عنوان یک سیستم متخصص در کار دسته بندی الگوهایی از همان نوع استفاده می شود. در هر مساله تشخیص الگو، جنس ویژگی هایی که باید استخراج شود، پیش پردازش داده ها و نوع الگوریتم تصمیم گیری توسط مشخصات مساله معین می شود. سیستم طبقه بندی داده در یک مساله تشخیص الگو، ممکن است به یکی از دو شکل ذیل صورت گیرد:

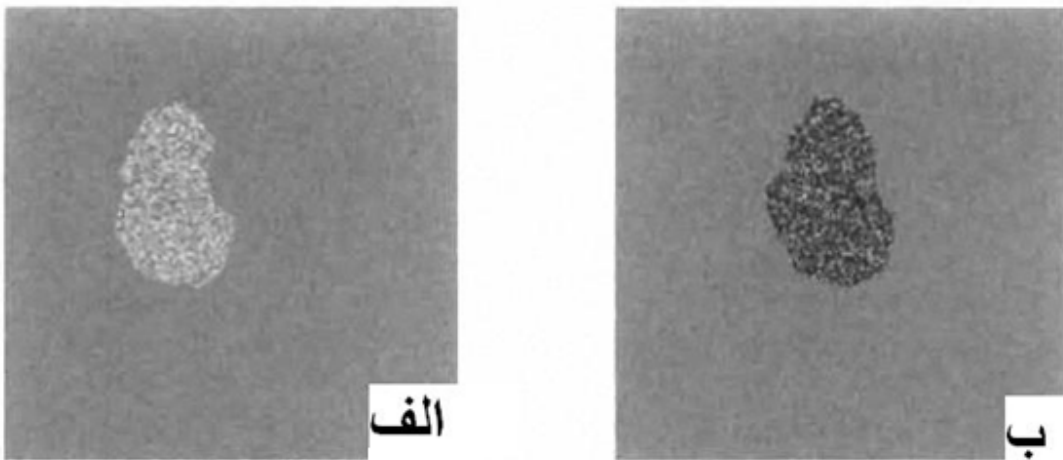
الف) آموزش ناظر شده، که در آن الگو به یکی از کلاس های مشخص نگاشته می شود . در این نوع آموزش، ابتدا ورودی ها در اختیار الگوریتم دسته بندی قرار داده میشود . پس از آنکه شبکه الگو را به یکی از کلاس ها تشخیص داد، جواب درست در اختیار سیستم قرار می گیرد. بدین ترتیب الگوریتم دسته بندی امکان می یابد تا خطای خود را دریابد و اصلاح نماید. نمونه ای از انواع این آموزش در نرم افزار متلب تحت عنوان آنالیز تفکیک کننده<sup>۵۲</sup> آمده است. بخش اصلی این آنالیزها تابع تفکیک کننده<sup>۵۳</sup> می باشد (Matlab, 2007).

<sup>52</sup> Discriminate analysis

ب) آموزش نظارت نشده<sup>۵۴</sup>، که در آن دسته های از پیش تعیین شده ای وجود ندارد و سیستم فقط الگو را در فضای ویژگی ها می نگارد یا به عبارت دیگر عمل خوشه یابی را انجام می دهد. در این نوع، جواب صحیح به سیستم داده نمی شود و تنها اطلاعاتی که سیستم دریافت می کند، بردارهای ورودی هستند. درخت تصمیم گیری<sup>۵۵</sup> از انواع این نوع آموزش میباشد (Theodoridis, 2003).

بردارهای ورودی بایستی بازتاب مناسبی از مشخصه های شکل هندسی یا بافت باشند. در صورتیکه هدف از پردازش یک تصویر استخراج پارامترهایی وابسته به رنگ پیکسل باشد (مثل جدا کردن پیریت و طلا در تصاویر مقاطع صیقلی) مراحل ذکر شده برای آنالیز تصویر با اندکی تغییرات انجام میشود و گاهی تصویر به سیاه و سفید تبدیل نمی شود. استخراج بردار ورودی مناسب، در تشخیص الگو برای مرحله بعد بسیار حیاتی است و دقیق توجه شود: این دو عکس مربوط به یک مطالعه پزشکی برای تشخیص بافت سلولی سرطانی می باشد.

شکل ۱۸-۳(الف) بافت سلولی سالم و شکل ۱۸-۳(ب) بافت سلولی سرطانی را نشان می دهد. در شکل ۱۹-۳ مقدار میانگین و انحراف معیار شدت رنگ برای دو نوع بافت سالم و سرطانی آمده است.



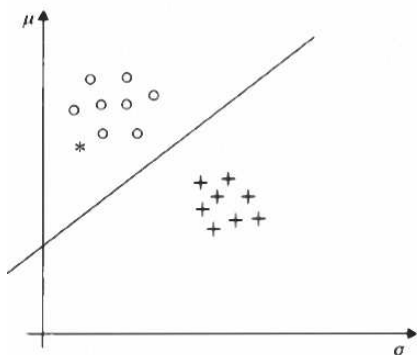
<sup>۵۳</sup> Discriminate function

<sup>۵۴</sup> Unsupervised

<sup>۵۵</sup> Decision tree

شکل ۳-۱۸: بافت سلولی سالم بافت (الف) و بافت سلولی سرطانی (ب) (Theodoridis, 2003).

همانطور که از شکل ۳-۱۹ مشخص است، با استخراج دو مشخصه  $\mu$  میانگین و انحراف معیار شدت رنگ، توانستیم دو بافت را از هم جدا کنیم. در پاره ای مسائل تنها با تکیه بر این تعداد مشخصه و رنگ پیکسل نمی‌توان اشیاء را از هم جدا کرد و لازم است تا پارامترهای شکل هندسی و بافت نیز استفاده شود.



شکل ۳-۱۹: مقدار میانگین و انحراف معیار شدت رنگ برای دو نوع بافت سالم و سرطانی (Theodoridis, 2003).

با کنار هم گذاشتن مشخصه های استخراج شده برای هر شیء، بردار مشخصه های آن شیء ایجاد میشود. بردار  $X$ ، بردار مشخصه شیء با  $L$  مشخصه می‌باشد.

$$X = [x_1, x_2 \dots x_L]$$

در نمودار زیر خط مستقیم نقش دسته‌بندی کننده را دارد. در این مثال خط راست دو نوع بافت را از هم تفکیک کرده است، ولی در صورتیکه پراکندگی نقاط نامنظم باشد و هم پوشانی بین نقاط وجود داشته باشد، این خط راست نمی‌تواند تقسیم بندی مناسبی انجام دهد و شاید یک منحنی عملکرد بهتری داشته باشد. در مطالعه حاضر، رده بندی فضاهای خالی موجود در تصاویر مقاطع نازک انجام شده است. این رده بندی بر اساس مشخصه های رنگی امکان پذیر نمی‌باشد و ناگزیر از مشخصه های هندسی استفاده شده است. فضاهای خالی سنگ در واقع اشکال هندسی با شکل های نامنظم و پیچیده‌ای می‌باشند که شکل آنها از نظم خاصی تبعیت نمی‌کند.

## فصل چهارم:

پیش بینی تخلخل و تراوایی و ارائه الگوریتم خودکار  
برای تفکیک فضاهای خالی

## فصل چهارم: پیش بینی تخلخل و تراوایی و ارائه الگوریتم خودکار برای تفکیک فضاهای

خالی

### ۱-۴ - مقدمه

مقاطع نازک حاوی اطلاعات گستردگی‌های، در مورد سنگ می باشند. این مقاطع در بر گیرنده انواع مختلف کانی‌ها، مشخص کننده انواع مختلف فضاهای خالی و شکستگی‌ها، انواع مختلف میکرو و ماکرو فسیلهای، وضعیت دانه‌بندی سنگ و ... هستند. با توجه به این مطلب مطالعه حاضر به دو بخش تقسیم شده است: در بخش اول تلاش شده است تا مدلی برای پیش بینی تخلخل و تراوایی با استفاده از مطالعه پتروگرافی و آنالیز تصویر مقاطع نازک ارائه شود. این مدل بدون نیاز به آزمایشگاه و دستگاه‌های پیشرفته آنالیز مغزه، باعث کاهش در زمان و هزینه مطالعات مخزنی می‌شود و در عین حال شناخت دقیقی از خواص سنگ مخزن ارائه می‌نماید. همچنین استفاده از این مدل برای پیش بینی خصوصیات مخزنی در میادین قدیمی که غالباً مغزه‌ها به دلیل هوازدگی خواص اولیه خود را از دست داده و فقط نتایج مطالعات پتروگرافی آنها در دسترس است، نیز مفید خواهد بود. یکی دیگر از کاربردهای مطالعات پتروگرافی و آنالیز تصویر، شناخت پارامترهایی همچون نوع فضاهای خالی و خلل و فرجهای سنگ، تفکیک تخلخل مفید و غیر مفید، کانی شناسی، تعیین مقدار و نوع سیمان سنگ و ... می‌باشد. این مطالعات در ارائه شناخت از ارتباط بین فضاهای خالی و تاثیر آن بر حرکت سیال در سنگ مفید می‌باشد. در بخش دوم این مطالعه، تلاش شده است تا بر پایه روش‌های تشخیص الگو، الگوریتمی خودکار برای تفکیک انواع فضاهای خالی و تعیین تخلخل مفید و غیر مفید ارائه شود. این الگوریتم برای شناسایی و رده بندی فضاهای خالی سنگ مخزن و مطالعه کمی و دقیق پارامترهای پتروگرافی مفید می‌باشد.

#### ۴-۲-۴- آماده سازی داده ها

##### ۴-۲-۱- داده ها لازم برای تخمین تخلخل و تراوایی

داده های مورد استفاده در این پژوهه با مطالعه و آنالیز تصاویر گرفته شده با بزرگنمایی  $12.5X$  از مقاطع نازک اشباع با اپوکسی آبی استخراج شده‌اند. برای ارائه مدل پیش بینی تخلخل و تراوایی (خروجی‌های سیستم هوشمند) از دوازده ویژگی پتروگرافی (ورودی‌های سیستم هوشمند) استفاده شد. برای استخراج این ویژگی‌ها از نرم افزار Image Pro Plus و جعبه ابزار آنالیز تصویر در نرم افزار متلب استفاده شده است. ویژگی‌های پتروگرافی استخراج شده از هر تصویر عبارتند از:

۱- مقدار تخلخل بین دانه‌ای و بین کریستالی

۲- مقدار تخلخل درون دانه‌ای

۳- مقدار تخلخل قالبی

۴- مقدار ریز تخلخل

۵- مقدار تخلخل نوری

۶- مقدار سیمان

۷- مقدار آهک

۸- مقدار دولومیت

۹- مقدار انیدریت

۱۰- نوع بافت

۱۱- میانگین ضریب شکل هندسی<sup>۵۶</sup> فضاهای خالی

۱۲- نوع سنگ

<sup>۵۶</sup> Geometrical shape coefficient

## فصل چهارم پیش‌بینی تخلخل و تراوایی و ارائه الگوریتم خودکار برای تفکیک فضاهای خالی

از آنجایی که از هر مقطع بیش از ده تصویر گرفته شده، پارامترهای ذکر شده در هر تصویر محاسبه و مقدار میانگین آن را برای کل مقطع در نظر گرفته‌ایم.

یکی از پارامترهای مطالعه شده در مقاطع نازک نوع بافت سنگ می‌باشد. با توجه به رده بندی دانهام، مقاطع مطالعه شده به چهار نوع بافت مادستون، وکستون، پکستون و گرینستون تقسیم شده‌اند و برای معرفی به سیستم‌های هوشمند به ترتیب با اعداد ۴، ۳، ۲ و ۱ کدگذاری شده‌اند.

شکل هندسی فضاهای خالی تاثیر بسزایی بر عملکرد سنگ مخزن دارد. به عنوان مثال خلل و فرجهای کشیده و دراز تاثیر متفاوتی نسبت به خلل و فرجهای دایره‌ای و گرد بر خواص فیزیکی سنگ دارند. در این مطالعه سعی شده است تا از نسبت محیط به مساحت فضاهای خالی استفاده شود. در محیط دو بعدی فضای گرد دارای نسبت محیط به مساحت مقدار پایین و یک فضای دراز و کشیده، مثل شکستگی‌ها موجود در سنگ، دارای مقدار بالایی از این نسبت است. ضریب شکل هندسی نسبت نرمالیز شده‌ای از محیط فضای خالی به مساحت آن می‌باشد. مهمترین استفاده از نسبت محیط به مساحت برای مطالعه اتصال فضاهای خالی به هم است که نشان می‌دهد که فضاهای پیچیده دارای خلل و فرجهایی با شکل هندسی هستند که وضعیت مناسب‌تری برای ایجاد یک شبکه متصل بهم دارد. برای نشان دادن این نسبت مربع محیط را بر مساحت تقسیم و آنرا به گونه نرمال سازی می‌کنیم که مقدار این نسبت برای یک شکل دایره‌ای یک شود. این نسبت بدون بعد است و آنرا با  $\gamma$  نشان می‌دهیم.

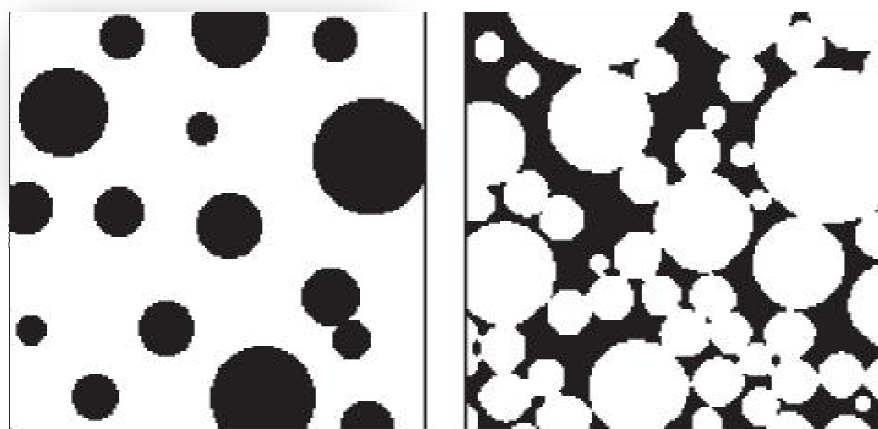
$$\gamma = \frac{\text{محیط}^2}{4\pi \times \text{مساحت}} \quad (4.1)$$

برای بدست آوردن مقدار میانگین ضریب شکل هندسی برای هر تصویر از فرمول استفاده شده است.

$$\gamma_{mean} = \frac{\sum_i (A_i \times \gamma_i)}{\sum_i A_i} \quad (4.2)$$

## فصل چهارم پیش بینی تخلخل و تراوایی و ارائه الگوریتم خودکار برای تفکیک فضاهای خالی

در این فرمول  $A_i$  مساحت فضای خالی ۱ ام می‌باشد و باعث می‌شود تا در یک نمونه که میکروپراسیتی مقدار بالایی است، فضاهای خالی کوچک تاثیر قابل ملاحظه‌ای برای ضریب شکل هندسی مقطع نداشته باشد، چرا که عامل اصلی تعیین کننده برای ضریب شکل هندسی از شکل هندسی فضاهای ماکرو حاصل می‌شود (Anselmetti et al., 1998). مفاهیم بیان شده در این بخش برای شکل هندسی در شکل ۴-۱ توضیح داده شده است. در این شکل فضاهای خالی سنگ به رنگ سیاه و سایر بخش‌های سنگ به رنگ سفید نمایش داده شده‌اند.



شکل ۴-۱: تفاوت شکل هندسی فضاهای خالی ایزوله و فضاهای بهم پیوسته

بر اساس میانگین اندازه دانه‌های تشکیل دهنده سنگ و مقدار ماتریکس چهار نوع سنگ تعریف شده است. در جدول زیر فاکتورهای تعریف چهار نوع سنگ آمده است.

جدول ۴-۱: بازه تغییرات مقدار ماتریکس و اندازه دانه‌ها در مقاطع مطالعه شده

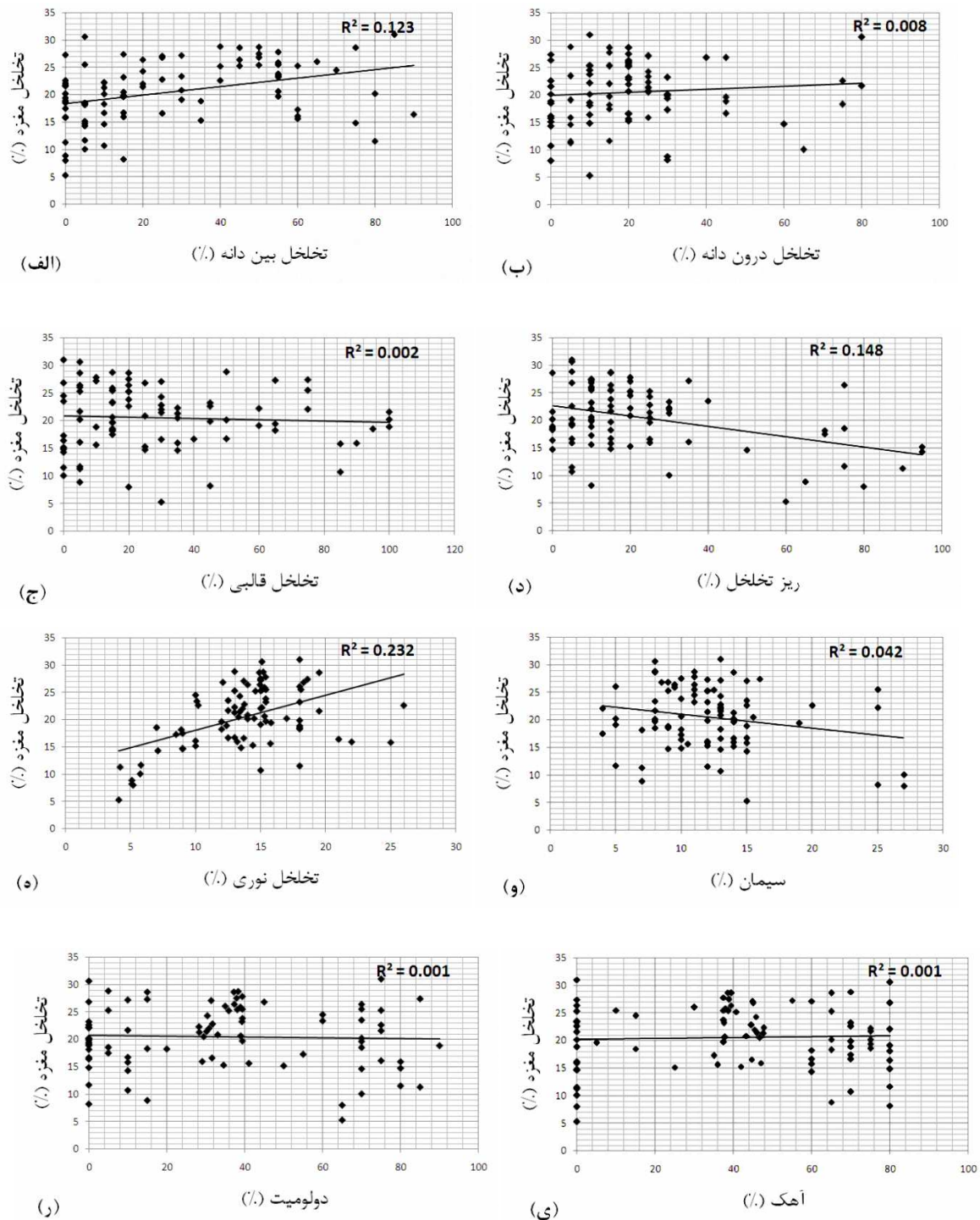
نوع سنگ	میانگین اندازه قطر دانه‌ها	مقدار ماتریکس و گل قابل مشاهده
نوع اول	بیشتر از ۴۰۰ میکرومتر	کمتر از ۱۵ درصد
نوع دوم	بیشتر از ۴۰۰ میکرومتر	بیشتر از ۱۵ درصد
نوع سوم	کمتر از ۴۰۰ میکرومتر	کمتر از ۱۵ درصد
نوع چهارم	کمتر از ۴۰۰ میکرومتر	بیشتر از ۱۵ درصد

#### ۴-۲-۲-۴- انتخاب داده‌های آموزشی مناسب

یک مجموعه آموزشی مناسب برای سیستم‌های هوشمند شامل، داده‌های ورودی و خروجی متناظر با آن می‌باشد. انتخاب یک مجموعه آموزشی مناسب، از اهمیت زیادی برخوردار است و باید دامنه مناسبی از داده‌ها را در برگیرد، چرا که پاسخ نهایی سیستم هوشمند مستقیماً تابع مثال‌های آموزشی است. مجموعه آموزشی باقیستی از دامنه مقادیر متغیرهای پیوسته و ناپیوسته و یا همچنین از تک‌تک دسته‌های متغیرهای رسته‌ای انتخاب شود. هرچه تعداد متغیرهای ورودی شبکه بیشتر باشد به مجموعه آموزشی وسیعتری نیاز است تا سیستم بتواند الگوی بهتری را تشخیص دهد. زمان لازم برای آموزش سیستم تابعی از تعداد متغیرهای آموزشی می‌باشد و هر چه تعداد متغیرهای ورودی بیشتر باشد، زمان افزایش می‌یابد. زیاد بودن تعداد متغیرها علاوه بر افزایش زمان مشکل دیگری نیز ایجاد می‌کند و احتمال ایجاد مدل نامناسب می‌باشد. در چنین مواردی حذف متغیرهایی که اثر مثبت و معنی داری در پیش‌بینی سیستم ندارند، نقش بسزایی در افزایش دقت دارد. در بسیاری از مثال‌های آموزشی پوشش دادن مناسب ورودی‌ها موجب پوشش مناسب برای خروجی نیز می‌شود. در این مطالعه برای پیش‌بینی تخلخل و تراوایی تعداد دوازده ویژگی پتروگرافی از تصاویر گرفته شده از مقاطع نازک استخراج شد. در مرحله اول روند تغییرات هریک از این پارامترها را به صورت یک به یک با تخلخل و تراوایی مورد بررسی قرار داده شد و مقدار ضریب همبستگی برای آن مشخص و بر اساس مقدار ضریب همبستگی رده بنده شده‌اند. واضح است که ویژگی‌های با ضریب همبستگی بیشتر تاثیر بیشتری در تخلخل و تراوایی خواهند داشت. در شکلهای ۴-۳ و ۴-۲ ضریب همبستگی تخلخل و تراوایی با هریک از این پارامترها آمده است.

## فصل چهارم

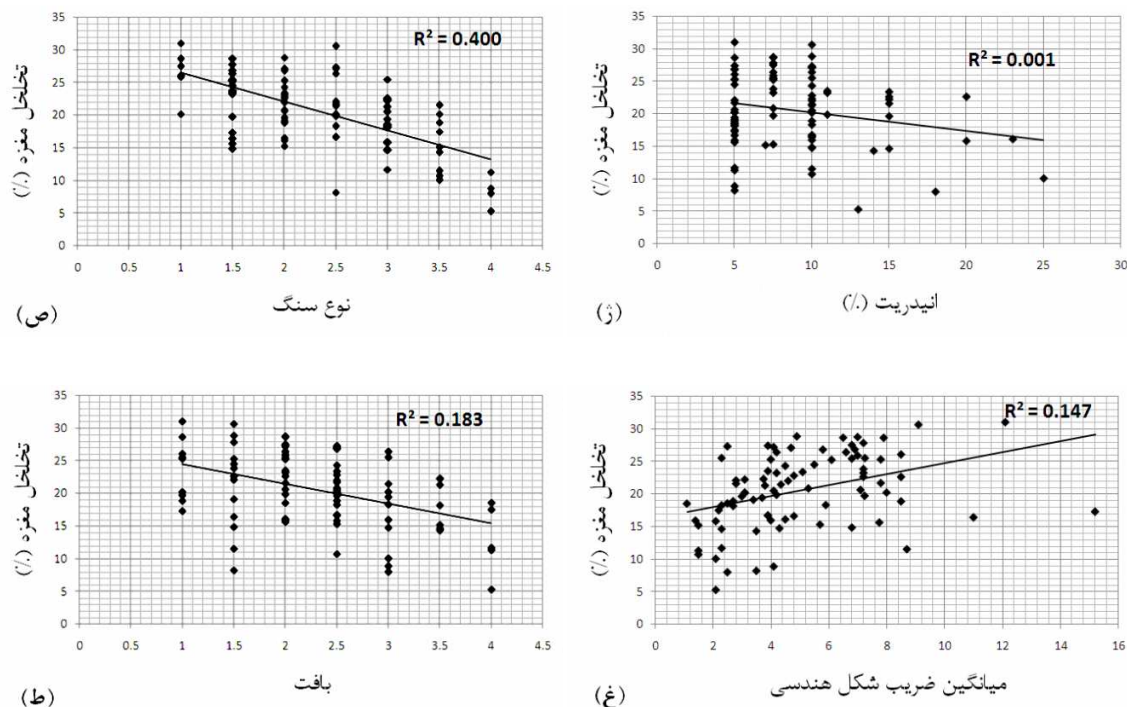
### پیش بینی تخلخل و تراوایی و ارائه الگوریتم خودکار برای تفکیک فضاهای خالی



شکل ۴-۲: نمودار رابطه بین تخلخل مفرزه و تخلخل بین دانهای (الف)، تخلخل درون دانهای (ب)، تخلخل قالبی (ج)، ریز تخلخل (د)، تخلخل نوری (ه)، مقدار سیمان (و)، مقدار آهک (ی)، مقدار دولومیت (ر)

## فصل چهارم

### پیش بینی تخلخل و تراوایی و ارائه الگوریتم خودکار برای تفکیک فضاهای خالی

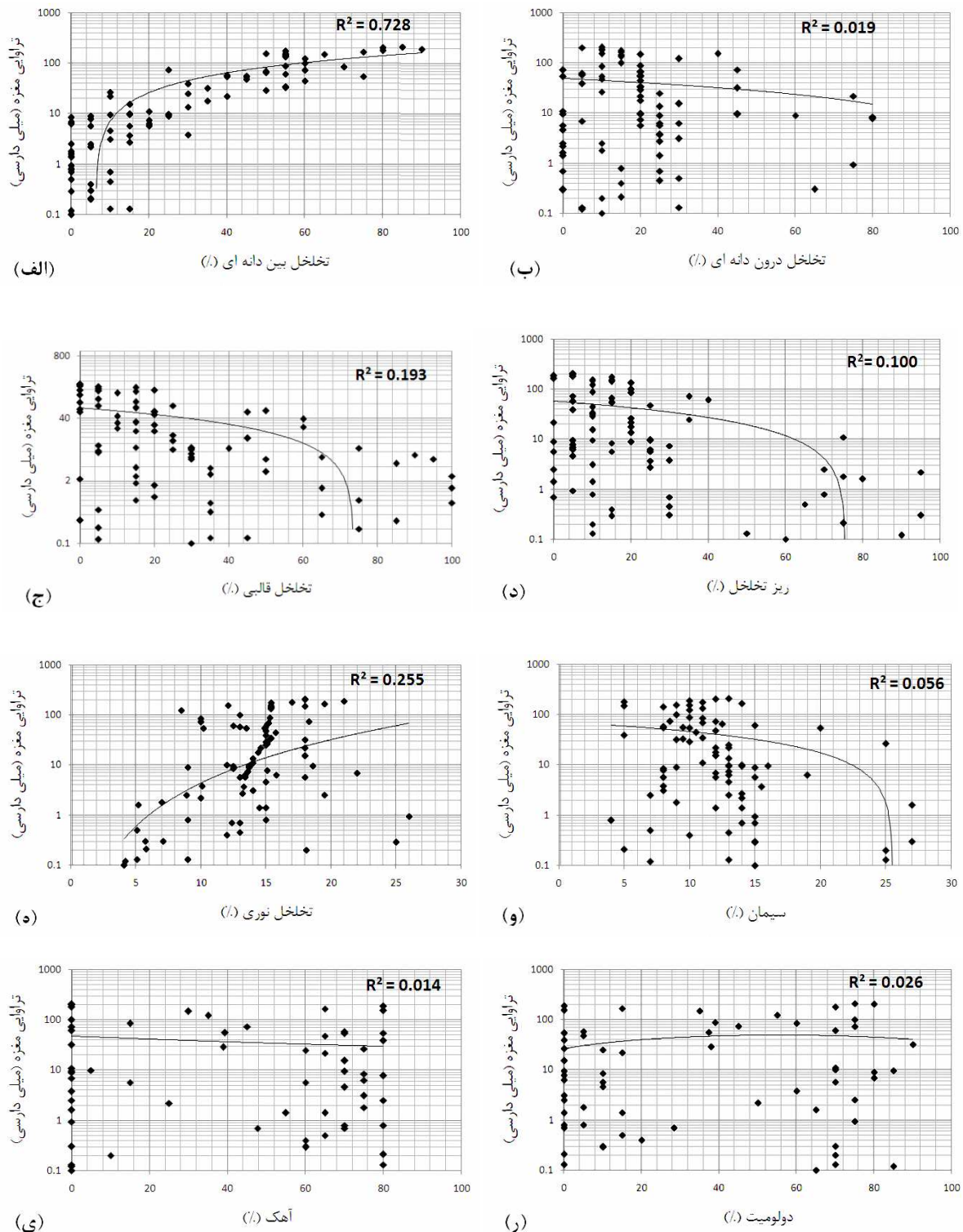


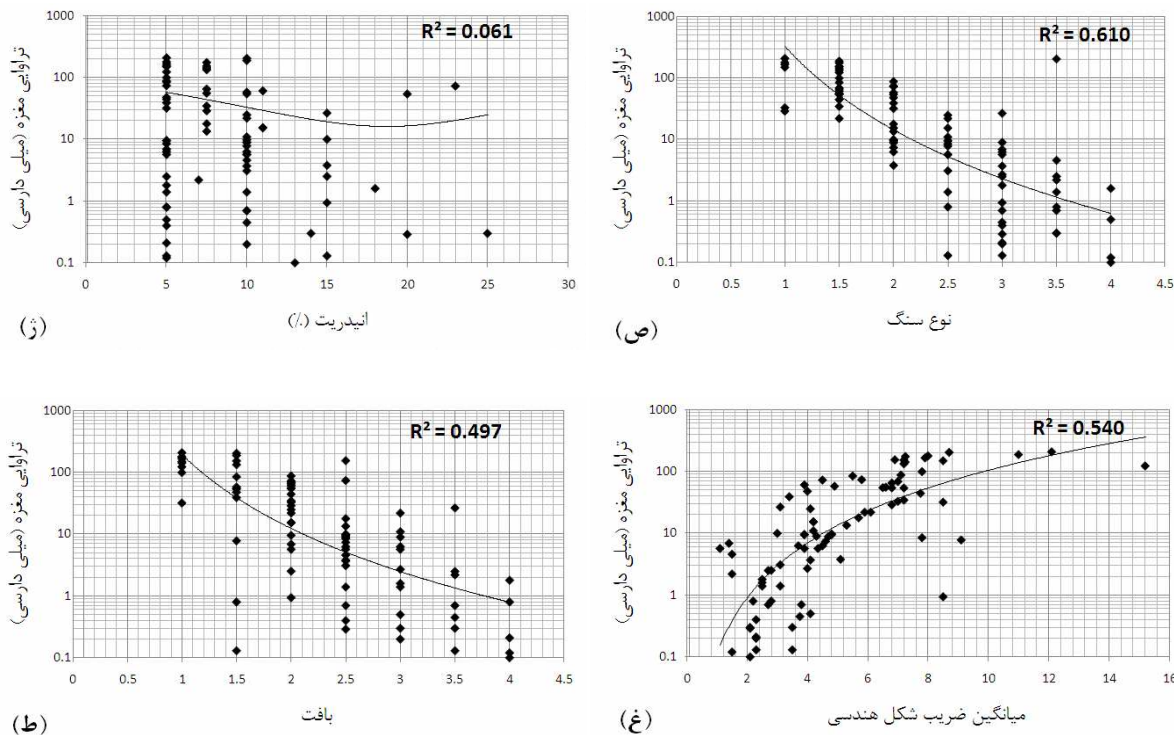
ادامه شکل ۲-۴: نمودار رابطه تخلخل مغزه و نوع سنگ (ص)، آنیدریت (٪)، میانگین ضریب شکل هندسی (غ) و نوع بافت (ط).

نگاهی به نمودارهای بالا نشان می‌دهد که به ترتیب نوع سنگ، تخلخل نوری، نوع بافت، تخلخل میکرو، میانگین ضریب شکل هندسی و تخلخل بین دانه‌ای با ضریب همبستگی  $0.04$ ،  $0.23$ ،  $0.18$ ،  $0.14$ ،  $0.14$  و  $0.12$  بیشترین رابطه را با تخلخل مغزه دارند.

در شکل ۳-۴ رابطه بین پارامترهای پتروگرافی و تراوایی حاصل از آنالیز مغزه بررسی شده است.

## فصل چهارم پیش‌بینی تخلخل و تراوایی و ارائه الگوریتم خودکار برای تفکیک فضاهای خالی





شکل ۳-۴: نمودار رابطه بین تراوایی مغزه و تخلخل بین دانهای (الف)، تخلخل درون دانهای (ب)، تخلخل قالبی (ج)، ریز تخلخل (د)، تخلخل نوری (ه)، مقدار سیمان (و)، مقدار آهک (ی)، مقدار دولومیت (ر)، مقدار انیدریت (ز)، نوع سنگ (ص)، میانگین ضریب شکل هندسی (ط) و نوع بافت (غ).

شکل ۳-۴ نشان می‌دهد که تخلخل بین دانهای، نوع سنگ، میانگین ضریب شکل هندسی، نوع بافت، تخلخل نوری، تخلخل قالبی و ریز تخلخل به ترتیب با ضریب همبستگی  $0.19$ ،  $0.22$ ،  $0.25$ ،  $0.49$ ،  $0.54$ ،  $0.61$ ،  $0.72$  و  $0.40$  بیشترین رابطه را با تراوایی مغزه دارند.

در مرحله دوم بررسی نموده‌ایم که چه تعداد از این پارامترها برای آموزش سیستم هوشمند بایستی استفاده شود. واضح است که استفاده از همه این دوازده پارامتر می‌تواند موجب ایجاد نویز در سیستم شده و دقت پیش-بینی را کاهش دهد. برای انتخاب تعداد ویژگی بهینه از شبکه عصبی استفاده شده است. برای این کار ابتدا هر ویژگی را به عنوان ورودی واحد برای شبکه عصبی بکار گرفتیم. در این مرحله دوازده شبکه عصبی ایجاد شد و

## فصل چهارم پیش‌بینی تخلخل و تراوایی و ارائه الگوریتم خودکار برای تفکیک فضاهای خالی

خطای هر شبکه اندازه‌گیری شد. سپس پارامتر با کمترین خطای را انتخاب و یازده شبکه عصبی با دو ورودی ایجاد شد. ورودی اول این یازده شبکه، پارامتر انتخاب شده در مرحله اول و ورودی دوم از میان سایر مشخصه‌ها به صورت جایگزینی تغییر می‌کند. در پایان این مرحله شبکه با کمترین خطای را انتخاب و مراحل بالا را این بار برای یک شبکه با سه ورودی تکرار می‌کنیم. این کار را آن قدر ادامه می‌دهیم تا تمام مشخصه‌ها استفاده شوند. در پایان شبکه‌ای که کمترین خطای را داشته باشد، مشخص کننده تعداد و نوع ویژگی‌های انتخابی می‌باشد.

جدول‌های ۲-۴ و ۳-۴ خطای بدست آمده برای پیش‌بینی تخلخل و تراوایی با استفاده از ورودی‌های مختلف را نشان می‌دهند. با توجه به زیاد بودن تعداد جایگشت ورودی‌های شبکه عصبی، جایگشت‌های با کمترین خطای در جداول زیر آمده است، به عنوان مثال در مرحله اول دوازده شبکه عصبی آموزش داده‌ایم ولی در جداول ۲-۴ و ۳-۴ تنها ورودی با کمترین خطای آمده است. در مجموع تعداد ۷۸ شبکه عصبی برای انتخاب ورودی‌های مناسب در پیش‌بینی تخلخل و ۷۸ شبکه برای انتخاب ورودی‌های مناسب در پیش‌بینی تراوایی آموزش داده شد. (علائم اختصار بکار رفته در جداول، به شرح زیر می‌باشد: نوع سنگ (R.T)، تخلخل میکرو (Micro)، نوع بافت (Tex)، تخلخل نوری (O.P)، میانگین ضریب شکل هندسی خلل و فرجها ( $\gamma_{mean}$ )، مقدار دولومیت (Dol.)، تخلخل بین دانه‌ای (I.P)، مقدار سیمان (Cement))

## فصل چهارم پیش‌بینی تخلخل و تراوایی و ارائه الگوریتم خودکار برای تفکیک فضاهای خالی

جدول ۴-۲: دقت شبکه‌های عصبی برای پیش‌بینی تخلخل

Porosity	MSE( $\times 10^{-2}$ )
Inputs	
R.T.	2.63
R.T. + Micro	2.42
R.T. + Micro + Tex.	2.20
R.T. + Micro + Tex. + O.P.	3.31
R.T. + Micro + Tex. + $\gamma_{\text{mean}}$	2.14
R.T. + Micro + Tex. + $\gamma_{\text{mean}}$ + Dol.	2.44
R.T. + Micro + Tex. + $\gamma_{\text{mean}}$ + I.P.	3.21
R.T. + Micro + Tex. + $\gamma_{\text{mean}}$ + Dol. + Cement	2.47
R.T. + Micro + Tex. + $\gamma_{\text{mean}}$ + I.P. + Cement	3.73
R.T. + Micro + Tex. + $\gamma_{\text{mean}}$ + Dol. + cement + I.P.	5.68
R.T. + Micro + Tex. + $\gamma_{\text{mean}}$ + O.P. + I.P. + Cement	5.14
R.T. + Micro + Tex. + $\gamma_{\text{mean}}$ + O.P. + I.P. + Cement + Anhy.	5.03

جدول ۴-۳: دقت شبکه‌های عصبی برای پیش‌بینی تراوایی

Permeability	MSE( $\times 10^{-2}$ )
Inputs	
I.P.	1.09
I.P. + R.T.	1.01
I.P. + Tex.	1.05
I.P. + R.T. + Tex.	1.03
I.P. + R.T. + $\gamma_{\text{mean}}$	1.05
I.P. + R.T. + Tex. + $\gamma_{\text{mean}}$	0.98
I.P. + R.T. + Tex. + O.P.	1.33
I.P. + R.T. + Dol. + O.P.	2.47
I.P. + R.T. + $\gamma_{\text{mean}}$ + O.P.	1.82
I.P. + R.T. + $\gamma_{\text{mean}}$ + O.P. + Tex.	1.68
I.P. + R.T. + $\gamma_{\text{mean}}$ + Dol. + Tex.	2.21
I.P. + R.T. + $\gamma_{\text{mean}}$ + Dol. + Tex. + Cement	2.32
I.P. + R.T. + $\gamma_{\text{mean}}$ + O.P. + Tex. + Dol	2.45

## فصل چهارم پیش بینی تخلخل و تراوایی و ارائه الگوریتم خودکار برای تفکیک فضاهای خالی

با توجه به جدول ۲-۴ ورودی‌های مناسب برای تخمین تخلخل عبارتند از: نوع سنگ، بافت، مقدار تخلخل میکرو و میانگین ضریب شکل هندسی. همچنین جدول ۳-۴ نشان می‌دهد که ورودی‌های مناسب برای تخمین تراوایی، مقدار تخلخل بین دانه‌ای، نوع سنگ، نوع بافت و میانگین ضریب شکل هندسی فضاهای خالی می‌باشد.

### ۳-۲-۴ - آماده کردن داده‌ها

در سیستمهای هوشمند بویژه شبکه‌های عصبی بهترین وضعیت برای تصمیم‌گیری هنگامی است، که داده‌ها نرمالیزه شده باشند (قرار گرفتن تمام مقادیر در بازه بین صفر تا یک یا بازه منفی یک تا مثبت یک). حتی اگر تمام مقادیر برای یک ورودی یا خروجی در دامنه بین صفر و یک باشد، بهتر است که باز هم نرمالیزه شوند تا بتواند تمام مقادیر بین صفر و یک را شامل شود. (Cooke and Schneider, 1983) یکی از دلایل نرمالیزه کردن داده‌ها برای شبکه‌های عصبی این است که توابع انتقال (مانند توابع سیگموئید) نمی‌توانند بین مقادیر خیلی بزرگ فرق بگذارند. در واقع مهمترین دلیل نرمالیزه کردن، کمک به عملیات آموزش است. در مطالعه حاضر ورودی‌های سیستمهای هوشمند بین منفی یک تا مثبت یک و خروجی‌ها نیز بین صفر تا یک نرمالیزه شده‌اند. پس از ساخت مدل و انجام پیش‌بینی، باید خروجی بدست آمده از سیستم به مقیاس اصلی بردشود. برای نرمالیزه کردن ورودیها از فرمول زیر استفاده شده است.

$$X_{\text{nor}} = 2 \times \left( \frac{X - X_{\min}}{X_{\max} - X_{\min}} \right) - 1 \quad (4.3)$$

که در آن  $X_{\min}$  حداقل مقدار در مجموعه ورودی و  $X_{\max}$  حداکثر مقدار در مجموعه ورودی می‌باشد. برای نرمالیزه کردن خروجی‌ها نیز از فرمول زیر استفاده شده است.

$$Y_{\text{nor}} = \left( \frac{Y - Y_{\min}}{Y_{\max} - Y_{\min}} \right) \quad (4.4)$$

## فصل چهارم پیش‌بینی تخلخل و تراوایی و ارائه الگوریتم خودکار برای تفکیک فضاهای خالی

که در آن  $Y_{min}$  حداقل مقدار در مجموعه خروجی و  $Y_{max}$  حداکثر مقدار در مجموعه خروجی می‌باشد. در مجموعه داده‌های مورد مطالعه بیشترین و کمترین مقدار تخلخل به ترتیب ۳۳.۶۷۵ درصد و ۵.۳ درصد و بیشترین و کمترین مقدار تراوایی به ترتیب ۲۰۹.۱ میلی دارسی و ۰.۱ میلی دارسی بوده است.

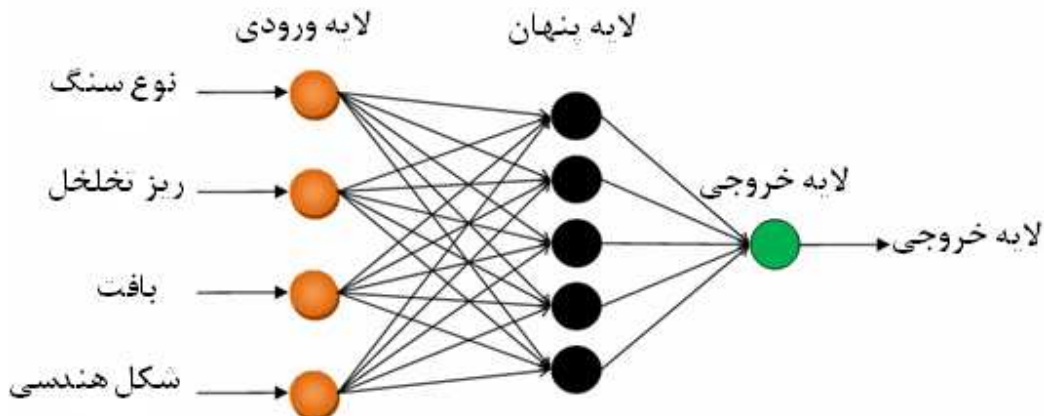
### ۴-۳-۱- تخمین تخلخل با استفاده از سیستم‌های هوشمند

تخلخل از مهمترین پارامترهای پتروفیزیکی مخزن محسوب می‌شوند که با استفاده از آنالیز مغزه و در آزمایشگاه اندازه‌گیری می‌شوند. از آنجایی که آنالیز مغزه جزء روش‌های پرهزینه و زمانبر تلقی می‌شود، همواره تلاش شده تا با استفاده از تکنیک‌های ارزانتر و سریعتر و در عین حال دقیق این دو مشخصه را محاسبه کنند. در این مطالعه از اطلاعات پتروگرافی استخراج شده از مقاطع نازک برای تخمین تخلخل استفاده شده است. به منظور رسیدن به این هدف ابتدا از سه تکنیک هوشمند (شبکه عصبی، منطق فازی و نروفازی) استفاده شده و سپس با استفاده از ماشین کمیته نتایج بدست آمده را با هم ترکیب کرده و دقت محاسبات را افزایش داده‌ایم.

### ۴-۳-۲- تخمین تخلخل با استفاده از شبکه عصبی

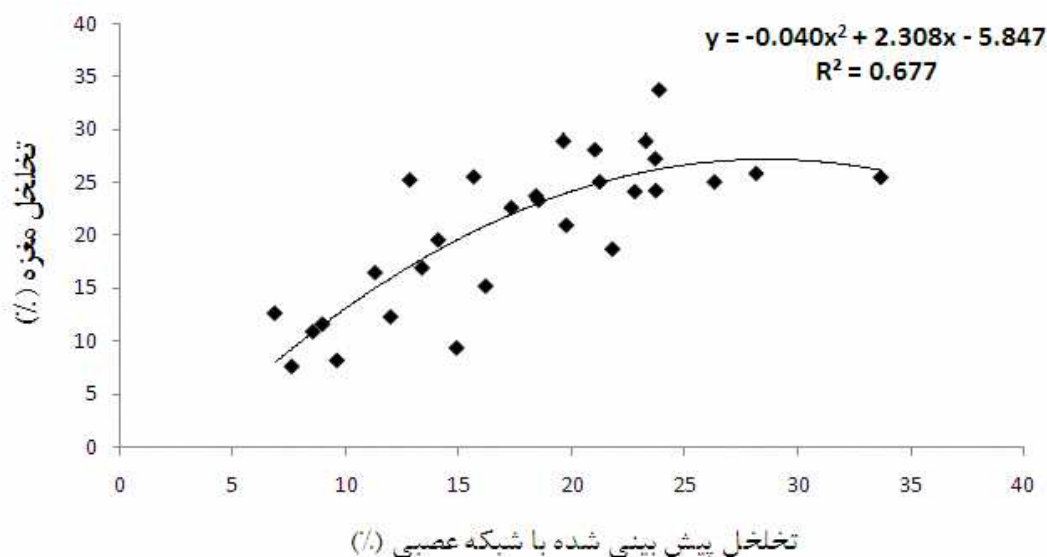
از یک شبکه عصبی پس انتشار خطا با یک لایه پنهان برای پیش‌بینی تخلخل استفاده شده است. ورودی‌های شبکه عبارتند از: نوع سنگ، نوع بافت، مقدار تخلخل میکرو و میانگین ضربی شکل هندسی. تعداد ۵ نمون در لایه پنهان در نظر گرفته شده است.تابع تصمیم‌گیری بین لایه اول و لایه دوم از نوع Tansig<sup>۵۷</sup> و بین لایه دوم و لایه سوم از نوع Purelin می‌باشد. تعداد تکرار<sup>۵۷</sup> صد و خطای هدف صفر فرض شده است. فرآیند آموزش شبکه در صورت رسیدن به خطای مورد نظر و در غیر این صورت در تکرار صدم متوقف می‌شود. شکل شماتیکی از شبکه استفاده شده در صفحه بعد آمده است.

<sup>۵۷</sup> Epoch



شکل ۴-۴: شکل شماتیکی از شبکه عصبی بکار رفته برای تخمین تخلخل

بعد از آموزش شبکه داده‌های تست که شامل ۲۹ نقطه از چاه ۱۲ پارس جنوبی می‌باشد، به شبکه معرفی شدند. خطای شبکه برای داده‌های تست ۰.۰۲۵۶ محاسبه شد (مقدار خطأ بر حسب داده‌های نرمالیز شده محاسبه شده است). شکل ۴-۵ میزان همبستگی تخلخل پیش بینی شده با شبکه عصبی و تخلخل بدست آمده از آنالیز مغزه را نشان می‌دهد.



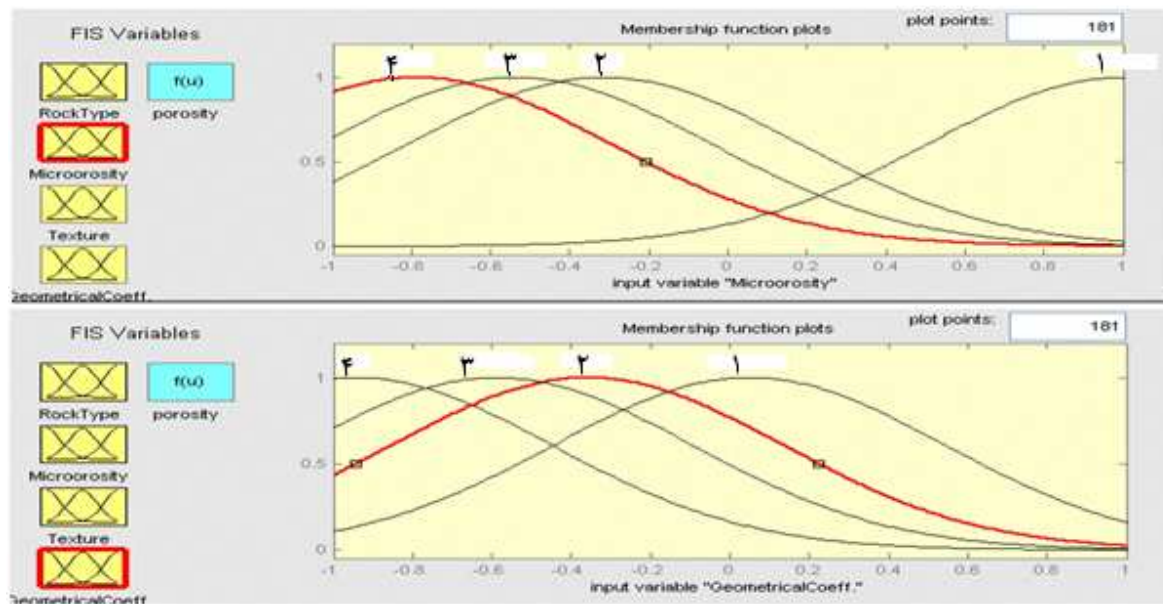
شکل ۴-۵: همبستگی تخلخل پیش بینی شده با شبکه عصبی و تخلخل بدست آمده از آنالیز مغزه

#### ۴-۳-۲- تخمین تخلخل با استفاده از منطق فازی

در این مطالعه از یک سیستم فازی تاکاگی-سوگنو استفاده شده است. برای تعیین نوع و مقدار پارامترهای توابع عضویت ورودی و خروجی از روش خوش سازی تفریقی استفاده شد. هریک از توابع عضویت نشان دهنده یک مجموعه فازی در داده‌ها می‌باشد. به عنوان نمونه توابع عضویت برای تخلخل میکرو و میانگین ضریب شکل ۶-۴ نشان داده شده است. مهمترین مسئله در این مرحله تعیین نوع توابع عضویت و هندسی در شکل ۶-۴ نشان داده است. پارامترین مجموعه فازی در آن موجب ایجاد خطای خطا در پیش‌بینی تخلخل میشود. سپس لازم است، مجموعه‌ای از قوانین اگر-آنگاه بین توابع عضویت ورودی‌ها و توابع عضویت خروجی ایجاد شود. در روش خوش سازی تفریقی، تعیین شعاع خوش سازی مهمترین فاکتور می‌باشد، چراکه تاثیر مستقیم بر نوع و مقدار پارامترهای عضویت دارد. شعاع خوش سازی کوچک باعث افزایش تعداد خوش‌ها و افزایش قوانین و شعاع خوش بندی بزرگ باعث کم شدن تعداد خوش‌ها و کاهش تعداد قوانین میشود. به توجه به نکات گفته شده مشخص است که تعیین شعاع بهینه از اهمیت بالایی برخوردار است. برای این منظور مقادیر بین صفر تا یک را به فواصل ۰.۱ به شعاع سیستم فازی نسبت می‌دهیم. به این ترتیب ده مجموعه فازی ایجاد میشود که سیستم فازی با کمترین خطای خطا مشخص کننده شعاع بهینه می‌باشد. مقدار شعاع بهینه برای پیش‌بینی تخلخل ۰.۷ محاسبه شد. مقدار خطای برای هریک از سیستم‌های فازی ایجاد شده در جدول ۴-۴ آمده است. با ایجاد سیستم فازی تعداد چهار قانون اگر-آنگاه برای سیستم مشخص شد. توابع عضویت استخراج شده از سیستم استنتاج فازی از نوع گوسی و در چهار خوشی یک، دو، سه و چهار تعریف شده‌اند.

## فصل چهارم

### پیش بینی تخلخل و تراوایی و ارائه الگوریتم خودکار برای تفکیک فضاهای خالی



شکل ۴-۶: توابع عضویت برای تخلخل میکرو و میانگین ضریب شکل هندسی

جدول ۴-۴: مقدار خطاب برای سیستم های فازی با شعاع خوشه بندی متناظر آن

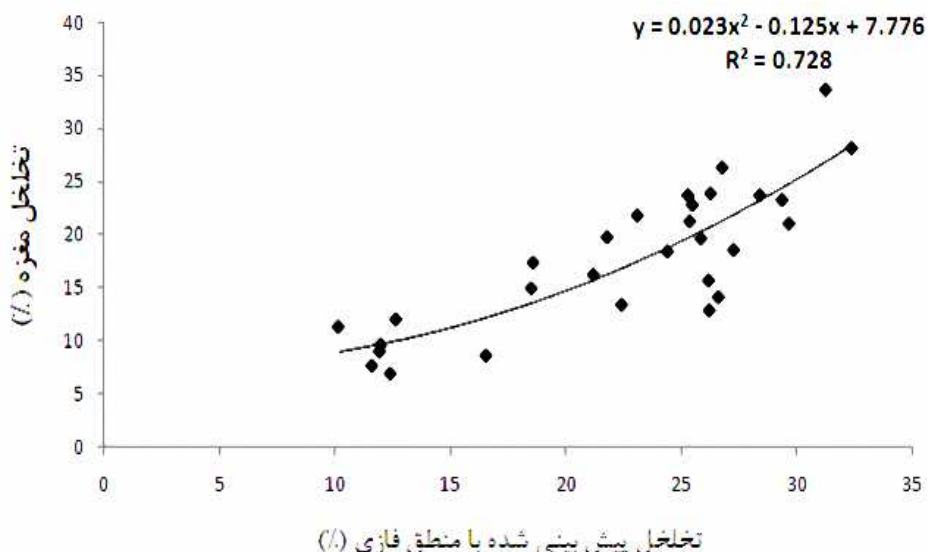
شماره سیستم فازی	شعاع خوشه سازی	مقدار میانگین مربعات خطاب در مدل فازی
۱	۱.۰	۰.۰۱۹۹
۲	۰.۹	۰.۰۱۰۷
۳	۰.۸	۰.۰۱۱۸
۴	۰.۷	۰.۰۱۲۷
۵	۰.۶	۰.۰۱۴۹
۶	۰.۵	۰.۰۱۳۳
۷	۰.۴	۰.۰۲۰۹
۸	۰.۳	۰.۰۹۸۸
۹	۰.۲	۱۱۲۴.۱
۱۰	۰.۱	۰.۰۳۷۶

## فصل چهارم پیش بینی تخلخل و تراوایی و ارائه الگوریتم خودکار برای تفکیک فضاهای خالی

قوانين اگر- آنگاه بدست آمده به شرح زیر می‌باشد:

- اگر (نوع سنگ چهار و میکرو تخلخل چهار و بافت از نوع چهار و مقدار میانگین ضریب شکل هندسی یک باشد) آنگاه ( مقدار تخلخل کم خواهد بود)
- اگر (نوع سنگ سه و میکرو تخلخل سه و بافت از نوع سه و مقدار میانگین ضریب شکل هندسی دو باشد) آنگاه ( مقدار تخلخل متوسط خواهد بود)
- اگر (نوع سنگ دو و میکرو تخلخل دو و بافت از نوع دو و مقدار میانگین ضریب شکل هندسی سه باشد) آنگاه ( مقدار تخلخل خوب خواهد بود)
- اگر (نوع سنگ یک و میکرو تخلخل یک و بافت از نوع یک و مقدار میانگین ضریب شکل هندسی چهار باشد) آنگاه ( مقدار تخلخل عالی خواهد بود)

بعد از ایجاد سیستم فازی مورد نظر، داده‌های تست به سیستم داده شد. مقدار خطابهای داده‌های تست ۰۰۲۱۴ اندازه‌گیری شد. نمودار زیر ضریب همبستگی تخلخل پیش بینی شده با منطق فازی و تخلخل مغزه را نشان می‌دهد.



شکل ۷-۴: ضریب همبستگی تخلخل پیش بینی شده با منطق فازی و تخلخل مغزه

### ۴-۳-۳-۴- تخمین تخلخل با استفاده از مدل نروفازی

شبکه نروفازی آمیزه‌ای از سیستم‌های عصبی مصنوعی و منطق فازی است. بدین صورت که مدل‌های شبکه عصبی که به عنوان مدل‌های داخلی در سیستم فازی بکار می‌رود، می‌تواند توسط قواعد قواعد فازی تشخیص داده شود. سیستم نروفازی یک سیستم استنتاج فازی می‌سازد که پارامترهای توابع عضویت آن توسط الگوریتم پس انتشار تعديل شده‌اند. برای ساخت یک مدل نروفازی از محیط گرافیکی ANFIS در نرم افزار متلب استفاده شد. مشابه با قسمت قبل، از یک روش خوش سازی فازی برای ایجاد مدل بهره برده شده و برای تعیین شاعع ۰.۹ بهینه برای خوش سازی در سیستم نروفازی، دقیقاً مشابه با مدل فازی عمل شده است. با توجه به جدول ۴-۵ شاعع ۰.۹ کمترین مقدار خطأ برای پیش‌بینی را ارائه خواهد داد.

جدول ۴-۵: مقدار خطأ برای سیستم‌های نروفازی با شاعع خوش بندی متناظر آن

ردیف	شماره سیستم فازی	شعاع خوش سازی	مقدار میانگین مربعات خطأ در مدل نروفازی
۱	۱	۱.۰	۰.۰۲۵۱
۲	۲	۰.۹	۰.۰۲۲۶
۳	۳	۰.۸	۰.۰۳۳۲
۴	۴	۰.۷	۰.۲۰۳۳
۵	۵	۰.۶	۰.۰۳۷۱
۶	۶	۰.۵	۰.۰۹۸۷
۷	۷	۰.۴	۸۹.۹۷۹
۸	۸	۰.۳	۷۰.۹۰۷
۹	۹	۰.۲	۶۰.۶۷۱
۱۰	۱۰	۰.۱	۱.۱۰۲۹

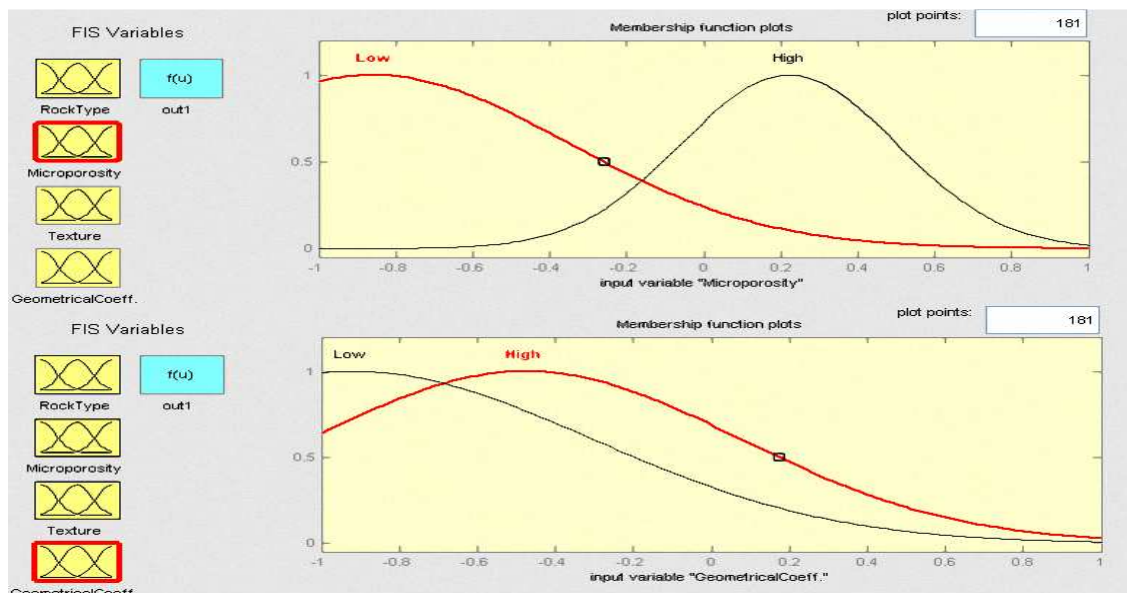
## فصل چهارم پیش بینی تخلخل و تراوایی و ارائه الگوریتم خودکار برای تفکیک فضاهای خالی

با ایجاد سیستم فازی تعداد دو قانون اگر-آنگاه برای آن مشخص شد. توابع عضویت استخراج شده از نوع گوسی و در دو خوش تعریف شده‌اند. در شکل ۸-۴، توابع عضویت استخراج شده برای تخلخل میکرو و میانگین ضریب شکل هندسی نشان داده شده است.

قوانين اگر-آنگاه بدست آمده به شرح زیر می‌باشد:

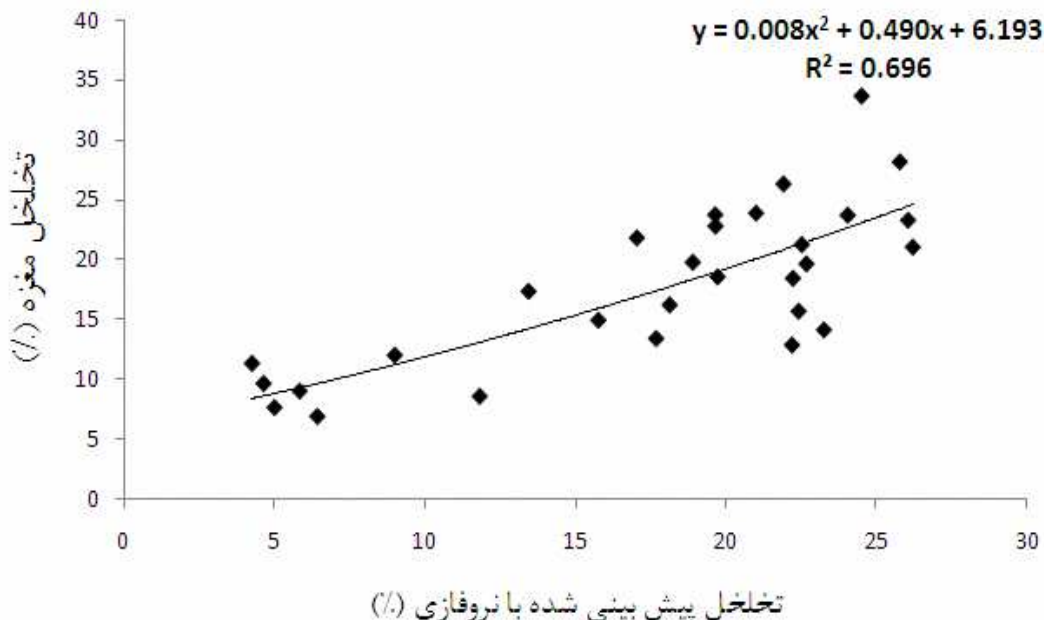
- اگر (نوع سنگ زیاد و میکرو تخلخل زیاد و بافت از نوع زیاد و مقدار میانگین ضریب شکل هندسی کم باشد) آنگاه ( مقدار تخلخل کم خواهد بود)

- اگر (نوع سنگ کم و میکرو تخلخل کم و بافت از نوع کم و مقدار میانگین ضریب شکل هندسی زیاد باشد) آنگاه ( مقدار تخلخل زیاد خواهد بود)



شکل ۸-۴: توابع عضویت برای تخلخل میکرو و میانگین ضریب شکل هندسی

بعد از ایجاد سیستم نروفازی، داده‌های تست به سیستم داده شد. مقدار خطاب برای داده‌های تست ۰.۰۲۲۶ و نمودار ۹-۴ ضریب همبستگی تخلخل نروفازی و تخلخل مغزه را نشان می‌دهد.



شکل ۴-۹: ضریب همبستگی تخلخل پیش‌بینی شده با نروفاژی و تخلخل مغزه

#### ۴-۳-۴- ماشین کمیته

با استفاده از مفهوم ماشین کمیته نتایج بدست آمده از مدل‌های شبکه عصبی، منطق فازی و سیستم نروفاژی را می‌توان ترکیب کرد و دقت تخلخل پیش‌بینی شده را افزایش داد. برای تشکیل ماشین کمیته از دو روش استفاده شده است.

#### ۴-۳-۴-۱- ماشین کمیته مبتنی بر میانگین گیری

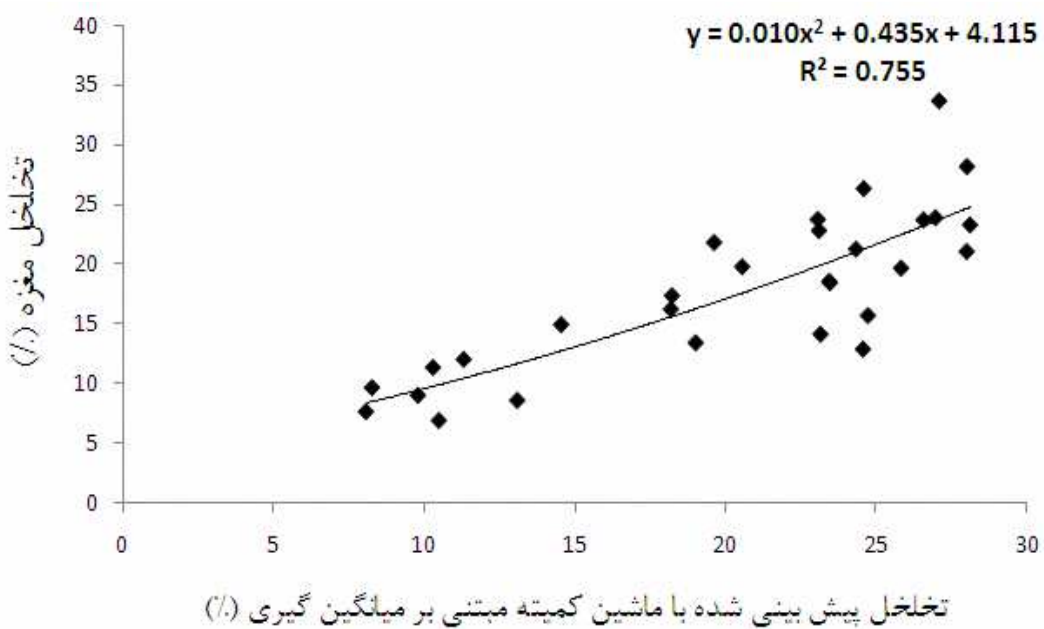
روش اول میانگین گیری از نتایج حاصل می‌باشد. با توجه به فرمول زیر سهم هریک از تکنیکها در تولید خروجی ماشین کمیته با هم مساوی و برابر  $33.0\%$  خواهد بود.

$$\Phi_{\text{average}} = \frac{1}{3}(\Phi_{\text{NN}} + \Phi_{\text{FL}} + \Phi_{\text{NF}}) \quad (4.5)$$

مقدار خطای داده‌های تست ۱۹۸۰۰ اندازه‌گیری شد. خطای بدست آمده نشان می‌دهد، که با اعمال یک محاسبه ساده بر نتایج بدست آمده می‌توان دقت پیش‌بینی را افزایش داد. نمودار ۴-۱۰ ضریب همبستگی

## فصل چهارم پیش بینی تخلخل و تراوایی و ارائه الگوریتم خودکار برای تفکیک فضاهای خالی

تخلخل پیش بینی شده با میانگین‌گیری و تخلخل مغزه را نشان می‌دهد. همانطور که مشخص است مقدار ضریب همبستگی به مقدار قابل ملاحظه‌ای افزایش یافته است. لازم به یادآوری است که ماشین کمیته مبتنی بر میانگین‌گیری همیشه دقت پیش‌بینی را افزایش نمی‌دهد و لذا ابزاری دقیق و قابل اعتماد برای کاهش خطای محاسبات نمی‌باشد. با توجه به این محدودیت بر آن شدیدم تا ماشین کمیته مبتنی بر الگوریتم ژنتیک را بنا کنیم.



تخلخل پیش بینی شده با ماشین کمیته مبتنی بر میانگین‌گیری (%)

شکل ۴-۰۱: ضریب همبستگی تخلخل پیش بینی شده با میانگین‌گیری و تخلخل مغزه

### ۴-۳-۲-۴-۳-۴ ماشین کمیته مبتنی بر الگوریتم ژنتیک

در روش دوم از الگوریتم ژنتیک برای ایجاد ترکیب بهینه‌ای از نتایج تکنیکهای شبکه عصبی، منطق فازی و سیستم نروفازی استفاده شده است. ماشین کمیته مورد نظر با تکیه بر الگوریتم ژنتیک مقدار سهم هریک از تکنیکها در تولید خروجی نهایی را محاسبه می‌کند.

## فصل چهارم پیش‌بینی تخلخل و تراوایی و ارائه الگوریتم خودکار برای تفکیک فضاهای خالی

بر خلاف روش اول، لزومی بر برابری سهم هریک از سیستم‌ها در خروجی نهایی وجود ندارد. برای ایجاد ترکیب بهینه، تابع هدف به صورت زیر تعریف می‌شود. در مرحله نخست، مقدار بهینه این تابع به وسیله الگوریتم ژنتیک محاسبه می‌شود.

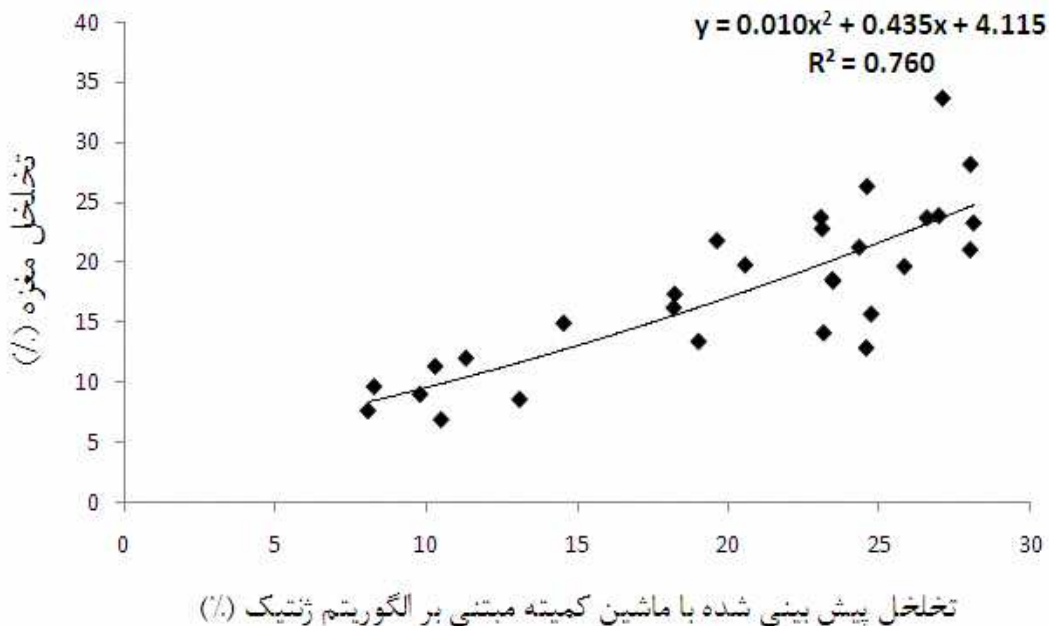
$$MSE = \frac{1}{n} \sum_{i=1}^n (W_1 \times NN_i + W_2 \times FL_i + W_3 \times NF_i - \Phi_i)^2 \quad (4.6)$$

در این تابع  $W_1$ ,  $W_2$ ,  $W_3$  مشخص کننده سهم هریک از تکنیک‌ها در تولید خروجی نهایی و  $\Phi_i$  مقدار تخلخل آنالیز مغزه می‌باشد. در واقع این تابع مقدار خطای تخلخل پیش‌بینی شده را نشان می‌دهد که الگوریتم ژنتیک مقدار حداقل آن برای داده‌های آموزش محاسبه می‌کند. ضرایب بدست آمده از الگوریتم ژنتیک به داده‌های تست تعیین داده می‌شود و مقدار خروجی نهایی برای داده‌های تست از فرمول زیر محاسبه می‌شود.

$$\Phi_{CMIS} = 0.275 \times \Phi_{NN} + 0.561 \times \Phi_{FL} + 0.0792 \times \Phi_{NF} \quad (4.7)$$

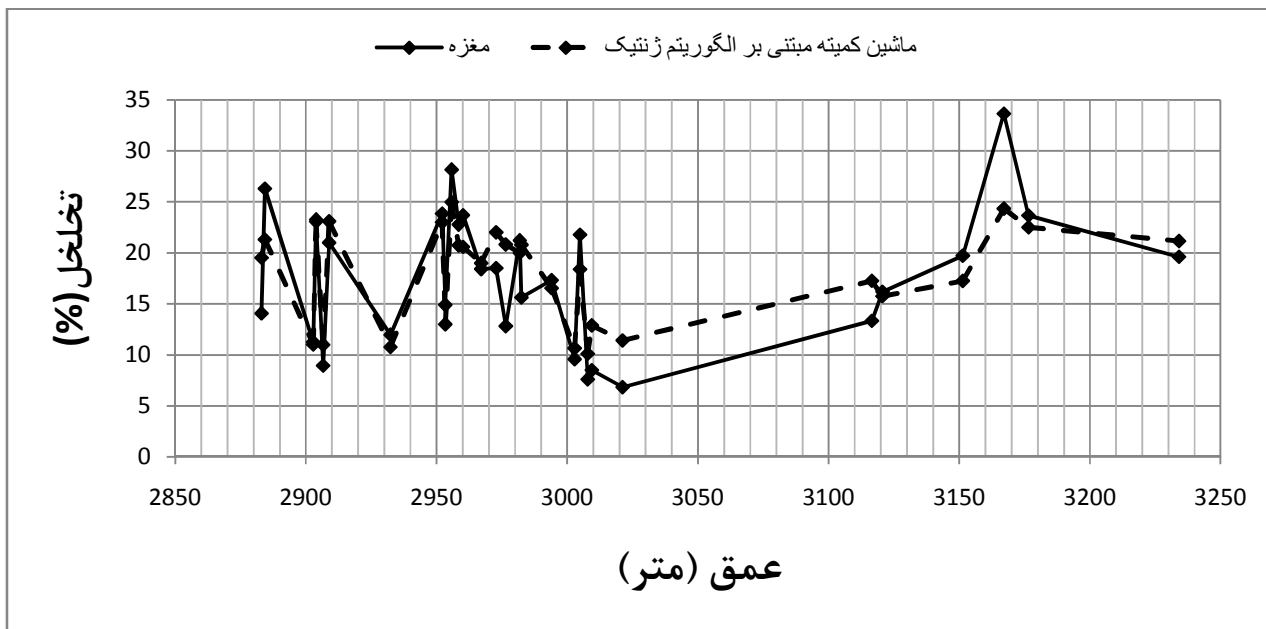
مقدار خطا برای داده‌های تست ۱۶۵۰۰ اندازه‌گیری شده است، بنابراین ماشین کمیته مبتنی بر الگوریتم ژنتیک دقیق ترین مدل را برای پیش‌بینی تخلخل از داده‌های پتروگرافی فراهم آورده است. دقت مدل پیش‌بینی شده از میانگین‌گیری نیز بالاتر خواهد بود. در نمودار زیر ضریب همبستگی بین تخلخل پیش‌بینی شده از ماشین کمیته با تخلخل مغزه مقایسه شده است.

## فصل چهارم پیش‌بینی تخلخل و تراوایی و ارائه الگوریتم خودکار برای تفکیک فضاهای خالی



شکل ۱۱-۴: همبستگی تخلخل حاصل از ماشین کمیته مبتنی بر الگوریتم رزیک و تخلخل مغزه

در شکل ۱۲-۴ تخلخل پیش‌بینی شده با ماشین کمیته و تخلخل واقعی برای چاه ۱۲ بر حسب عمق نشان داده شده است.



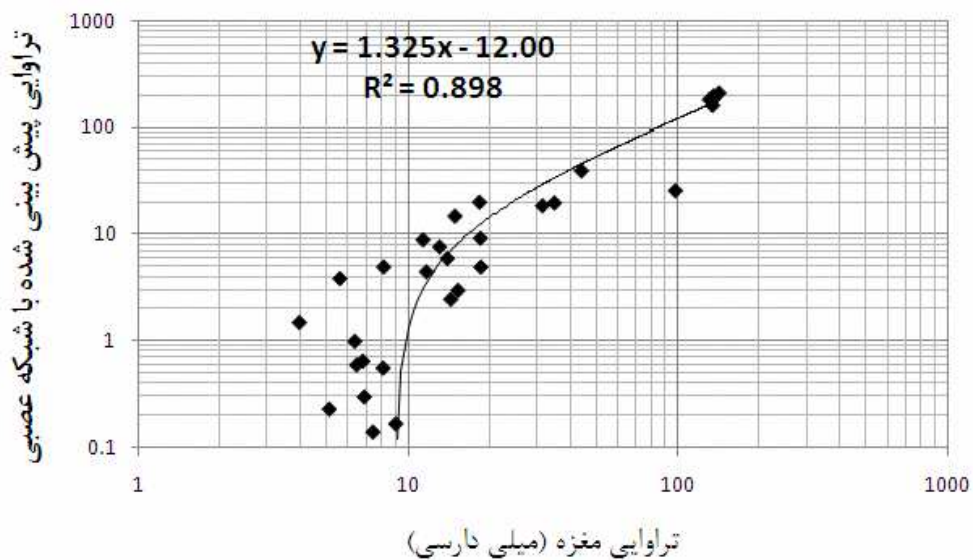
شکل ۱۲-۴: تخلخل پیش‌بینی شده با ماشین کمیته و تخلخل واقعی بر حسب عمق در چاه مورد مطالعه

#### ۴-۴-۱- پیش بینی تراوایی

تراوایی یکی از مهمترین پارامترهای پتروفیزیکی می‌باشد که نقش اساسی در حرکت سیال درون مخزن ایفا می‌کند و از آن در مدلسازی مخازن استفاده می‌شود. نتایج بدست آمده برای پیش بینی تخلخل نشان می‌دهد که سیستم های هوشمند با تکیه بر داده های پتروگرافی مدل قابل قبولی برای پیش بینی تخلخل ارائه می‌نمایند. لذا در ادامه تلاش شده است تا مدلی بر پایه داده های پترگرافی برای پیش بینی تراوایی نیز ارائه شود. نمودارهای پارامترهای پتروگرافی در مقابل تراوایی و شبکه عصبی طراحی شده مشخص می‌کند که ورودی های های مناسب برای پیش بینی تراوایی به جز در یک مورد، مشابه ورودی های استفاده شده برای پیش بینی تخلخل هستند. ورودی های مناسب برای تخمین تراوایی عبارتند از: مقدار تخلخل بین دانه‌ای، نوع سنگ، نوع بافت و میانگین ضریب شکل هندسی فضاهای خالی.

#### ۴-۴-۲- پیش بینی تراوایی با استفاده از شبکه عصبی

بطور مشابه با قسمت قبل، از یک شبکه عصبی پس انتشار خطا با یک لایه پنهان برای پیش بینی تراوایی استفاده شده است. تعداد ۵ نرون در لایه پنهان در نظر گرفته شد. تابع تصمیم‌گیری بین لایه اول و لایه دوم از نوع Tansig و بین لایه دوم و لایه سوم از نوع Purelin می‌باشد. تعداد تکرار صد و خطای هدف صفر فرض شده است. بعد از آموزش شبکه داده های تست به شبکه معرفی شدند. خطای شبکه برای داده های تست محاسبه شد. نمودار ۱۳-۴ میزان همبستگی تراوایی پیش بینی شده و تراوایی بدست آمده از آنالیز ۱۳۹۰۰ مغزه را نشان می‌دهد.



شکل ۱۳-۴: همبستگی تراوایی پیش بینی شده با شبکه عصبی و تراوایی بدست آمده از آنالیز مغزه

#### ۲-۴-۴- تخمین تراوایی با استفاده از منطق فازی

برای تخمین تراوایی از یک سیستم فازی تاکاگی- سوگنو و روش خوش سازی تفریقی استفاده شده است. برای تعیین شعاع خوش سازی، مقادیر بین صفر تا یک را به فواصل  $0.1 \times 0.1$  به شعاع سیستم فازی نسبت می دهیم که سیستم فازی با کمترین خطای مشخص کننده شعاع بهینه می باشد.

مقدار شعاع بهینه برای پیش بینی تراوایی ۱ محاسبه شد. با ایجاد سیستم فازی تعداد دو قانون اگر- آنگاه مشخص شد. توابع عضویت استخراج شده از سیستم استنتاج فازی از نوع گوسی و در دو خوش کم و زیاد تعریف شده اند.

قوانين اگر- آنگاه بدست آمده به شرح زیر می باشد:

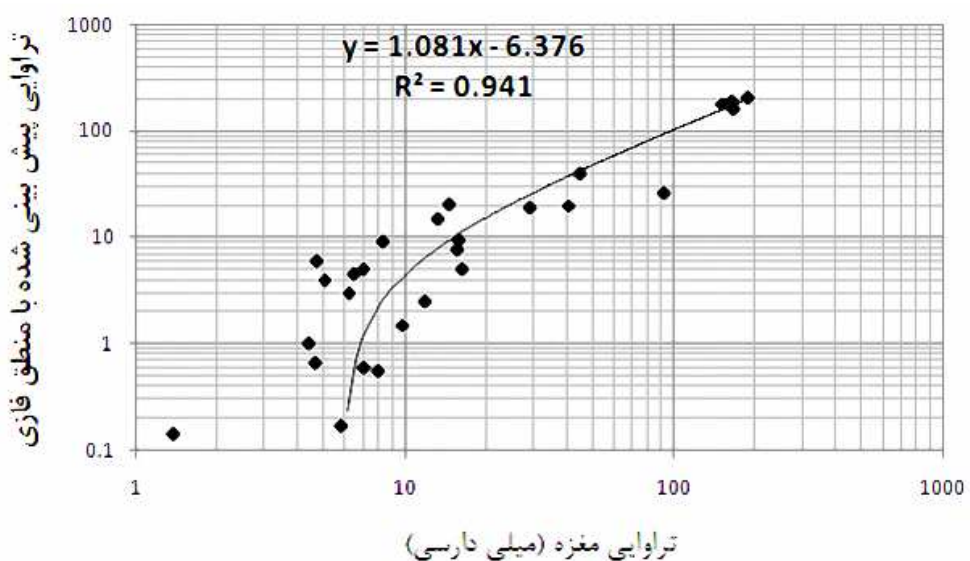
- اگر (تخلخل بین دانه‌ای کم و نوع سنگ زیاد و بافت زیاد و مقدار میانگین ضریب شکل هندسی کم باشد) آنگاه ( مقدار تراوایی کم خواهد بود)

#### فصل چهارم پیش بینی تخلخل و تراوایی و ارائه الگوریتم خودکار برای تفکیک فضاهای خالی

- اگر تخلخل بین دانه‌ای زیاد و نوع سنگ کم و بافت کم و مقدار میانگین ضریب شکل هندسی زیاد

باشد) آنگاه ( مقدار تراوایی زیاد خواهد بود)

بعد از ایجاد سیستم فازی مورد نظر، داده های تست به سیستم داده شد. مقدار خطای برای داده های تست ۶۰۰۰ محاسبه شد. نمودار زیر ضریب همبستگی تراوایی پیش بینی شده با منطق فازی و تراوایی معزه را نشان می دهد.



شکل ۱۴-۴: همیستگی تراوایی، بیش بینی شده با منطق فازی و تراوایی، مغزه

۴-۳-۴-۴- تخمین تراوایی، یا استفاده از سیستم نر و فازی

شعاع بهینه برای سیستم نرو- فازی ۵.۰ می باشد. تعداد چهار قانون برای پیش بینی تراوایی ایجاد می شود. توابع عضویت استخراج شده از سیستم استنتاج فازی از نوع گوسی و در چهار خوشه یک، دو، سه و چهار تعریف شده اند. این قوانین به شرح زیر می باشد:

- اگر (تخلخل بین دانهای دو نوع سنگ سه و بافت از نوع سه و مقدار میانگین ضریب شکل هندسی دو باشد) آنگاه (مقدار تراویس که خواهد بود)

## فصل چهارم پیش بینی تخلخل و تراوایی و ارائه الگوریتم خودکار برای تفکیک فضاهای خالی

- اگر (تخلخل بین دانهای سه و نوع سنگ دو و بافت از نوع یک و مقدار میانگین ضریب شکل هندسی

سه باشد) آنگاه (مقدار تراوایی متوسط خواهد بود)

- اگر (تخلخل بین دانهای یک و نوع سنگ چهار و بافت از نوع چهار و مقدار میانگین ضریب شکل

هندسی یک باشد) آنگاه (مقدار تراوایی خوب خواهد بود)

- اگر (تخلخل بین دانهای چهار و نوع سنگ یک و بافت از نوع دو و مقدار میانگین ضریب شکل هندسی

چهار باشد) آنگاه (مقدار تراوایی عالی خواهد بود)

بعد از ایجاد سیستم نروفازی، داده های تست به سیستم داده شد که مقدار خطای برای این داده ۰۰۰۸۵ اندازه

گیری شد. شکل ۴-۱۵ ضریب همبستگی تراوایی پیش بینی شده با نروفازی و تراوایی مغزه را نشان می دهد.

### ۴-۴-۴-۴ ماشین کمیته

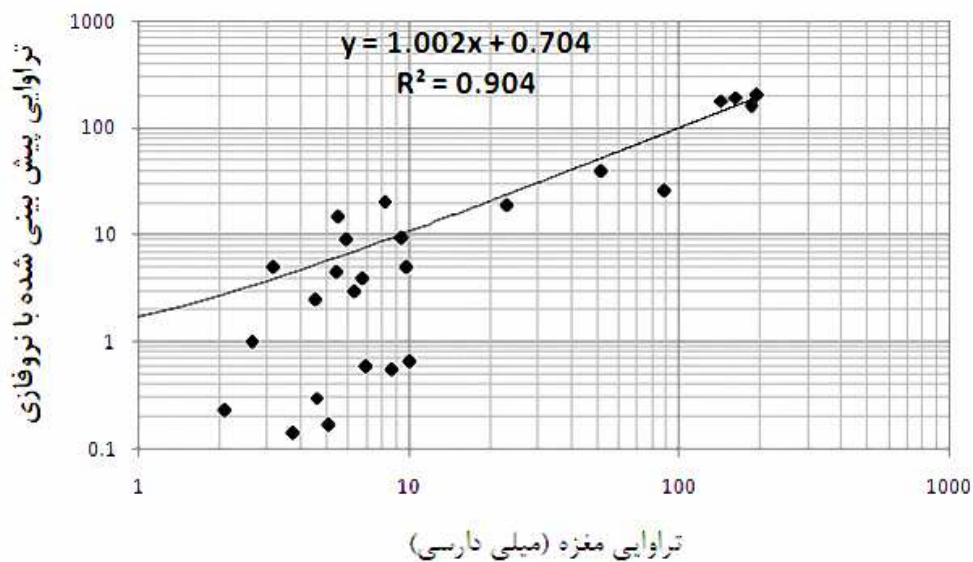
برای کاهش خطای پیش بینی و ترکیب نتایج بدست آمده از شبکه عصبی، منطق فازی و سیستم نروفازی،

مشابه با پیش بینی تخلخل، دو نوع ماشین کمیته ایجاد شده است.

### ۴-۴-۴-۱-۱ ماشین کمیته مبتنی بر میانگین گیری

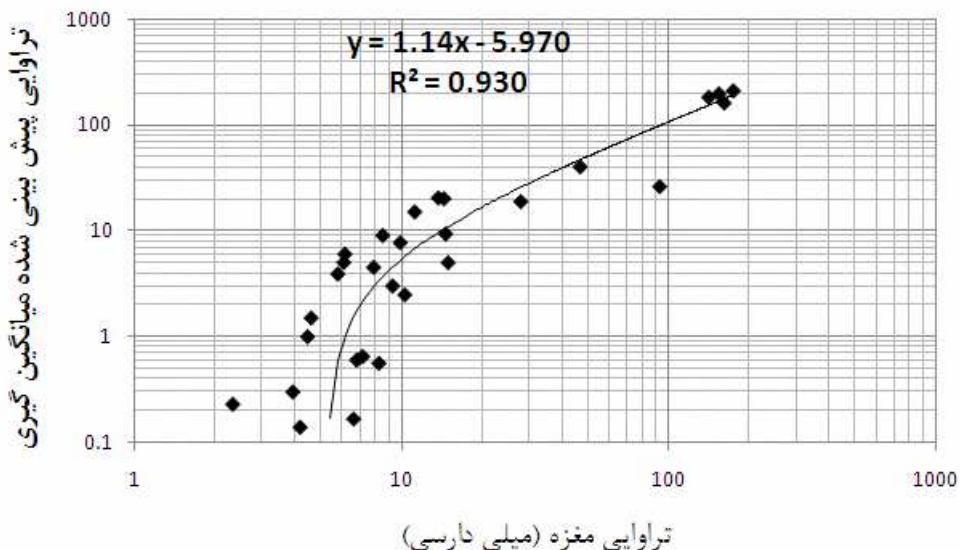
با توجه به فرمول زیر، سهم هریک از تکنیکها در تولید خروجی ماشین کمیته با هم برابر (۰.۳۳) خواهد بود.

$$K_{\text{average}} = \frac{1}{3} (K_{\text{NN}} + K_{\text{FL}} + K_{\text{NF}}) \quad (4.8)$$



شکل ۱۵-۴: همبستگی تراوایی پیش بینی شده با نروفازی و تراوایی مغزه

مقدار خطا برای داده‌های تست ۰۰۷۵ اندازه‌گیری شد. خطا بدست آمده نشان می‌دهد، دقت ماشین کمیته مبتنی بر میانگین‌گیری از شبکه عصبی و سیستم نروفازی بیشتر و کمتر از منطق فازی می‌باشد. این مهم بیانگر آن است که ماشین کیمیتی مبتنی بر میانگین‌گیری نمی‌تواند همیشه انتخاب مناسبی برای بهبود نتیجه باشد. شکل ۱۶-۴ ضریب همبستگی تراوایی پیش بینی شده با میانگین‌گیری و تراوایی مغزه را نشان می‌دهد. همانطور که مشخص است مقدار ضریب همبستگی بیشتر از شبکه عصبی و سیستم نروفازی و کمتر از منطق فازی می‌باشد.



شکل ۴-۱۶: همبستگی تراوایی پیش بینی شده با میانگین گیری و تراوایی مغزه

#### ۴-۴-۲-۴-۴-۴ ماشین کمیته مبتنی بر الگوریتم ژنتیک

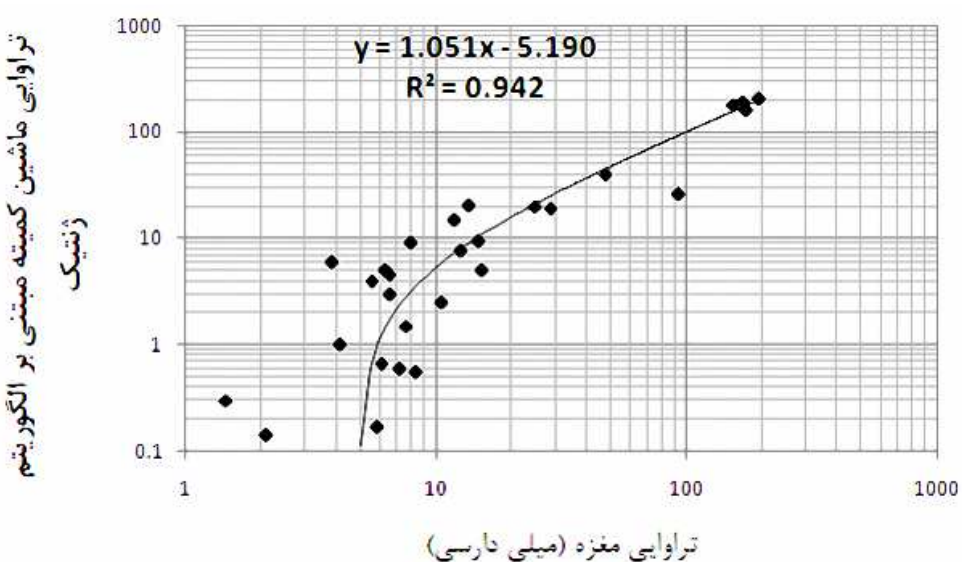
با توجه به ناتوانی ماشین کمیته مبتنی بر میانگین گیری در افزایش دقت و کاهش خطأ، از ماشین کمیته مبتنی بر الگوریتم ژنتیک برای ایجاد ترکیب بهینه‌ای از نتایج تکنیک‌های شبکه عصبی، منطق فازی و سیستم نروفازی استفاده شده است. مشابه با تخلخل، برای ایجاد ترکیب بهینه تابع هدف به صورت زیر تعریف می‌شود. در وهله نخست، مقدار بهینه این تابع به وسیله الگوریتم ژنتیک محاسبه می‌شود.

$$MSE = \frac{1}{n} \sum_{i=1}^n (W_1 \times NN_i + W_2 \times FL_i + W_3 \times NF_i - K_i)^2 \quad (4.9)$$

در این تابع  $W_1$ ,  $W_2$  و  $W_3$  مشخص کننده سهم هریک از تکنیک‌ها در تولید خروجی نهایی و  $K_i$  مقدار تراوایی آنالیز مغزه می‌باشد. ضرایب بدست آمده از الگوریتم ژنتیک به داده‌های تست تعمیم داده شده است و مقدار خروجی نهایی برای داده‌های تست از فرمول زیر محاسبه می‌شود.

$$K_{CMIS} = 0.022 \times K_{NN} + 0.762 \times K_{FL} + 0.224 \times K_{NF} \quad (4.10)$$

مقدار خطای داده‌های تست ۵۶۰۰۰۰ اندازه‌گیری شده است، که کمترین مقدار خطای در میان روش‌های بکار رفته برای پیش‌بینی تراوایی می‌باشد. در شکل ۱۷-۴ زیر ضریب همبستگی بین تراوایی پیش‌بینی شده از ماشین کمیته با تراوایی مغزه مقایسه شده است. در شکل ۱۸-۴ تراوایی پیش‌بینی شده با ماشین کمیته و تراوایی واقعی برای چاه ۱۲ بر حسب عمق نشان داده شده است.



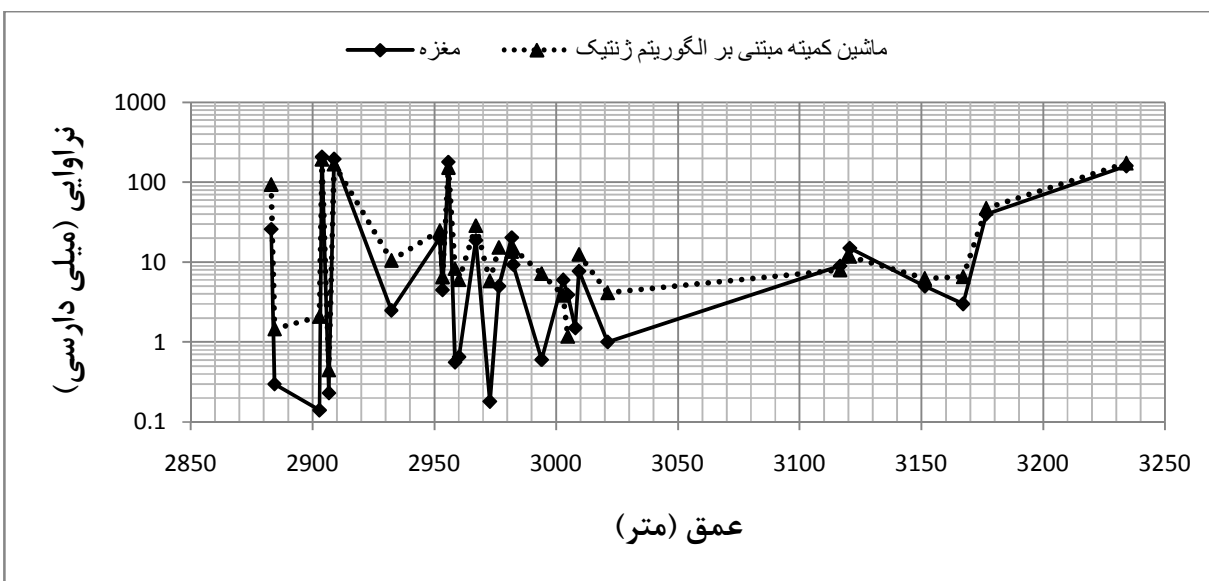
شکل ۴-۱۷: همبستگی تراوایی پیش بینی شده با ماشین کمیته مبتنی بر الگوریتم زنتیک و تراوایی مغزه

#### ۴-۵- الگوریتم تفکیک کننده فضاهای خالی

در این مطالعه برای ارائه الگوریتمی خودکار با قابلیت شناخت و تفکیک نوع فضاهای خالی موجود در تصاویر مقاطع نازک از جعبه ابزار آنالیز تصویر در نرم افزار متلب استفاده شده است. با توجه به نتایج حاصل از کراس پلاتها و شبکه عصبی، پارامترهای گردشیدگی، نسبت تصویر و فراخی به عنوان مشخصه‌های مناسب برای تفکیک فضاهای خالی انتخاب شده‌اند. هریک از این پارامترها به لحاظ هندسی مفهومی متفاوت را بیان می‌کنند و لذا می‌توانند ابزاری مناسب برای معرفی انواع فضاهای خالی به کامپیوتر باشند. گردشیدگی میزان دایره‌های بودن

## فصل چهارم پیش بینی تخلخل و تراوایی و ارائه الگوریتم خودکار برای تفکیک فضاهای خالی

شكل، نسبت تصویر مقدار کشیدگی شکل و فراخی مقدار پیچیده بودن و بی نظمی را در شکل مشخص می کند. برای ایجاد الگوریتم فوق الذکر مراحل زیر طی شده اند.



شکل ۱۸-۴: تراوایی پیش بینی شده با ماشین کمیته و تراوایی حاصل از مغزه بر حسب عمق در چاه مورد مطالعه

### ۴-۵-۱- داده ها لازم برای الگوریتم تفکیک کننده فضاهای خالی

برای رسیدن به راه کار مناسبی برای تشخیص خودکار فضاهای خالی و کلاسه بندی آنها مجموعه ای از مشخصه های هندسی برای هر فضاهای خالی، آنالیز و بررسی شده است. این مرحله ضروری ترین و اساسی ترین بخش در یک فرآیند تشخیص الگو می باشد. مشخصه های موجود از تصاویر قطعه بندی شده و به کمک جعبه ابزار آنالیز تصویر در نرم افزار متلب استخراج شده اند. از آنجایی که جز اصلی تشکیل دهنده هر تصویر پیکسل میباشد تمام مشخصه ها بر حسب تعداد پیکسل اندازه گیری شده اند. مشخصه های استخراج شده عبارتند از:

۱- مساحت<sup>۵۸</sup>: تعداد پیکسلهای تشکیل دهنده هر خلل و فرج

۲- محیط<sup>۵۹</sup>: تعداد پیکسلهای مرزی برای هر خلل و فرج

<sup>58</sup> Area

## فصل چهارم پیش‌بینی تخلخل و تراوایی و ارائه الگوریتم خودکار برای تفکیک فضاهای خالی

۳- گردشگی<sup>۶۰</sup>: این مقدار نسبتی از مقدار محیط به مساحت در هر خلل و فرج است و مقدار آن با استفاده از فرمول زیر بدست می‌آید.

$$\frac{\text{محیط}^2}{4\pi \times \text{مساحت}} = \text{گردشگی} \quad (4.11)$$

برای رده بندی فضاهای خالی از اندازه مساحت و محیط به شکل مستقیم برای بررسی فضاهای خالی استفاده نشده است و از نسبت تعریف شده بهره برده‌ایم.

- ۴- قطر کوچک: کوچکترین قطر در هر خلل و فرج
- ۵- قطر بزرگ: بزرگترین قطر در هر خلل و فرج
- ۶- قطر معادل<sup>۶۱</sup>: قطر دایره‌ای با مساحت برابر با مساحت هر خلل و فرج. مقدار این مشخصه از فرمول زیر نیز محاسبه می‌شود.

$$\sqrt{\frac{4 \times \text{مساحت}}{\pi}} = \text{قطر معادل} \quad (4.12)$$

در ادامه از اندازه قطرها به شکل مستقیم برای بررسی فضاهای خالی استفاده نشده است و بجای آنها دو پارامتر جدید که عبارتند از نسبت اندازه قطر کوچک به اندازه قطر بزرگ (نسبت تصویر<sup>۶۲</sup>) و نسبت اندازه قطر معادل به اندازه قطر بزرگ، استفاده کرده‌ایم.

- ۷- مستطیل مرزی<sup>۶۳</sup>: مساحت کوچکترین مستطیلی که تمام مساحت یک خلل و فرج را در خود جای می‌دهد.

<sup>59</sup> Perimeter

<sup>60</sup> Roundness

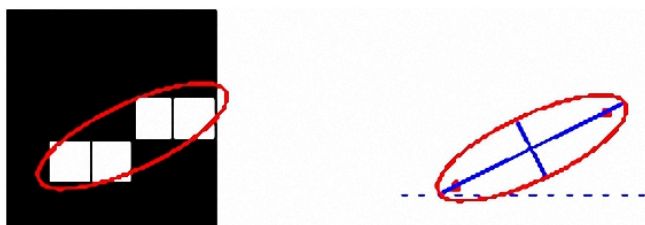
<sup>61</sup> Equivalent diameter

<sup>62</sup> Aspect ratio

<sup>63</sup> Bounding box

## فصل چهارم پیش بینی تخلخل و تراوایی و ارائه الگوریتم خودکار برای تفکیک فضاهای خالی

۸- انحراف از مرکز<sup>۶۴</sup>: در حالت کلی عبارت است از نسبت فاصله بین دو کانون بیضی به قطر بزرگ آن. در مورد فضاهای خالی سنگ که اشکال پیچیده‌ای را تشکیل می‌دهند، این مقدار برای بیضی که به بهترین حالت هر خلل و فرج را در بر می‌گیرد محاسبه شده است. شکل ۱۹-۴ مفهوم این بیضی را بهتر نشان می‌دهد. مقدار انحراف از مرکز عددی بین صفر تا یک است. بیضی که مقدار این پارامتر در آن صفر باشد دایره است و بیضی با مقدار یک، خط مستقیم می‌باشد.



شکل ۱۹-۴: مفهوم انحراف از مرکز برای پیکسل‌های متصل بهم

۹- میزان فراخی<sup>۶۵</sup>: از تقسیم مساحت هر خلل و فرج به مقدار مساحت مستطیل مرزی آن بدست می‌آید.

$$\text{میزان فراخی} = \frac{\text{مساحت}}{\text{مستطیل مرزی}} \quad (4.12)$$

مقدار این مشخصه بین صفر تا یک تغییر می‌کند. با افزایش پیچیدگی و بی‌نظمی در یک شکل مقدار فراخی کم و هرچه شکل آن به دایره و مربع نزدیکتر باشد مقدار فراخی افزایش می‌یابد. فضاهای خالی از نوع قالبی که دایره‌ای شکل هستند دارای مقدار فراخی نزدیک به ۰.۷ هستند.

۱۰- استحکام<sup>۶۶</sup>: پیش از آن که این مشخصه را تعریف کنیم لازم است به تعریف دو پارامتر دیگر توجه شود.

- پوسته محدب<sup>۶۷</sup>: عبارت است از کوچکترین چند ضلعی محدب که یک خلل و فرج را در بر می‌گیرد.

- مساحت محدب<sup>۶۸</sup>: عبارت است از تعداد پیکسل‌های موجود در پوسته محدب.

<sup>64</sup> Eccentricity

<sup>65</sup> Extent

<sup>66</sup> Solidity

<sup>67</sup> Convex hull

## فصل چهارم پیش‌بینی تخلخل و تراوایی و ارائه الگوریتم خودکار برای تفکیک فضاهای خالی

حال می‌توان مفهوم استحکام را بیان کرد. استحکام عبارت است از نسبت مساحت یک خلل و فرج به مساحت محدب آن.

$$\frac{\text{مساحت}}{\text{مساحت محدب}} = \text{استحکام} \quad (4.14)$$

### ۲-۵-۴- انتخاب داده‌های آموزشی

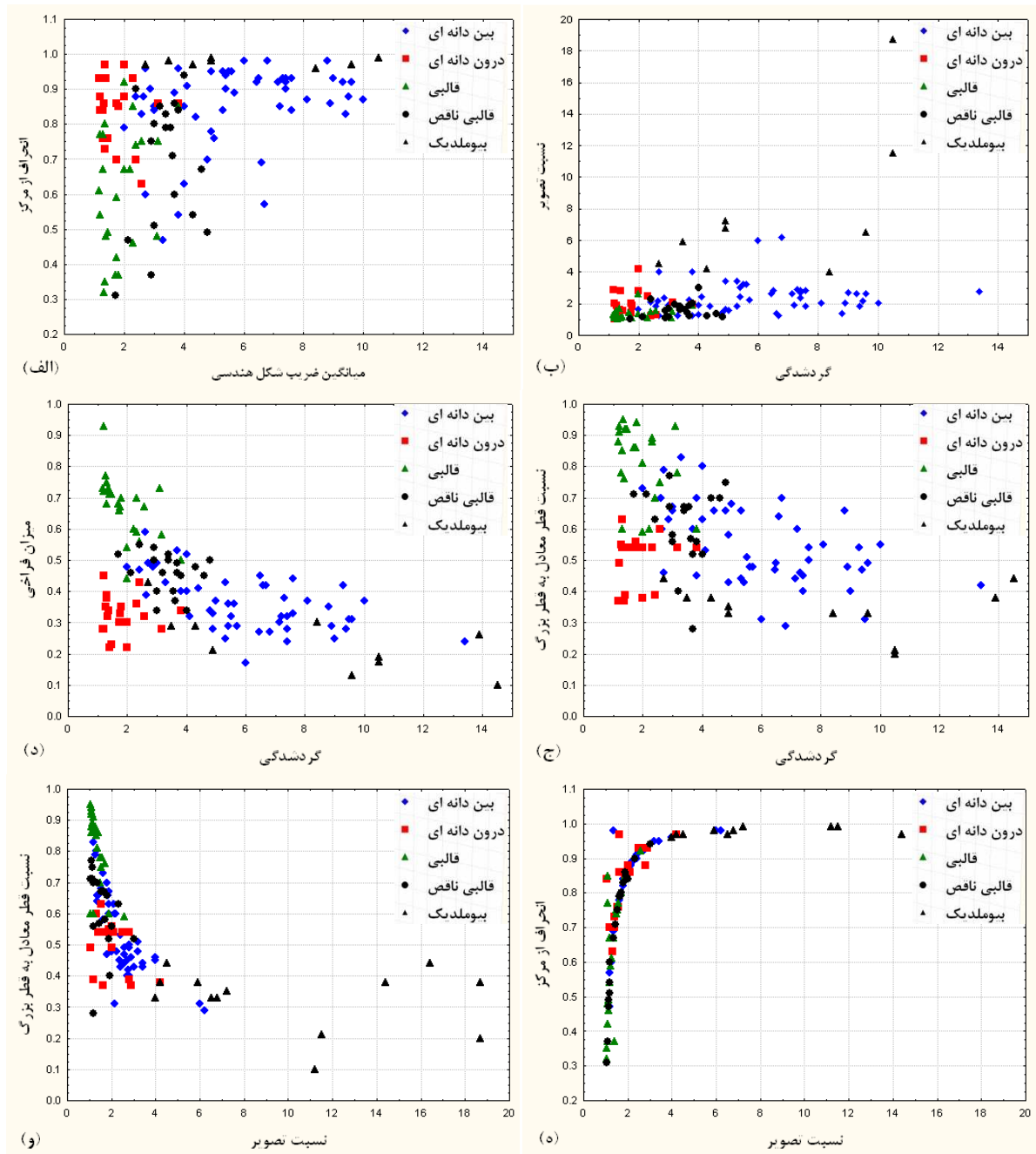
از آنجایی که الگوریتم تفکیک کننده بایستی قابلیت شناخت فضاهای خالی را به لحاظ شکل هندسی داشته باشد، لذا پارامترهای انتخاب شده باید معرف خوبی از شکل هندسی فضاهای خالی داشته باشند. مطالعه و بررسی آماری<sup>68</sup> ده پارامتر استخراج شده از هر خلل و فرج نشان می‌دهد، که برای تفکیک فضاهای خالی، پارامترهای گردشگی (ضریب شکل هندسی)، نسبت تصویر، فراخی، انحراف از مرکز و نسبت قطر معادل به قطر بزرگ می‌توانند تغییرات در شکل هندسی را نشان دهند. میزان تغییرات و پراکندگی این پارامترها برای هر نوع از فضاهای خالی (شامل تخلخل بین دانه‌ای (نقاط آبی)، درون دانه‌ای (نقاط قرمز)، قالبی کامل (نقاط سبز)، قالبی ناقص (نقاط سیاه) و بیوملیدیک (مثلث سیاه)) در نمودارهای زیر نشان داده شده است.

از شکل‌های ۲۰-۴ مشخص است که نمی‌توان با تکیه بر دو پارامتر مدلی دقیق برای تفکیک فضاهای خالی ارائه داد. لذا به طور مشابه با قسمت قبل، برای مشخص شدن تعداد ورودی‌های لازم برای تفکیک فضاهای خالی یک شبکه عصبی استفاده شده است. ورودی‌های شبکه عصبی جایگشت‌های مختلف حاصل از این پنج مولفه و خروجی، پنج نوع تخلخل مورد بررسی می‌باشد. مقایسه دقت شبکه‌های عصبی در جدول ۴-۶ نشان می‌دهد، سه پارامتر نسبت تصویر، میزان فراخی و گردشگی بهترین جایگشت برای تفکیک فضاهای خالی می‌باشد.

<sup>68</sup> Convex area

## فصل چهارم

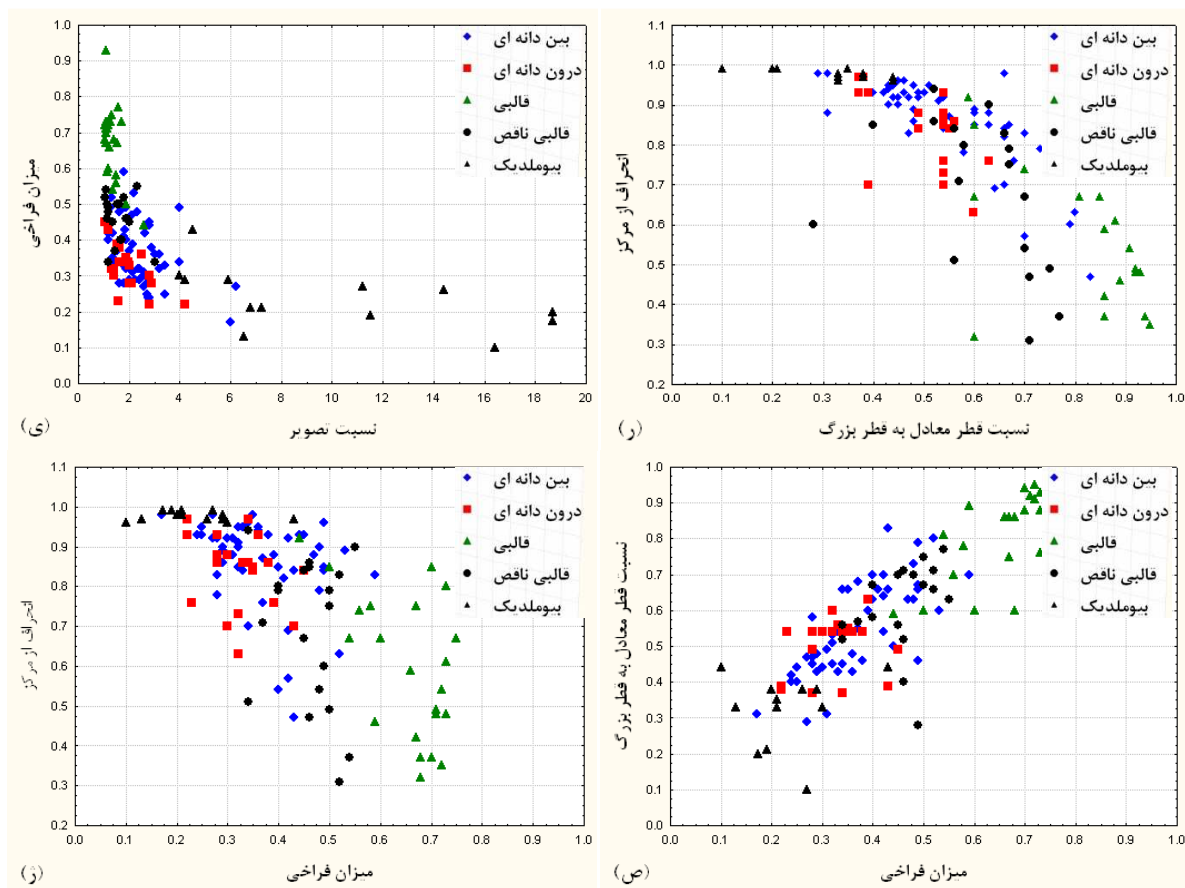
### پیش بینی تخلخل و تراوایی و ارائه الگوریتم خودکار برای تفکیک فضاهای خالی



شکل ۴-۴: تغییرات پارامترهای هندسی در مقابل انواع فضاهای خالی، انحراف از مرکز - گردشگی (الف)، نسبت تصویر - گردشگی (ب)، نسبت قطر معادل به قطر بزرگ - گردشگی (ج)، فراخی - گردشگی (د)، انحراف از مرکز - نسبت تصویر (ه)، نسبت قطر معادل به قطر بزرگ - نسبت تصویر (ه).

## فصل چهارم

### پیش‌بینی تخلخل و تراوایی و ارائه الگوریتم خودکار برای تفکیک فضاهای خالی



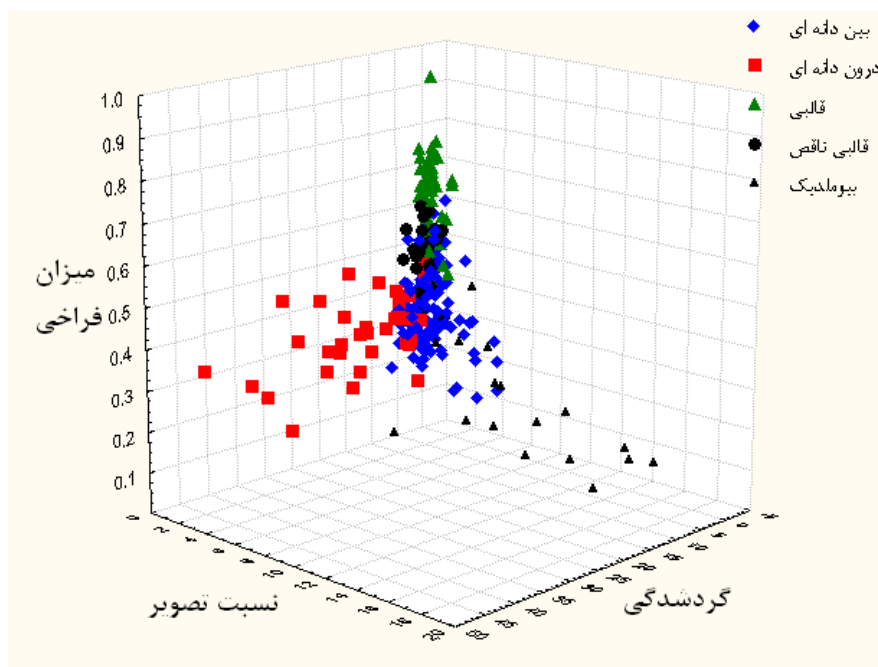
ادامه شکل ۴-۲۰: تغییرات پارامترهای هندسی در مقابل انواع فضاهای خالی فراخی - نسبت تصویر (ی)، انحراف از مرکز - نسبت قطر معادل به قطر بزرگ (ر)، انحراف از مرکز - فراخی (ز)، نسبت قطر معادل به قطر بزرگ - فراخی (ص)

جدول ۴-۶: دقت شبکه های عصبی برای پیش‌بینی انواع فضاهای خالی

Inputs	MSE( $\times 10^{-2}$ )
Aspect Ratio	8.81
Aspect Ratio, Extent	7.54
Aspect Ratio, Solidity	8.48
Aspect Ratio, Extent, Roundness	7.01
Aspect Ratio, Extent, Solidity	8.31
Aspect Ratio, Extent, Roundness, Solidity	8.65
Aspect Ratio, Extent, Roundness, E.D/ Major Diameter	8.54
Aspect Ratio, Extent, Roundness, Solidity, Eccentricity	8.71
Aspect Ratio, Extent, Roundness, Eccentricity, E.D/ Major Diameter	8.02
Aspect Ratio, Extent, Roundness, Eccentricity, Solidity, E.D/ Major Diameter	9.31

## فصل چهارم پیش بینی تخلخل و تراوایی و ارائه الگوریتم خودکار برای تفکیک فضاهای خالی

نمودار ۲۱-۴ پراکندگی سه پارامتر نسبت تصویر، فراخی و گردشگی را نشان می‌دهد. با توجه به نمودار مشخص است که مرز انواع مختلف فضاهای خالی مشخص بوده و میزان هم پوشانی کمی بین آنها وجود دارد.



شکل ۲۱-۴: پراکندگی سه پارامتر نسبت تصویر، فراخی و گردشگی برای پنج نوع فضای خالی

### ۳-۵-۴- جدا کردن فضاهای خالی از سایر بخش های تصویر

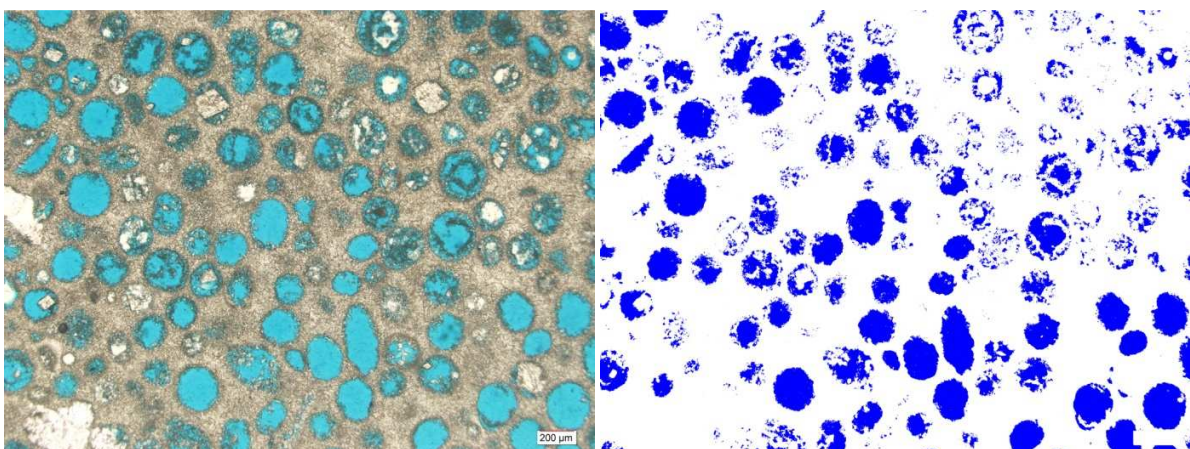
اولین قدم در ایجاد الگوریتم تفکیک کننده، مجزا کردن فضاهای خالی از بقیه بخش‌های تصویر است و برای این منظور لازم است، تصویر مورد مطالعه قطعه بندی شود. استفاده از رنگ در آنالیز تصویر نقش بسزایی را ایفا می‌کند، چرا که رنگ توصیفگر قدرتمندی است که غالباً شناسایی و تفکیک اشیاء را از تصویر آسان می‌سازد. برای تفکیک فضاهای آبی از مدل رنگی RGB<sup>۶۹</sup> استفاده شده است. یک تصویر RGB تصویری است، که مقدار هر پیکسل در آن با سه مولفه قرمز، سبز و آبی مشخص می‌شود. در تصاویر RGB سطح روشنایی هر مولفه (رنگ قرمز، سبز و آبی) می‌تواند مقداری بین ۰ تا ۲۵۵ داشته باشد و رنگ هر پیکسل با ترکیب مقادیر مختلف سه مولفه قرمز، سبز و آبی مشخص می‌شود. با توجه به تزریق اپوکسی آبی به نمونه‌ها، فضاهای خالی به رنگ

<sup>۶۹</sup> Red, green and blue

## فصل چهارم پیش بینی تخلخل و تراوایی و ارائه الگوریتم خودکار برای تفکیک فضاهای خالی

آبی خواهد بود. پس از بررسی تصاویر تهیه شده به این نتیجه رسیدیم که در بیشتر تصاویر پیکسل‌هایی که میزان روشنایی مولفه قرمز و سبز در آنها کمتر از ۲۰۳ و میزان روشنایی مولفه آبی بیشتر از ۱۷۰ است، مشخص کننده پیکسل‌های مربوط به فضای خالی می‌باشند. البته در تعدادی از عکس‌ها به دلیل تفاوتی که در شدت رنگ پرکننده‌ی فضاهای خالی وجود داشت، این محدوده برای تفکیک فضاهای آبی رنگ به درستی عمل نمیکرد و دچار خطأ می‌شد. بنابراین بازه میزان روشنایی می‌تواند بر حسب شدت رنگ اپوکسی آبی تزریق شده به نمونه و شدت نور در هنگام تهیه تصویر، متفاوت باشد. در صورتیکه شدت رنگ آبی در تمام مقاطع یکنواخت و شدت نور تصویربرداری نیز ثابت باشد، می‌توان از بازه مشخصی برای جداکردن فضاهای آبی رنگ استفاده کرد.

در شکل ۲۲-۴ فضاهای خالی از سایر بخش‌های سنگ مجزا شده‌اند.

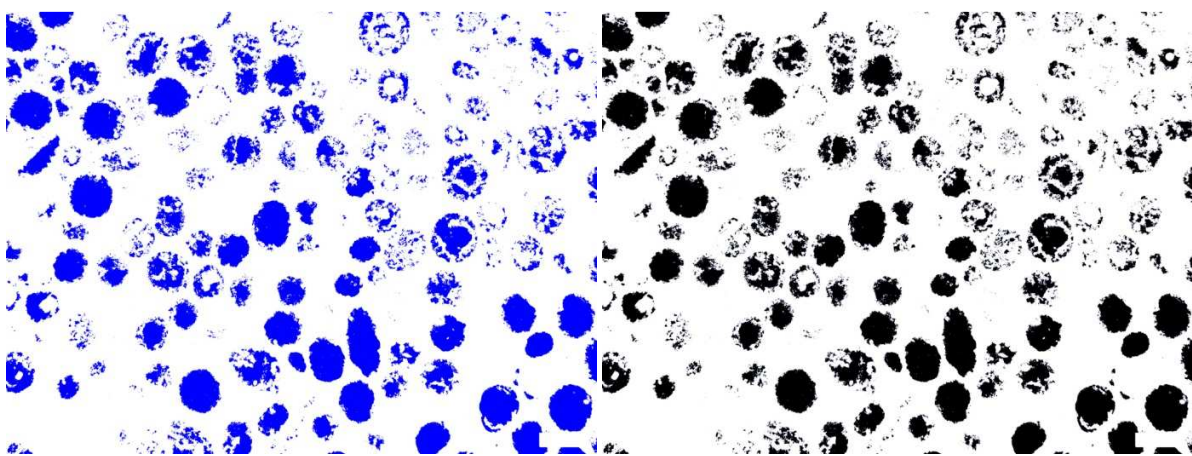


شکل ۲۲-۴- جدا کردن فضاهای خالی از سایر بخش‌های سنگ

تعیین بازه دقیقی از میزان روشنایی پیکسل‌های مربوط به فضاهای خالی از اهمیت بسزایی برخوردار است، چراکه تصویر حاصل از این مرحله به عنوان ورودی مراحل بعد استفاده می‌شود. تعیین بازه نادرست از فضاهای خالی در دقت محاسبه مقدار تخلخل کل و نوع تخلخل تاثیر منفی می‌گذارد. بعد از مشخص شدن بازه مناسب برای تفکیک پیکسل‌های آبی رنگ، تمام پیکسل‌هایی که در بازه مورد نظر قرار گرفته‌اند، یکسان‌سازی می‌شوند بدین معنی که شدت رنگ قرمز و سبز برای تمام آنها صفر و شدت رنگ آبی ۲۴۰ قرار داده می‌شود. در مرحله

## فصل چهارم پیش بینی تخلخل و تراوایی و ارائه الگوریتم خودکار برای تفکیک فضاهای خالی

بعد، با استفاده از دستور `im2bw` تصویر تهیه شده را بر اساس آستانه‌گذاری روی روشنایی به یک تصویر باینری تبدیل می‌کنیم. از تصویر باینری بدست آمده برای مراحل بعد استفاده می‌شود. شکل ۲۳-۴ نمونه‌ای از تصویر قطعه‌بندی و تصویر باینری حاصل از آنرا نشان می‌دهد. مقدار تخلخل کل هر تصویر از تقسیم مجموع تعداد پیکسلهای سیاه رنگ به تعداد کل پیکس های تشکیل دهنده تصویر بدست می‌آید.



شکل ۲۳-۴: تصویر قطعه‌بندی و تصویر باینری حاصل

در پایان این مرحله، تصویر باینری ایجاد خواهد شده است که فضاهای سیاه رنگ معرف فضاهای خالی و سایر بخشهای سنگ به رنگ سفید خواهند بود.

### ۴-۵-۴- استخراج ویژگی‌های هندسی مربوط به فضاهای خالی

در ابتدای این مرحله با استفاده از دستور `bwlabel` تمامی فضاهایی که مساحتی بیش از ۸ پیکسل دارند، برچسب گذاری می‌شوند. این بر چسب گذاری برای مطالعه مشخصه‌های هندسی فضاهای خالی ضروری می‌باشد. با استفاده از دستور `regionprops` مشخصه‌های هندسی مورد نظر را برای هریک از فضاهای برچسب گذاری شده محاسبه می‌کنیم. در جعبه ابزار متلب، امکان مطالعه بیش از بیست مشخصه هندسی از اشیاء تصویر فراهم شده است که موارد زیر با توجه به نیاز این مطالعه، انتخاب شده‌اند: محیط، مساحت، قطر کوچک، قطر بزرگ و فراخی. بررسی عکس‌های مختلف نشان داد که برای تعیین درصد هریک از انواع فضاهای خالی

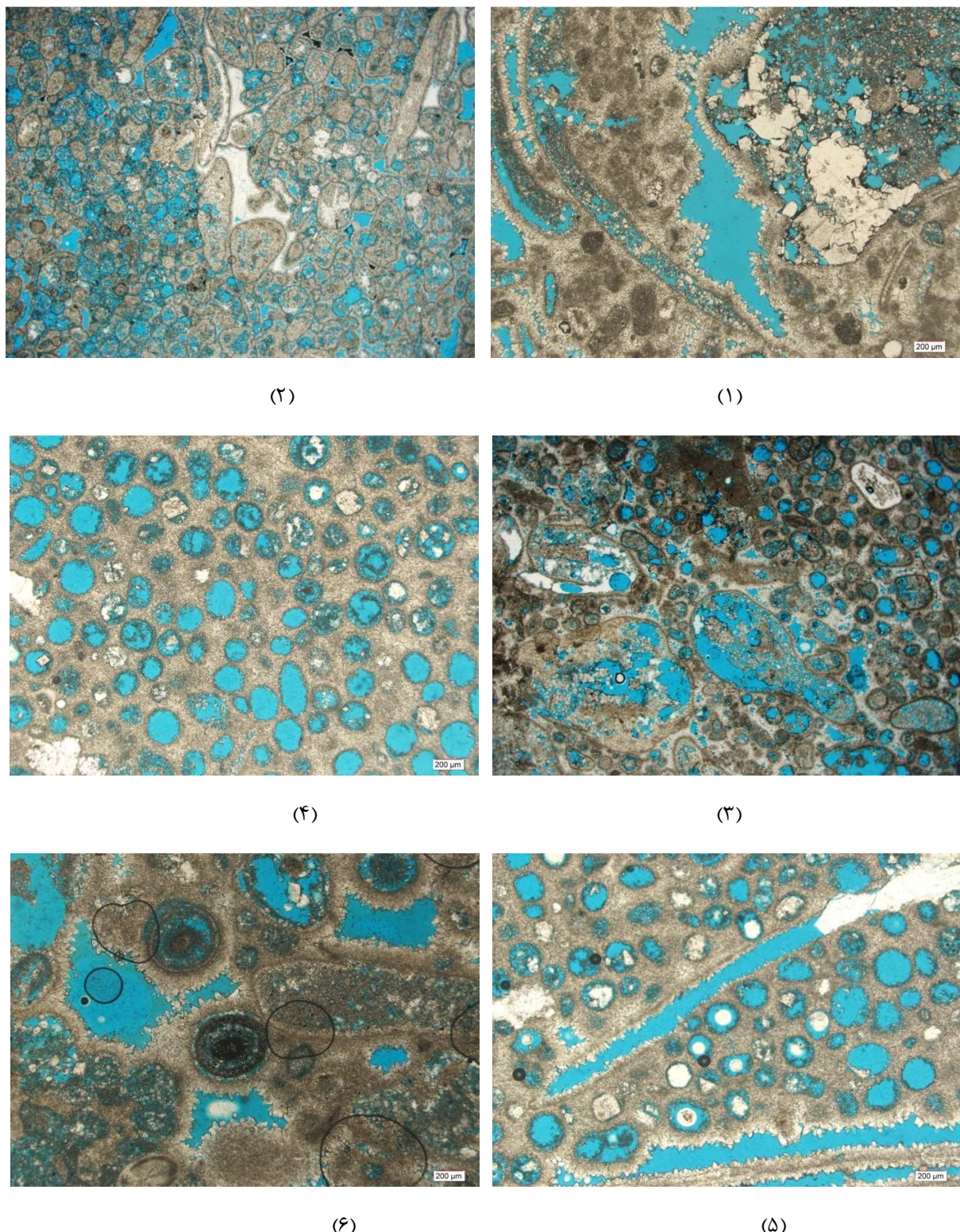
## فصل چهارم پیش‌بینی تخلخل و تراوایی و ارائه الگوریتم خودکار برای تفکیک فضاهای خالی

موجود در تصویر، بایستی محدودیتی در مقدار مساحت هریک از فضاهای، در نظر گرفت. این محدودیت باعث می‌شود تا سرعت و دقیقیت الگوریتم افزایش چشمگیری داشته باشد. در مطالعه چشمی تخلخل نیز معمولاً نوع تخلخل غالب و مقدار درصد هر نوع تخلخل بر اساس فضاهای با مساحت بزرگتر تعیین می‌شود. پس از بررسی‌های مختلف به این نتیجه رسیدیم که انتخاب ۱۶ فضای بزرگتر برای مطالعه می‌تواند تقریب مناسبی از مقدار انواع تخلخل موجود را ارائه دهد. لذا با استفاده از دستور `sort`، فضاهای بر حسب مساحت مرتب شده‌اند. با استفاده از فرمول‌های عنوان شده در فصل قبل مقدار گردشگی، نسبت تصویر و فراخی برای ۱۶ فضای بزرگتر محاسبه شده است. این پارامترها برای ورودی‌های مدل تفکیک کننده فضاهای خالی استفاده می‌شوند.

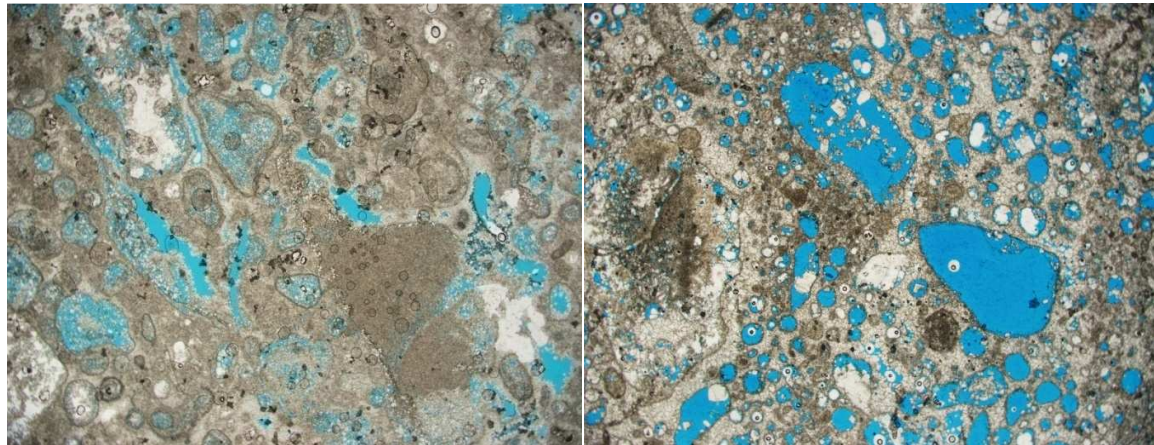
### ۴-۵-۵-۴- تفکیک فضاهای خالی با استفاده از آنالیز تفکیک کننده تحت نظارت

برای آموزش سیستم، پارامترهای هندسی (گردشگی، نسبت تصویر و فراخی) برای ۲۸۰ فضای خالی محاسبه شده است. سه نوع سیستم تفکیک کننده، بر اساس این داده‌ها، آموزش دیده است. تفاوت عمده سیستم‌ها در نوع تابع تفکیک کننده می‌باشد. توابع تفکیک کننده خطی، درجه دوم و ماهالانوبیس استفاده شده‌اند. هر یک از سیستم‌ها بر اساس نوع تابع استفاده شده، دقیقیت متفاوتی در تشخیص فضاهای خالی خواهند داشت. خروجی سیستم‌های طراحی شده، نوع فضای خالی (شامل بین دانه‌ای، درون دانه‌ای، قالبی کامل، قالبی ناقص و بیو-ملدیک) می‌باشد. بعد از آموزش سیستم‌های رده بندی، برای تست آنها تعداد ده تصویر به عنوان ورودی به الگوریتم داده شده است. تصاویر انتخاب شده در شکل ۴-۲۴ نشان داده شده‌اند. در جدول ۴-۷ مقدار درصد واقعی هریک از انواع تخلخل در تصاویر انتخاب شده آمده است و در مقابل در جدول ۴-۸ مقدار درصد هر نوع فضای خالی بر اساس سیستم‌های تفکیک کننده لیست شده‌اند. برای محاسبه مقدار تخلخل مربوط به هر رده، مجموع مساحت مربوط به هر آن نوع از خلل و فرج را بر مساحت کل ۱۶ فضای انتخاب شده تقسیم شده است.

## فصل چهارم پیش بینی تخلخل و تراوایی و ارائه الگوریتم خودکار برای تفکیک فضاهای خالی

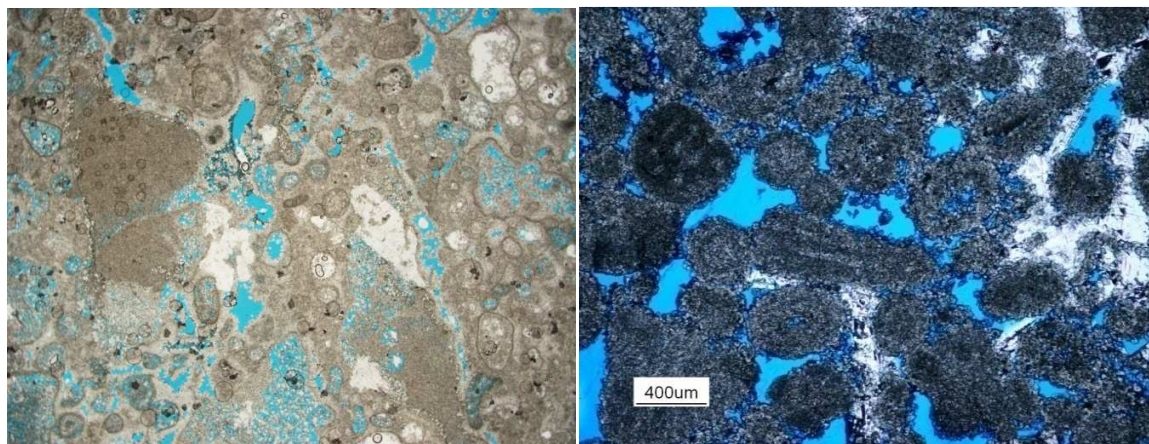


شکل ۴-۴: تصاویر انتخاب شده برای تست الگوریتم تفکیک کننده



(A)

(V)



(Y)

(X)

ادامه شکل ۴-۴: تصاویر انتخاب شده برای تست الگوریتم تفکیک کننده

$$X = \frac{\text{مجموع مساحت فضاهای نوع } X}{\text{مساحت کل ۱۶ فضای انتخاب شده}} \quad (4.15)$$

#### ۴-۵-۶- محاسبه خطای الگوریتم بر اساس مساحت محاسبه شده

در جدول ۹-۴ مقدار خطای الگوریتم بر حسب نوع تابع تفکیک کننده آمده است. برای محاسبه خطای مقادیر محاسبه شده برای هر نوع تخلخل (مقدار واقعی و مقدار بدست آمده از الگوریتم) در بازه صفر تا یک نرمالیزه شده است و اختلاف بین مقدار نرمالیزه واقعی و مقدار نرمالیزه بدست آمده از الگوریتم را به عنوان خطای در نظر

## فصل چهارم پیش‌بینی تخلخل و تراوایی و ارائه الگوریتم خودکار برای تفکیک فضاهای خالی

گرفته‌ایم. نرمالیزه کردن مقادیر بدست آمده باعث می‌شود تا مقایسه‌ای منطقی بین نتایج حاصل از الگوریتم و نتایج واقعی امکان پذیر باشد. در پایان نیز برای انتخاب بهترین تابع تفکیک کننده میانگین مقدار خطأ در پیش-بینی هریک از انواع فضاهای خالی در ده تصویر مورد بررسی، محاسبه شده است. با توجه به جدول ۴-۹ مشخص است که میانگین خطأ توابع خطی، درجه دو و ماهالانوبیس برای تخلخل بین دانه‌ای به ترتیب ۰.۱۲، ۰.۱۴ و ۰.۱۶، برای تخلخل درون دانه‌ای ۰.۰۹ و ۰.۱۴ و ۰.۱، برای تخلخل قالبی کامل ۰.۰۸ و ۰.۰۶ و ۰.۱، برای تخلخل قالبی ناقص ۰.۲۱ و ۰.۰۹ و ۰.۲۱ و برای تخلخل بیوملیدیک ۰.۰۱ و ۰.۰۵ و ۰.۰۵ می‌باشد. این مقایسه نشان می‌دهد که تابع تفکیک کننده ماهالانوبیس بهترین پیش‌بینی را از تخلخل بین دانه‌ای، تابع تفکیک کننده خطی بهترین پیش‌بینی را از تخلخل درون دانه‌ای و بیوملیدیک و بالاخره تابع تفکیک کننده درجه دو بهترین پیش‌بینی را از تخلخل قالبی کامل و قالبی ناقص داشته است. مجموع خطای هر تابع تفکیک کننده نشان می‌دهد که توابع تفکیک کننده خطی و درجه دوم با مجموع خطای ۰.۵۱ بهترین الگوریتم برای تفکیک انواع مختلف فضاهای خالی ارائه می‌دهند. در مقابل تابع تفکیک کننده ماهالانوبیس با مجموع خطای ۰.۵۶ ضعیفترین الگوریتم را برای تفکیک انواع فضاهای خالی ارائه می‌کند.

جدول ۴-۷: مقدار درصد واقعی هریک از انواع تخلخل در تصاویر انتخاب

شماره نمونه	بین دانه‌ای (%)	درون دانه‌ای (%)	قالبی کامل (%)	قالبی ناقص (%)	بیوملیدیک (%)
۱	۸۷.۷۱	۳.۱۲	۲.۶	۰	۶.۷۵
۲	۵۳.۲۲	۳.۳۱	۲۰.۰۷	۲۳.۴	۰
۳	۲۳.۹	۵۱.۲۲	۷.۱۳	۱۷.۷۵	۰
۴	۰	۰	۹۵.۵۵	۴.۴۵	۰
۵	۴.۵۲	۰	۳۴.۳	۲.۵۸	۵۸.۶
۶	۶۳.۲۲	۰	۱۷.۱۲	۱۹.۶۶	۰
۷	۰	۲۷.۵۸	۶۱.۲۲	۱۱.۲	۰
۸	۶۹.۳	۲.۵۵	۱۵.۱۸	۱۲.۹۷	۱.۹۵
۹	۸۵.۲۲	۷.۲۳	۰	۷.۵۵	۰
۱۰	۵۸.۶۳	۲۹.۴۲	۰	۱۲.۱۲	۰

## فصل چهارم

### پیش بینی تخلخل و تراوایی و ارائه الگوریتم خودکار برای تفکیک فضاهای خالی

جدول ۸-۴: مقدار درصد هر نوع فضای خالی بر اساس سیستم های تفکیک کننده

شماره نمونه	تابع تفکیک کننده	بین دانهای (%)	درون دانهای (%)	قالبی کامل (%)	قالبی ناقص (%)	بیوملدیک (%)
۱	خطی	۵۶.۵۸	۹.۸۶	۳.۸۲	۲۹.۷۳	.
	درجه دوم	۷۹.۳۹	۱۰.۰۲	۲.۵۵	۳.۱۱	۴.۹۳
	ماهالاتوبیس	۷۶.۳۴	۴.۲۶	۲.۵۵	۱۱.۹۲	۴.۹۳
۲	خطی	۴۳.۳۹	۴.۰۹	۲۴.۶۷	۲۷.۸۶	.
	درجه دوم	۴۴.۹۹	۱۸.۰۴	۱۵.۸۸	۱۸.۱۵	۲.۹۳
	ماهالاتوبیس	۴۴.۴۱	۹.۵	۲۴.۶۷	۲۱.۴۲	.
۳	خطی	۲۲.۵	۲۲.۷۲	۲۱.۵۲	۳۲.۲۶	.
	درجه دوم	۳۲.۱۶	۲۲.۷۲	۲۱.۵۲	۲۳.۶	.
	ماهالاتوبیس	۲۲.۵	۲۲.۷۲	۲۱.۵۲	۳۲.۲۶	.
۴	خطی	.	.	۹۵.۰۵	۴.۴۵	.
	درجه دوم	.	.	۹۵.۰۵	۴.۴۵	.
	ماهالاتوبیس	.	.	۹۵.۰۵	۴.۴۵	.
۵	خطی	.	.	۳۴.۸۲	۶.۰۹	۵۹.۰۹
	درجه دوم	۲.۷۷	.	۳۴.۸۲	۳.۳۲	۵۹.۰۹
	ماهالاتوبیس	۲.۷۷	.	۳۴.۸۲	۳.۳۲	۵۹.۰۹
۶	خطی	۵۳.۸	.	۴۰.۴۱	۵.۷۹	.
	درجه دوم	۷۹.۲۱	۱۱.۳۴	۵.۳۷	۴.۰۸	.
	ماهالاتوبیس	۶۷.۳۷	۴.۵۳	۵.۳۷	۲۲.۷۳	.
۷	خطی	.	۲۹.۱۱	۶۳.۲۱	۷.۶۷	.
	درجه دوم	۵.۷۹	۲۹.۱۱	۵۹.۰۳	۵.۵۶	.
	ماهالاتوبیس	.	۲۹.۱۱	۱۷.۷۵	۵۳.۱۴	.
۸	خطی	۵۹.۳۳	.	۶.۳۷	۳۲.۳۵	۱.۹۵
	درجه دوم	۳۵.۶۱	.	.	۲۱.۰۱	۴۳.۳۸
	ماهالاتوبیس	۴۵.۳۱	.	۵.۰۷	۲۹.۵۸	۳۰.۰۴
۹	خطی	۵۵.۷۴	۱۰.۵۵	۱۸.۸	۱۴.۹۱	.
	درجه دوم	۶۷.۸	۱۴.۷۵	۱۰.۹۷	۶.۴۸	۴.۱۸
	ماهالاتوبیس	۶۳.۲	۱۰.۵۵	۶.۶	۱۹.۶۶	.
۱۰	خطی	۴۵.۷	۲۵.۳۶	.	۲۸.۹۴	.
	درجه دوم	۴۸.۹۲	۳۰.۸۹	.	۱۶.۰۱	۴.۱۸
	ماهالاتوبیس	۴۶.۶۴	۲۵.۲۶	.	۲۸.۱	.

## فصل چهارم پیش‌بینی تخلخل و تراوایی و ارائه الگوریتم خودکار برای تفکیک فضاهای خالی

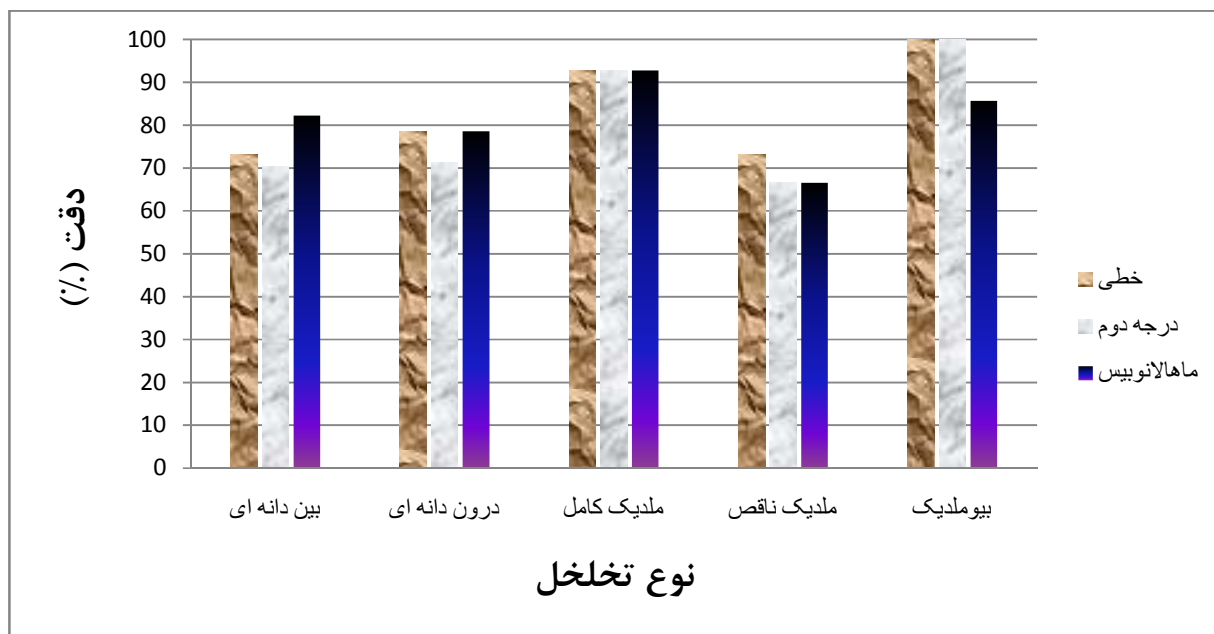
جدول ۹-۴: مقدار خطای الگوریتم بر حسب نوع تابع تفکیک کننده

شماره نمونه	تابع تفکیک کننده	بین دانهای	درون دانهای	قالبی کامل	قالبی ناقص	بیوملیدیک
۱	خطی	۰.۳۵	۰.۱۳	۰.۰۱	۰.۵۵	۰.۱۱
	درجه دوم	۰.۱	۰.۱۳	۰.۰۲	۰.۰۶	۰.۰۳
	ماهالانوبیس	۰.۱۳	۰.۰۲	۰.۰۲	۰.۲۲	۰.۰۳
۲	خطی	۰.۱۱	۰.۰۲	۰.۰۵	۰.۰۸	۰
	درجه دوم	۰.۰۹	۰.۲۹	۰.۰۴	۰.۱	۰.۰۵
	ماهالانوبیس	۰.۱	۰.۱۲	۰.۰۵	۰.۰۴	۰
۳	خطی	۰.۰۰۵	۰.۵۶	۰.۱۵	۰.۲۷	۰
	درجه دوم	۰.۱	۰.۵۶	۰.۱۵	۰.۱۱	۰
	ماهالانوبیس	۰.۰۰۵	۰.۵۶	۰.۱۵	۰.۲۷	۰
۴	خطی	۰	۰	۰	۰	۰
	درجه دوم	۰	۰	۰	۰	۰
	ماهالانوبیس	۰	۰	۰	۰	۰
۵	خطی	۰.۰۵	۰	۰	۰.۰۶	۰.۰۱
	درجه دوم	۰.۰۲	۰	۰	۰.۰۱	۰.۰۱
	ماهالانوبیس	۰.۰۲	۰	۰	۰.۰۱	۰.۰۱
۶	خطی	۰.۱۱	۰	۰.۲۴	۰.۲۷	۰
	درجه دوم	۰.۱۸	۰.۲۲	۰.۱۲	۰.۳	۰
	ماهالانوبیس	۰.۰۴	۰.۰۹	۰.۱۲	۰.۰۵	۰
۷	خطی	۰	۰.۰۳	۰.۰۲	۰.۰۷	۰
	درجه دوم	۰.۰۶	۰.۰۳	۰.۰۲	۰.۱۱	۰
	ماهالانوبیس	۰	۰.۰۳	۰.۴۶	۰.۷۹	۰
۸	خطی	۰.۱۲	۰.۰۵	۰.۱	۰.۳۴	۰
	درجه دوم	۰.۳۹	۰.۰۵	۰.۱۶	۰.۱۵	۰.۶۹
	ماهالانوبیس	۰.۲۸	۰.۰۵	۰.۱۱	۰.۳۱	۰.۴۷
۹	خطی	۰.۳۴	۰.۰۶	۰.۲	۰.۱۴	۰
	درجه دوم	۰.۲	۰.۱۴	۰.۱۱	۰.۰۲	۰.۰۷
	ماهالانوبیس	۰.۲۵	۰.۰۶	۰.۰۷	۰.۲۲	۰
۱۰	خطی	۰.۱۴	۰.۰۸	۰	۰.۳۲	۰
	درجه دوم	۰.۱۱	۰.۰۳	۰	۰.۰۸	۰.۰۷
	ماهالانوبیس	۰.۱۳	۰.۰۸	۰	۰.۳	۰
میانگین خط	خطی	۰.۱۲	۰.۰۹	۰.۰۸	۰.۲۱	۰.۰۱
	درجه دوم	۰.۱۲	۰.۱۴	۰.۰۶	۰.۰۹	۰.۱
	ماهالانوبیس	۰.۱	۰.۱	۰.۱	۰.۲۱	۰.۰۵

#### ۴-۵-۷- محاسبه دقت الگوریتم بر اساس پارامترهای هندسی

در قسمت قبل، دقت الگوریتم بر اساس مجموع مساحت هر نوع از فضاهای خالی بررسی شد. این بررسی نتیجه نهایی در مورد مقدار درصد هر نوع از فضاهای خالی را ارائه می‌دهد و مشخص نمی‌کند که الگوریتم چه دقیقی در تفکیک انواع فضاهای خالی داشته است، به عبارت دیگر در صورتیکه دو فضای خالی از نوع بین دانه‌ای و قالبی ناقص با مساحت برابر وجود داشته باشد، ممکن است الگوریتم فضای خالی از نوع بین دانه‌ای را قالبی ناقص و فضای خالی از نوع قالبی ناقص را بین دانه‌ای پیش‌بینی کند و به این ترتیب تغییر قابل ملاحظه‌ای در مقدار درصد هر نوع از فضاهای خالی و نتیجه نهایی ایجاد نمی‌شود. لذا لازم است تا دقت الگوریتم را در مورد شناخت فضاهای خالی به صورت منفرد نیز بررسی کنیم. برای این منظور پارامترهای هندسی (شامل گردشگی، نسبت تصویر و فراخی) هشتاد و چهار فضای خالی را محاسبه کرده‌ایم. از این میان تعداد سی و چهار فضای خالی بین دانه‌ای، چهارده فضای خالی درون دانه‌ای، چهارده فضای خالی قالبی کامل، پانزده فضای خالی قالبی ناقص و هفت فضای خالی بیوملیدیک می‌باشد. مشابه با قسمت قبل از سه الگوریتم با توابع تفکیک کننده خطی، درجه دو و ماهلانوبیس استفاده شد. در شکل ۴-۲۵ دقت هریک از سه الگوریتم در شناخت صحیح نوع فضای خالی آمده است. در این نمودار ستونهای قهقهه‌ای، خاکستری و آبی به ترتیب بیانگر دقت الگوریتم‌های با توابع خطی، درجه دوم و ماهلانوبیس در شناخت فضاهای خالی منفرد می‌باشد.

نتایج بدست آمده از این نمودار تایید کننده نتایج قسمت قبل می‌باشد. الگوریتم تفکیک کننده در شناخت هر نوع از فضاهای خالی به صورت جداگانه نیز با دقت بالایی عمل می‌کند و لذا می‌توان با اطمینان بالا در مورد نتایج حاصل از الگوریتم برای مساحت و درصد هر نوع از فضاهای خالی در یک تصویر نیز اظهار نظر کرد.



شکل ۴-۲۵: مقایسه دقت سه الگوریتم در شناخت فضای خالی منفرد

## فصل پنجم:

نتیجه گیری و پیشنهادات

## فصل پنجم: نتیجه گیری

- مطالعه پتروگرافی مقاطع نازک دو سازند کنگان و دالان در چاه شماره ۱۲ نشان می‌دهد، که تخلخل های آملدیک و بین دانه‌ای فراوان ترین انواع تخلخل هستند. تخلخل آملدیک در بیشتر بخش‌های مخزن مشاهده می‌شود و بیشترین تراکم را در زیر واحدهای  $K_{4a}$  و  $K_{4b}$  دارد. تخلخل بین دانه‌ای که بعد از تخلخل آملدیک فراوانترین نوع تخلخل است، بیشترین فراوانی را در بخش انتهایی  $K_{1c}$  و  $K_{2c}$  دارد. همچنین بیشترین فراوانی تخلخل درون دانه‌ای در زیر واحد  $K_{2a}$  مشاهده شد. انواع دیگر تخلخل نیز در مقاطع مورد بررسی فراوانی کمتری داشته‌اند و تخلخل بین بلوری کمترین فراوانی را در انواع مختلف تخلخل در چاه شماره ۱۲ دارد.
- آنالیز پلاگ‌های مغزه برای چاه شماره ۱۲ نشان داده است که بیشترین مقدار تراوایی در سازند کنگان در زیرواحد  $K_{1c}$  دیده می‌شود که در اثر لایه‌های دولومیتی متخلخل می‌باشد. همچنین بیشترین مقدار تراوایی در سازند دالان نیز مربوط به زیرواحد  $K_{4b}$  با مقدار برابر ۷۲۳.۲ میلی دارسی می‌باشد. این تراوایی بالا در نتیجه لیتولوژی آهکی و آهک دولومیتی با تخلخل بین دانه‌ای می‌باشد.
- بعد از بررسی‌های مختلف به این نتیجه رسیدیم که بزرگنمایی  $12.5X$  بهترین تصویر را از سنگ منعکس می‌کند. همچنین تعداد ده تصویر از هر مقطع گرفته شده است تا تمام سطح مقطع مورد بررسی قرار گرفته باشد.
- در این مطالعه برای پیش‌بینی تخلخل و تراوایی تعداد دوازده ویژگی پتروگرافی از تصاویر گرفته شده از مقاطع نازک استخراج شد. در مرحله اول روند تغییرات هریک از این پارامترها را به صورت یک به یک با تخلخل و تراوایی مورد بررسی قرار داده‌ایم و مقدار ضریب همبستگی را برای آن مشخص کرده‌ایم. مشخص شد نوع سنگ، تخلخل نوری، نوع بافت، تخلخل میکرو، میانگین ضریب شکل هندسی و تخلخل بین دانه‌ای با ضریب همبستگی  $0.12$ ،  $0.14$ ،  $0.15$ ،  $0.18$ ،  $0.23$  و  $0.4$  بیشترین رابطه را با

تخلخل مغزه و تخلخل بین دانه‌ای، نوع سنگ، میانگین ضریب شکل هندسی، نوع بافت، تخلخل نوری، تخلخل قالبی و تخلخل میکرو به ترتیب با ضریب همبستگی  $0.72$ ،  $0.61$ ،  $0.54$ ،  $0.49$ ،  $0.25$  و  $0.19$  و  $0.0$ . بیشترین رابطه را با تراوایی مغزه دارند. در مرحله دوم برای اطمینان از پاسخ نمودارهای ضریب همبستگی از شبکه عصبی برای انتخاب ورودی‌های مناسب استفاده شد. با توجه به نتایج شبکه‌های عصبی، ورودی‌های مناسب برای تخمین تخلخل نوع سنگ، بافت، مقدار تخلخل میکرو و میانگین ضریب شکل هندسی و ورودی‌های مناسب برای تخمین تراوایی مقدار تخلخل بین دانه‌ای، نوع سنگ، نوع بافت و میانگین ضریب شکل هندسی فضاهای خالی می‌باشد.

- برای ایجاد الگوریتم پیش‌بینی کننده فضاهای خالی، بعد از قطعه‌بندی تصویر، تعداد ۵۵ مشخصه هندسی را برای هر فضای خالی محاسبه کرده‌ایم. برای انتخاب ورودی‌های مناسب برای تفکیک دقیق فضاهای از یک شبکه عصبی استفاده کرده‌ایم. مشخص شد که سه پارامتر نسبت تصویر، میزان فراخی و گردش‌گی بهترین ورودی‌ها برای تفکیک فضاهای خالی می‌باشد.
- برای تخمین تخلخل در سازندهای کنگان و دالان از تکنیک‌های شبکه عصبی، منطق فازی و نروفازی استفاده شده است. نتایج نشان می‌دهد مدل‌های هوشمند ساخته شده با استفاده از تکنیک‌های یاد شده با دقت قابل قبولی قادر به تخمین تخلخل در عمق‌هایی هستند که آنالیز مغزه در آنها صورت نگرفته است. هر چند ممکن است تخمین دقیق تخلخل با استفاده از تکنیک‌های هوشمند کار آسانی نباشد ولی در تشخیص زون‌های متخلخل و غیر متخلخل به خوبی عمل کرده‌اند.
- برای افزایش دقت در تخمین تخلخل از ماشین کمیته استفاده شده است. در این روش با استفاده از قابلیت الگوریتم ژنتیک مدلی برای ترکیب نتایج بدست آمده از شبکه عصبی، منطق فازی و نروفازی ارائه شد. مدل جدید با کاهش خطای پیش‌بینی، دقیق ترین تخمین از تخلخل را ارائه نموده است. در جدول ۱-۵ سیستم‌های هوشمند بر اساس دقت در پیش‌بینی تخلخل با هم مقایسه شده‌اند.

جدول ۵-۱: مقایسه سیستم های هوشمند بر اساس دقت پیش بینی تخلخل

سیستم هوشمند	خطای پیش بینی	جایگاه سیستم بر اساس دقت
شبکه عصبی	۰.۰۲۵۶	۵
منطق فازی	۰.۰۲۱۴	۳
سیستم نرو-فازی	۰.۰۲۲۶	۴
ماشین کمیته مبتنی بر میانگین گیری	۰.۰۱۹۸	۲
ماشین کمیته مبتنی بر الگوریتم ژنتیک	۰.۰۱۶۵	۱

- تکنیکهای هوشمند برای تخمین تراوایی در سازند های کنگان و دلان نیز به خوبی عمل کرده‌اند و توانسته‌اند با دقت بالایی تراوایی را پیش بینی و زون های تراوا را از ناتراوا تفکیک کنند. ماشین کمیته مشابه با ماشین کمیته پیش بینی تخلخل در این قسمت نیز استفاده شد. ماشین کمیته مبتنی بر الگوریتم ژنتیک با کاهش خطای پیش بینی، دقیق‌ترین تخمین از تراوایی را ارائه کرده است. در جدول

جدول ۵-۲: مقایسه سیستم های هوشمند بر اساس دقت در پیش بینی تراوایی با هم مقایسه شده‌اند.

سیستم هوشمند	خطای پیش بینی	جایگاه سیستم بر اساس دقت
شبکه عصبی	۰.۰۱۳۹	۵
منطق فازی	۰.۰۰۶۱	۲
سیستم نرو-فازی	۰.۰۰۸۵	۴
ماشین کمیته مبتنی بر میانگین گیری	۰.۰۰۷۵	۳
ماشین کمیته مبتنی بر الگوریتم ژنتیک	۰.۰۰۵۶	۱

- با تکیه بر روش های آنالیز تصویر و تشخیص الگو، الگوریتمی خودکار برای تشخیص پنج نوع فضای خالی بین دانه‌ای، درون دانه‌ای، قالبی کامل، قالبی ناقص و بیوملیدیک ارائه شد. سه نوع سیستم رده- بندی تحت نظارت با توابع تفکیک کننده خطی، درجه دوم و ماهالانوبیس ایجاد شد. بررسی‌ها نشان می‌دهد که تابع تفکیک کننده ماهالانوبیس بهترین پیش‌بینی را از تخلخل بین دانه‌ای، تابع تفکیک کننده خطی بهترین پیش‌بینی را از تخلخل درون دانه‌ای و بیوملیدیک و بالاخره تابع تفکیک کننده درجه دو بهترین پیش‌بینی را از تخلخل قالبی کامل و قالبی ناقص داشته است. با توجه به مجموع خطای پیش‌بینی مشخص شد که تابع تفکیک کننده خطی بهترین الگوریتم را برای تفکیک فضاهای خالی ارائه می‌دهد.
- در این مطالعه امکان دسترسی به میکروسکوپ الکترونی وجود نداشت و پارامترهای پتروگرافی با استفاده از میکروسکوپ نوری مورد بررسی و مطالعه قرار گرفته‌اند. از آنجایی که بسیاری از ویژگی‌های سنگ شناسی مانند مقدار و درصد انواع رس‌ها و تخلخلهای بسیار ریز با این میکروسکوپها مطالعه می- شوند، لذا استفاده از اطلاعات حاصل از میکروسکوپ الکترونی میتواند تاثیر مثبتی در افزایش دقت پیش‌بینی تخلخل و تراوایی داشته باشد.
- در این مطالعه برخلاف مطالعات چشمی مقاطع نازک که بر اساس محل قرار گرفتن خلل و فرج نوع آن را تعیین می‌کنند، از ویژگی‌های هندسی فضاهای خالی برای تفکیک آنها از یکدیگر استفاده شد. برای افزایش دقت الگوریتم می‌توان توانایی مطالعه فضاهای و پیکسل‌های اطراف فضاهای خالی را نیز به آن اضافه کرد. در این شرایط الگوریتم می‌تواند با تکیه به ویژگی‌های هندسی خلل و فرج و موقعیت قرار گرفتن آنها نسبت به دانه‌ها، قضاوتی منطقی‌تر داشته باشد. با تکیه به این اصل می‌توان الگوریتمی خودکار برای تعیین نوع بافت سنگ‌های کربناته نیز ارائه داد.

## منابع

تمام منابعی که در متن این پایان نامه از آن نام برده شده است اگر سال انتشار میلادی داشته باشند در بخش منابع انگلیسی و اگر دارای سال انتشار هجری شمسی باشند در بخش منابع فارسی گردآوری شده‌اند.

### الف - منابع فارسی

- آذین، رضا، ۱۳۸۸، "آلدگی نفتی خلیج فارس"، انتشارات دانشگاه بوشهر، ۲۱۵ ص
- پورضا، حمیدرضا، ۱۳۸۷، بینایی ماشین، جزوه درسی، دانشگاه فردوسی مشهد، دانشکده فنی
- تقوی، علی اصغر، ۱۳۷۸، بررسی عوامل کنترل کننده کیفیت مخزن گازی سازند کنگان، میدان سلمان در خلیج فارس، پایان نامه کارشناسی ارشد، دانشگاه تهران، دانشکده علوم.
- رضایی، محمدرضا، ۱۳۸۱، زمین شناسی نفت، انتشارات علوی، ۴۱۰ ص
- شمس نیا، الهه، ۱۳۸۵، اثر هندسه منافذ روی کیفیت مخزنی سازندهای کنگان و دالان، پایان نامه کارشناسی ارشد، دانشگاه تهران، دانشکده علوم.
- طالبی، محمد علی، ۱۳۸۴، بکارگیری تکنیک شبکه عصبی مصنوعی در تخمین تخلخل و نفوذپذیری با استفاده از داده های چاه نگاری در میدان پارسی، پایان نامه کارشناسی ارشد، دانشگاه صنعتی اصفهان، دانشکده مهندسی معدن.
- ظهره بند، سهراب، ۱۳۸۱، کاربرد شبکه های عصبی در تعیین نفوذپذیری مخازن هیدروکربوری (خلیج فارس- میدان سیری)، پایان نامه کارشناسی ارشد، دانشگاه تهران، دانشکده فنی.
- کددایی، علی، ۱۳۸۳. "شناسایی گروه های سنگی و ارزیابی کیفیت مخزنی بخش زیرین سازند کنگان در جنوب خلیج فارس با استفاده از تکنیک منطق فازی"، پایان نامه کارشناسی ارشد، دانشگاه تهران، دانشکده علوم.
- مطیعی، همایون، ۱۳۸۷، زمین شناسی سنگهای کربناته (جلد دوم)، انتشارات پژوهش آرین زمین، ۴۵۱ ص.
- منهاج، محمدباقر، ۱۳۸۱، هوش محاسباتی (جلد اول)-مبانی شبکه های عصبی، انتشارات دانشگاه امیرکبیر، ۲۱۶ ص.
- نجم آبادی، سیاوش، ۱۳۷۲، گزارش نهایی چاه شماره یک میدان گازی پارس جنوبی، گزارش داخلی شرکت ملی نفت ایران.
- ویسی، ایمان، ۱۳۸۶، تخمین تراوایی با تلفیق داده های نگار و مغزه با استفاده از روش شبکه عصبی در یکی از میدین نفتی ایران، پایان نامه کارشناسی ارشد، دانشگاه تهران، دانشکده فنی.

## References

- Aali, J., Rahimpour-Bonab, H., Kamali, M.R., 2006. Geochemistry and origin of natural gas in world's largest non-associated gas field. *Journal of Petroleum Science and Engineering* 50, 163-175.
- Ali, M., Chawathe, A., 2000. Using artificial intelligence to predict permeability from petrographic data. *Journal of Computers and Geoscience* 26, P. 915-925
- Anselmetti, F. S., Luthi, S. and Eberli, G.P., 1998. Quantitative characterization of carbonate pore systems by digital image analysis. *AAPG Bulletin*, 82, 1815-1836
- Archi, G. E., 1952. Classification of carbonate reservoir rocks and petrophysical consideration: *AAPG Bulletin*, V. 36, no. 2, P. 278-298.
- Baykan, N. A., Yilmaz, N., 2010, Mineral Identification Using Color Spaces and Artificial Neural Networks. *Journal of Computers and Geosciences* 36, P. 91-97.
- Chen, C.H., Lin, Z.S., 2006. A committee machine with empirical formulas for permeability prediction, *Computers and Geosciences* 32, 485-496.
- Choquette, P.W., and L.C. Pray, 1970, Geologic nomenclature and classification of porosity in sedimentary carbonates. *AAPG Bulletin*, V. 2, p. 207-250.
- Cooke and Schneider, 1983. Generalized Linear Inversion of Reflection Seismic Data. *Geophysics* 48, no. 6, P. 665-675.
- Ehrlich, R., Crabtree, S.J., Horkowite, K.O., and Horkowitz, J.P., 1991. Petrography and Reservoir Physics I: Objective Classification of Reservoir Porosity. *The American Association of Petroleum Geologists Bulletin*, P. 1547-1562.
- Esmaeil Zadeh, A., Doulati Ardejani, F., Ziaii, M., Mohammado Khorasani, M., 2010, Investigation of Salt Plugs Intrusion into Dehnow Anticline Using Image Processing and Geophysical Magnetotelluric Methods. *Journal of Earth Science*, Vol 11.
- Holland, J.H., 1975. Adaptation in Natural and Artificial Systems, University of Michigan Press, Ann Arbor, USA, 183pp.
- Image Pro Plus, 2006. Software Program of Media Cybernetics Inc.
- Kadkhodaie-Ilkhchi, A., Rahimpour-Bonab, H., Rezaee, M.R., 2008. A committee machine with intelligent systems for estimation of total organic carbon content from

petrophysical data: an example from Kangan and Dalan reservoirs in South Pars Gas Field, Iran. Journal of Computer and Geoscience. 35, 459–474.

- Kadkhodaie Ilkhchi, A., Rezaee, M.R., Moallemi, S.A., 2006. A fuzzy logic approach for estimation of permeability and rock types from conventional well log data: an example from the Kangan reservoir in Iran Offshore Gas Field, Journal of Geophysics and Engineering 3, 356-369.
- Labani M.M., Kadkhodaie-Ikhchi A., Salahshoor K., 2010. Estimation of NMR log parameters from conventional well log data using a committee machine with intelligent systems: A case study from the Iranian part of the South Pars gas field, Persian Gulf Basin. Journal of Petroleum Science and Engineering. 72, 175-185.
- Lonoy, A., 2006. Making sence of carbonate pore systems. AAPG Bulletin, V. 90, no. 9, P. 1381-1405.
- Lucia, F. J., 1995. Rock-fabric petrophysical classification of carbonate pore space for reservoir characterization: AAPG Bulletin, 79, 1275–1300.
- Lucia, F.J., 1983, Petrophysical parameters estimated from visual description of carbonate rocks: a field classification of carbonate pore space: Journal of Petroleum Technology, v. 35, p. 626-637.
- Mamdani, E.H., Assilian, S., 1975. An experimental in linguistic synthesis with fuzzy logic control.
- Marmo, R., Amodio, S., Tagliaferri, R., Ferreri, V., Longo, G., 2005. Textural identification of carbonate rocks by image processing and neural network: Methodology proposal and examples. Journal of Computers and Geoscience 31, P. 649-659.
- Martinez-Martinez, J., Benavente, D., García del Cura, M.A., 2007. Petrographic quantification of brecciated rocks by image analysis. Application to the interpretation of elastic wave velocities. Journal of Engineering Geology 90, 41-54
- Matlab user's Guide 2007. Fuzzy logic, Neural Network & GA and Direct Search toolboxes, Matlab CD-ROM, by the Mathworks, Inc.
- Mohaghegh, S.D., 2000. Virtual-intelligence applications in petroleum engineering: part 1-Artificial Neural Network, Distinguished Author Series articles, SPE 58046
- Schlimberger, 1989. Log Interpretation Principles / Applications, Eighth Printing Feb. 1999

- Siavanandam, S.N., Sumathi, S., Deepa, S.N., 2007. Introduction to fuzzy logic using Matlab, Springer, 430pp.
- Smith, J.V., Beermann, E., 2007. Image analysis of plagioclase crystals in rock thin sections using grey level homogeneity recognition of discrete areas. Journal of Computers and Geoscience 33, P. 335-356
- Takagi, T., Sugeno, M., 1985. Identification of systems and its application to modeling and control. IEEE Transaction on Systems, Man and Cybernetics 15, 116–132.
- Tamhane, D., Wong, P.M., Aminzadeh, F., Nikravesh, M., 2000. Soft computing for intelligent reservoir characterization, SPE Asia Pacific Conference on Integrated Modeling for Asset Management (Yokohama, Japan, 25-26 April) SPE 59397.
- Theodoridis, S., Koutroumbas, K., 2003. Pattern Recognition. Academis Press, Elsevier, 710p.
- Van den Berg, E.H., Meesters, A.G.C.A., Kenter, J.A.M., Schlager, W., 2002. Automated separation of touching grains in digital images of thin sections. Journal of Computers and Geoscience 28, p. 179-190
- Yagar, R.R., Zadeh, L.A., 1992. An Introduction to Fuzzy Logic Applications in Intelligent Systems, vol. 165. Kluwer Academic Publishers, pp. 69-70.
- Ying, h., 2000. Fuzzy Control and Modeling, Wiley-IEEE Press.
- Zadeh, L.A., 1965. Fuzzy sets. Information and Control 8, 338–353.

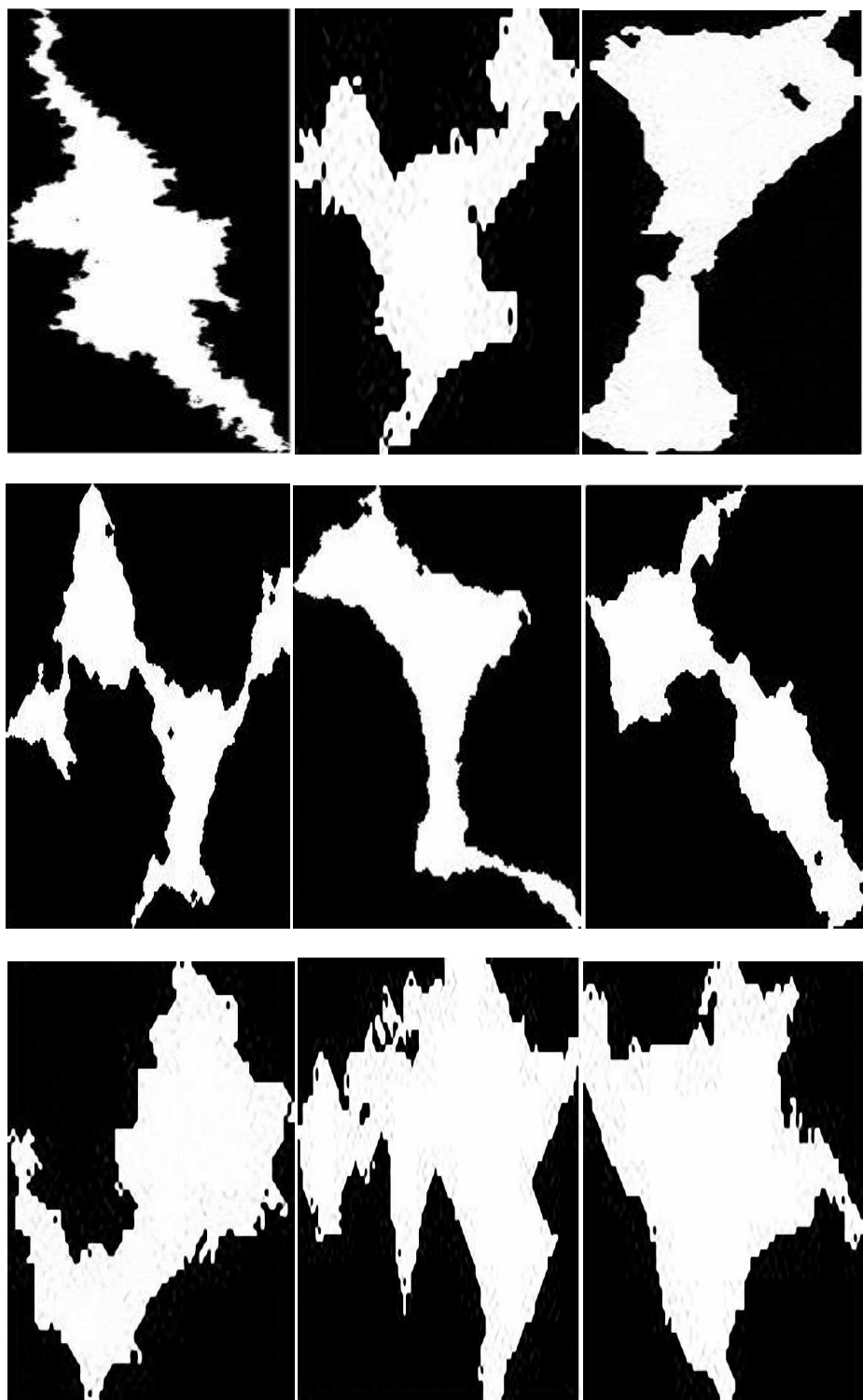


## ضمیمه

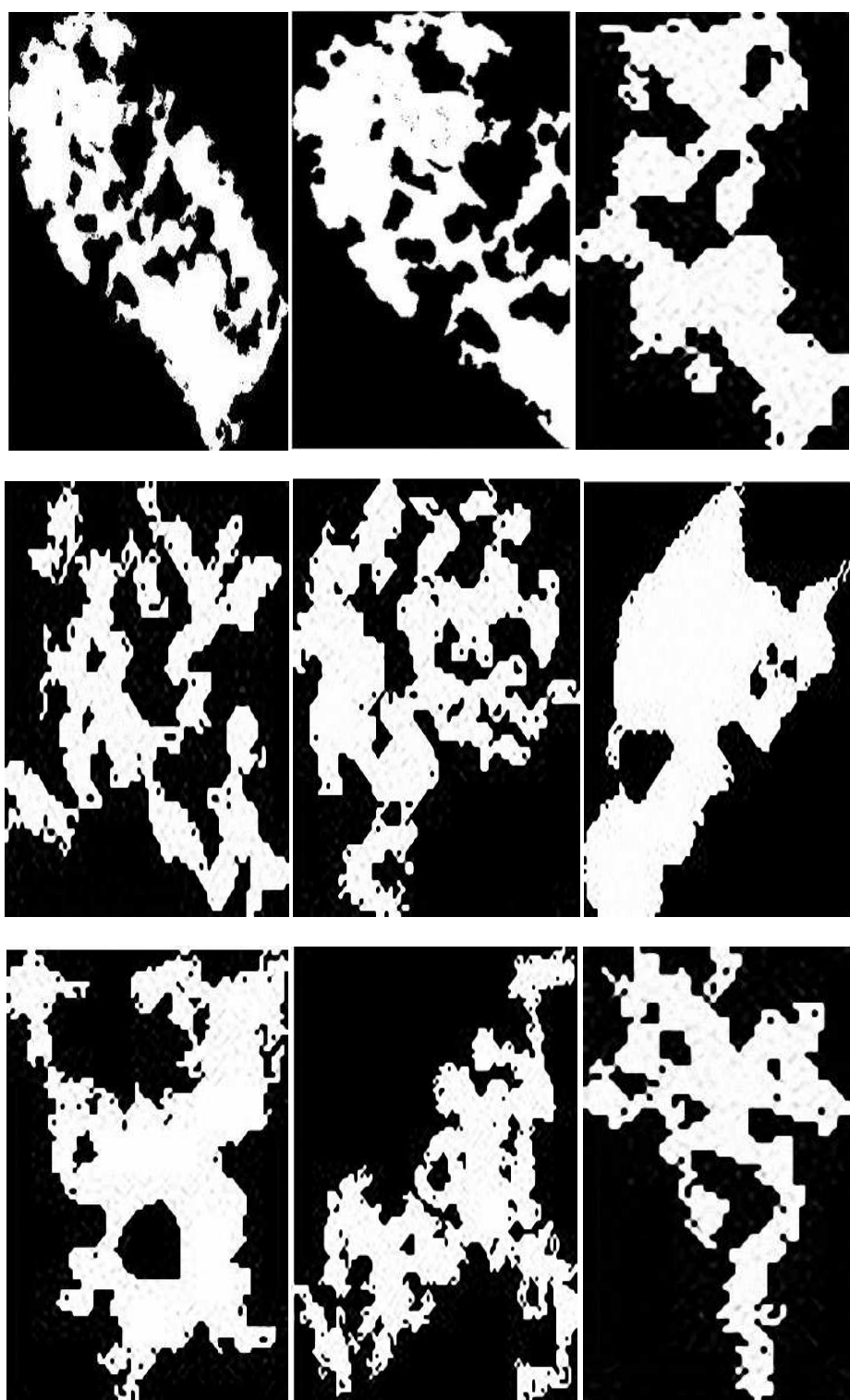
در شکل‌های الف-۱، الف-۲، الف-۳، الف-۴ و الف-۵ شکل‌های متنوعی از انواع فضاهای خالی پنجمگانه که در مطالعه حاضر بررسی شده است، آمده است. این اشکال امکان مقایسه فضاهای را به لحاظ شکل هندسی فراهم می‌آورد. در این مطالعه بر اساس سه مشخصه گردشگی، نسبت تصویر و فراخی، مدلی برای تفکیک خودکار این فضاهای ارائه شده است. در جدول الف-۱ مقدار میانگین این سه مشخصه در کلاس‌های مختلف فضاهای خالی آمده است. این جدول نشان می‌دهد که مقدار گردشگی در فضاهای بین دانه‌ای بسیار بالا بوده و این به دلیل محیط بزرگ آنها می‌باشد. همچنین بیشترین مقادیر نسبت تصویر نیز در فضاهای بیوملیدیک ثبت شده است. با نگاهی به شکل این فضاهای به خوبی مشخص می‌شود که کشیدگی بالای این اشکال باعث زیاد شدن نسبت قطر بزرگ به قطر کوچک در آنها شده است. فضاهای قالبی کامل اشکالی دایره مانند هستند و انتظار داریم که بیشترین مقدار فراخی و کمترین مقدار گردشگی را در آنها داشته باشیم که جدول زیر نیز همین نکته را ثابت می‌کند.

جدول الف-۱: میانگین گردشگی، نسبت تصویر و فراخی در کلاس‌های پنجمگانه فضاهای خالی

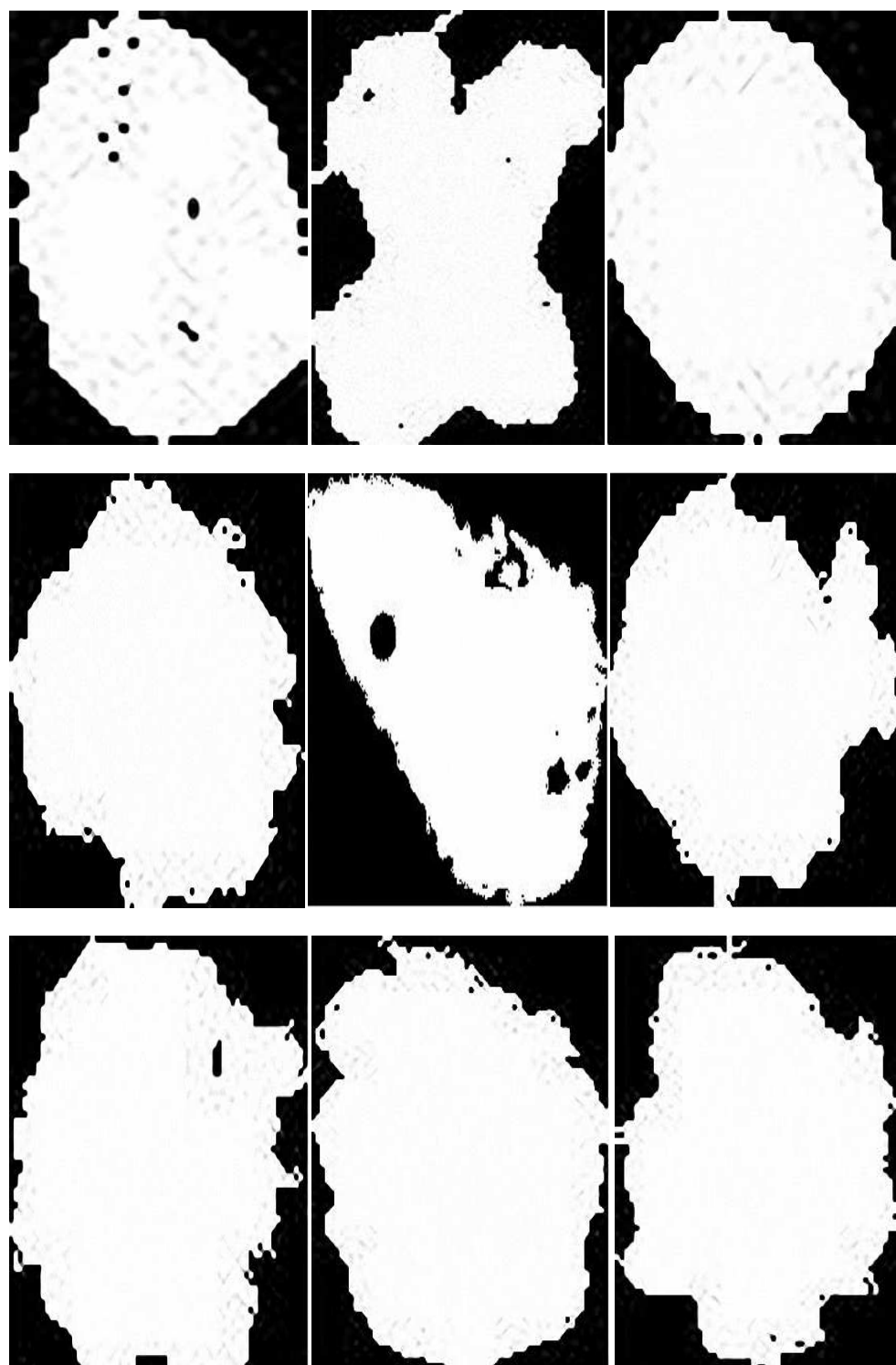
نوع فضای خالی	میانگین گردشگی	میانگین نسبت تصویر	میانگین فراخی
بین دانه‌ای	۵.۱۴	۲.۵۴	۰.۳۶
درون دانه‌ای	۱۷.۱۹	۱.۹۵	۰.۳۳
قالبی کامل	۲۰.۰۲	۱.۴۱	۰.۶۴
قالبی ناقص	۳.۴۶	۱.۵۳	۰.۴۸
بیو ملیدیک	۱۲.۲۱	۱۱.۰۵	۰.۲۲



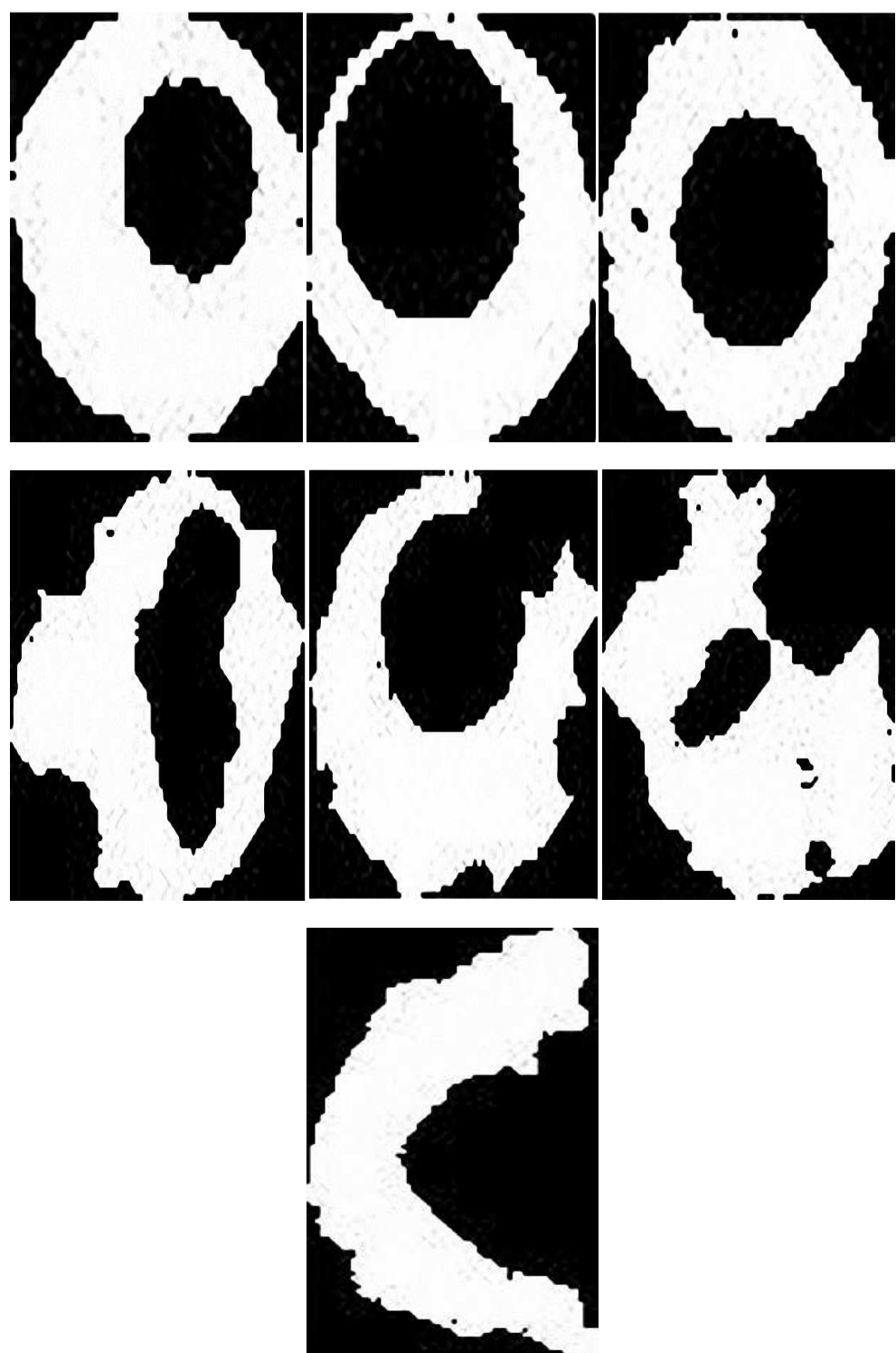
شکل الف-۱: شکلهای شماتیکی از انواع فضاهای خالی بین دانه‌ای



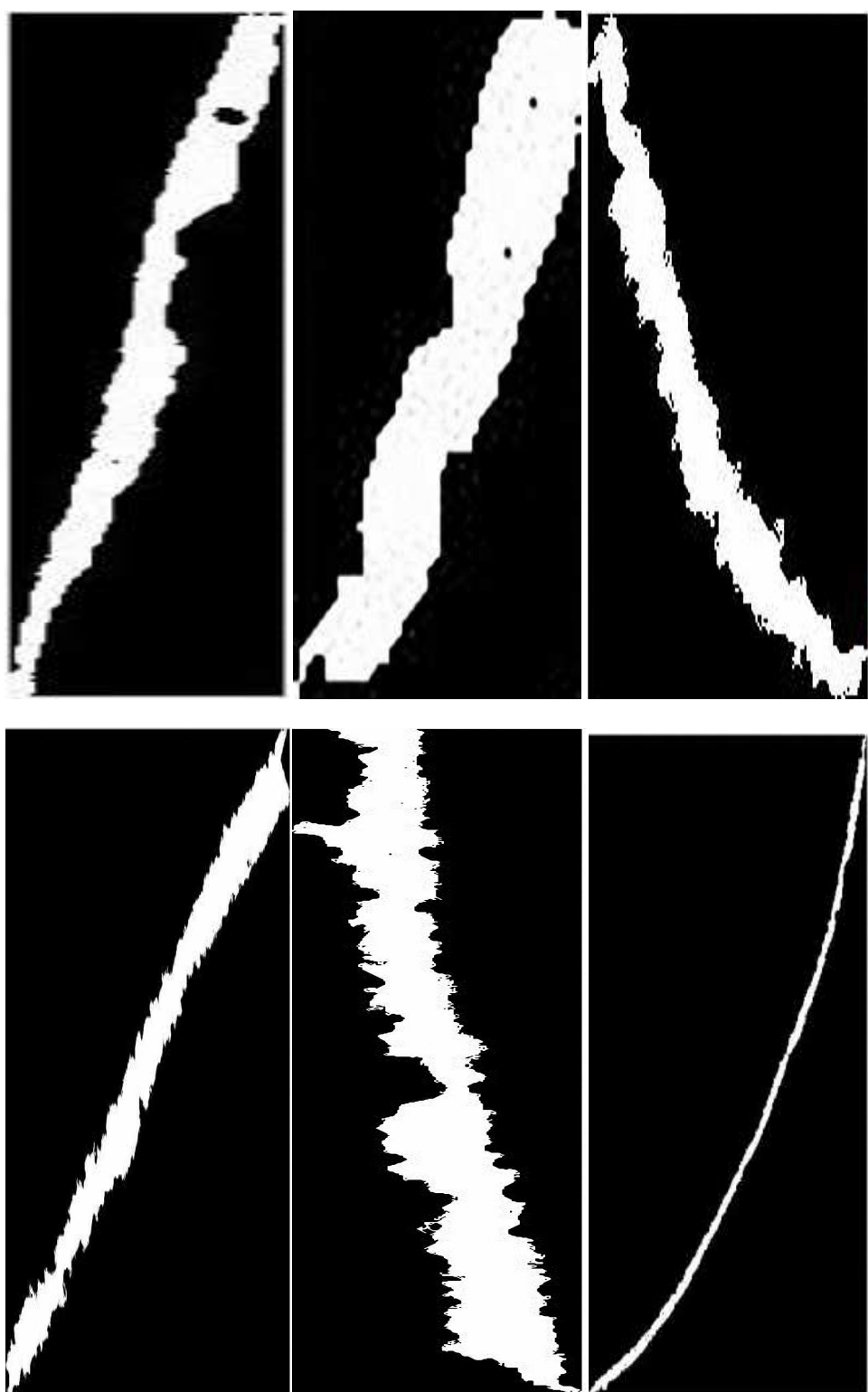
شکل الف-۲: شکلهای شماتیکی از انواع فضاهای خالی درون دانه‌ای



شکل الف-۳: شکلهای شماتیکی از انواع فضاهای خالی قالبی کامل



شکل الف-۴: شکلهای شماتیکی از انواع فضاهای خالی قالبی ناقص



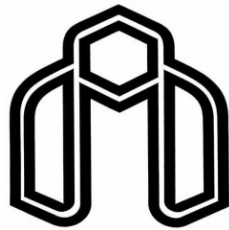
شکل الف-۵: شکلهای شماتیکی از انواع فضاهای خالی بیوملیدیک

biomoldics, complete moldics, interagranulars, intergranular and incomplete moldics with accuracy of 100%, 92%, 82%, 75% and 68%, which shows the high accuracy of algorithm.

**Key words:** *Hydrocarbon reservoir, Intelligent systems, Committee machine, Image analysis, Pattern recognition*

## **Abstract**

Reservoir characterizations play a critical role in appraising the economic success of reservoir management and development of hydrocarbon reservoir. Porosity and permeability are the most important parameters of the petroleum reservoir, which can be used as inputs to construct petrophysical models of the reservoir rock. These parameters can be measured at the laboratory utilizing helium and air injection analysis, respectively. Of course, these methods are time-consuming and expensive for huge amount of problems, which exist in petroleum industries. In recent years, developments of hardware and software programming of computers prove the capabilities of intelligent systems and image analysis. The current study comprises two major parts: Firstly, the petrophysical parameters including porosity and permeability were predicted from petrographic data utilizing intelligent systems. Twelve petrographic parameters were extracted from thin section images and three intelligent systems including neural network, fuzzy logic and neuro-fuzzy were used to predict porosity and permeability. The MSE of the NN, FL and NF methods for prediction of porosity in the test data are 0.0256, 0.0214 and 0.0226, while the MSE of the NN, FL and NF methods for prediction of permeability are 0.0139, 0.0061 and 0.0085. The concept of committee machine is used to improve the accuracy of prediction and the MSEs of CMISs for porosity and permeability are 0.0165 and 0.0056, respectively, which correspond to the  $R^2$  values of 0.76 and 0.942, respectively. Comparing the results of this study with core data, shows that intelligent systems were successfully applied in porosity and permeability prediction. Among the intelligent systems, the committee machine with intelligent systems obtained the most accurate results. In the second part of this study, the capabilities of image analysis and pattern recognition were used to develop an automate algorithm for pore space separation. The results show that the proposed algorithm has been successful in separating the visual pore spaces in thin section images. The accuracy of algorithm is tested in two ways. Firstly the output is considered the area of each type of pore spaces and secondly, type of pore spaces is considered as output. The results show that the quadratic discriminant function separates the intergranular and biomoldic porosity with MSE of 9% and 1%, respictevly while the linear discriminant function separates the complete moldic and incomplete moldic porosity with MSE of 6% and 9%. Finally, the mahalonobis discriminant function separates the intergranular pore spaces with MSE of 10%. In the second way, the algorithm is classified the



**Shahrood University of Technology**

**Faculty of Mining, Petroleum and Geophysics Engineering**

**Master of science in petroleum Exploration Engineering**

**Reservoir Porosity Prediction from Image Analysis of Thin Section  
and Comparison the Results with Other Petrophysical Methods**

*Javad Ghiasi Freez*

**Supervisors:**

*Dr M. Ziaii*

*Dr A. Kadkhodaie*

**Advisors:**

*Mr. J. Honarmand*

January 2011